

Altogether
to Beat
Cushing's
Syndrome



Viaggio alla (ri)scoperta della sindrome di Cushing

*Il ruolo della moderna
Risonanza Magnetica*



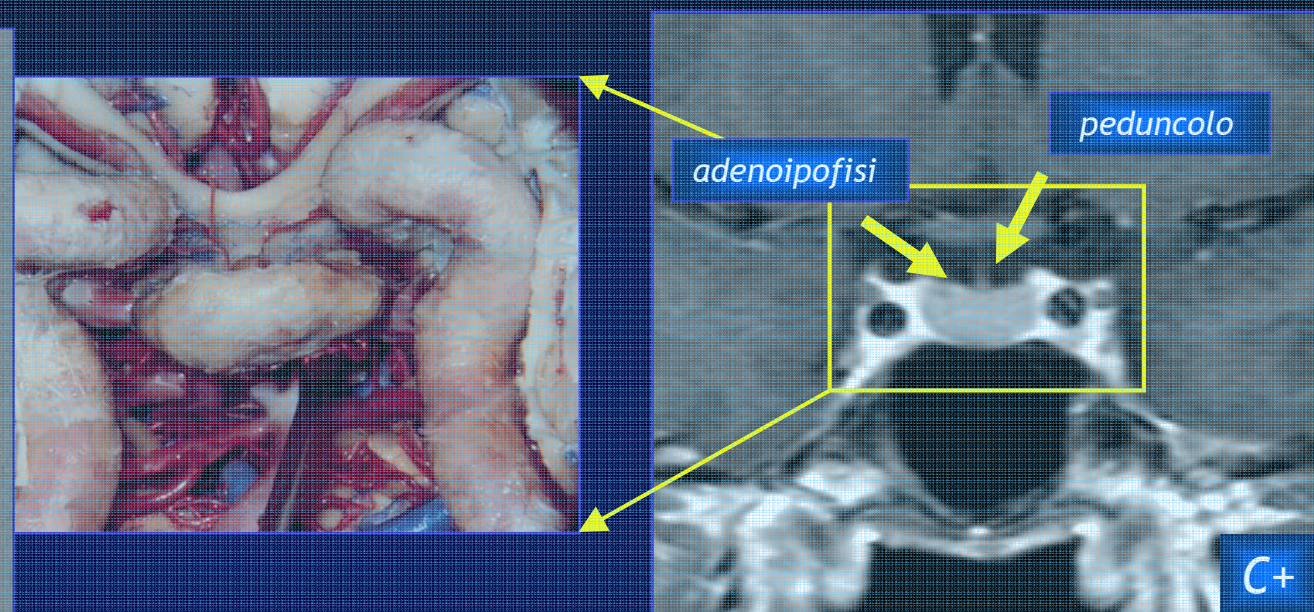
Fabio Tortora

*Seconda Università degli Studi di Napoli
Dipartimento di Scienze Neurologiche*



Capri , 16 Maggio 2013

REGIONE SELLARE



la **Risonanza Magnetica** riassume tutte le indicazioni per lo studio morfologico della regione sellare ...
i **Tomografia Computerizzata** deve essere riservata in seconda istanza a casi selezionati ... ”

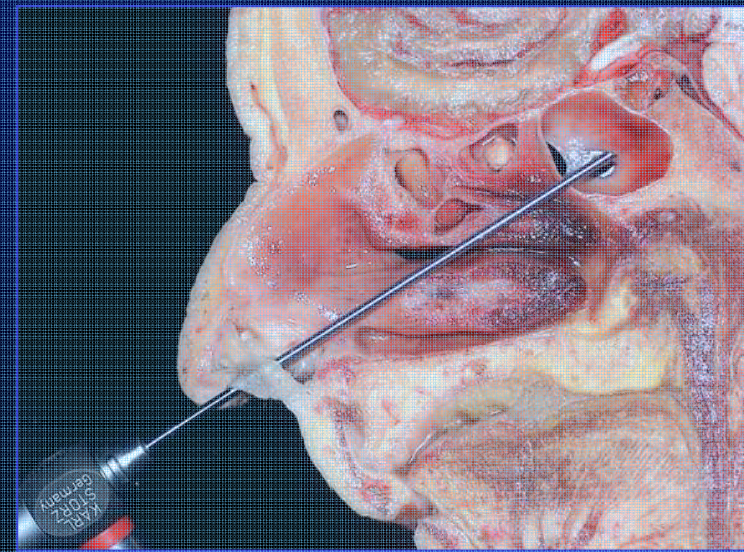
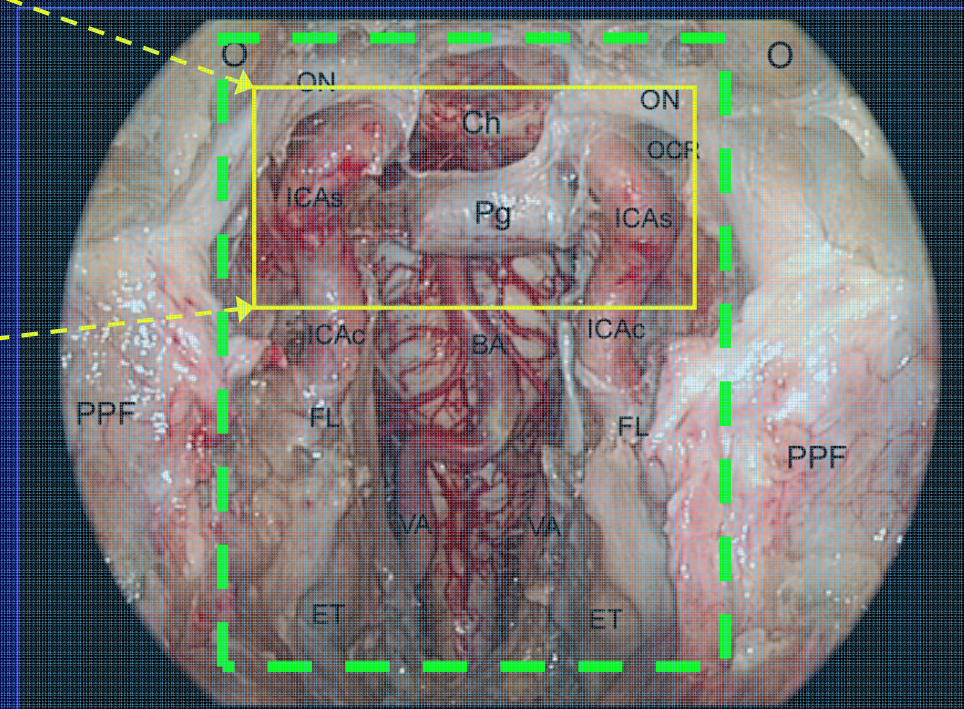
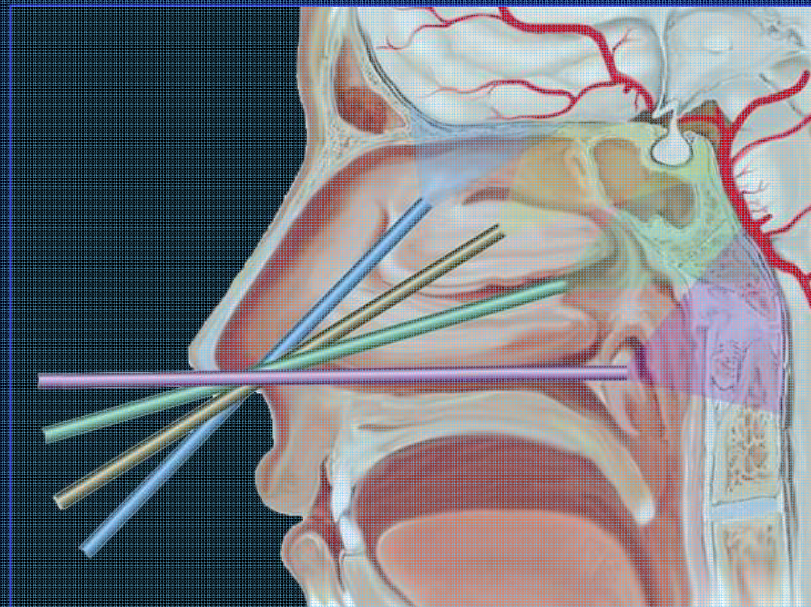
Bonneville JF et Al: *Magnetic Resonance Imaging of the pituitary area.*
Riv Neuroradiol 13 (Suppl 1): 91-100, 2000.

ANATOMIA NEURORADIOLOGICA

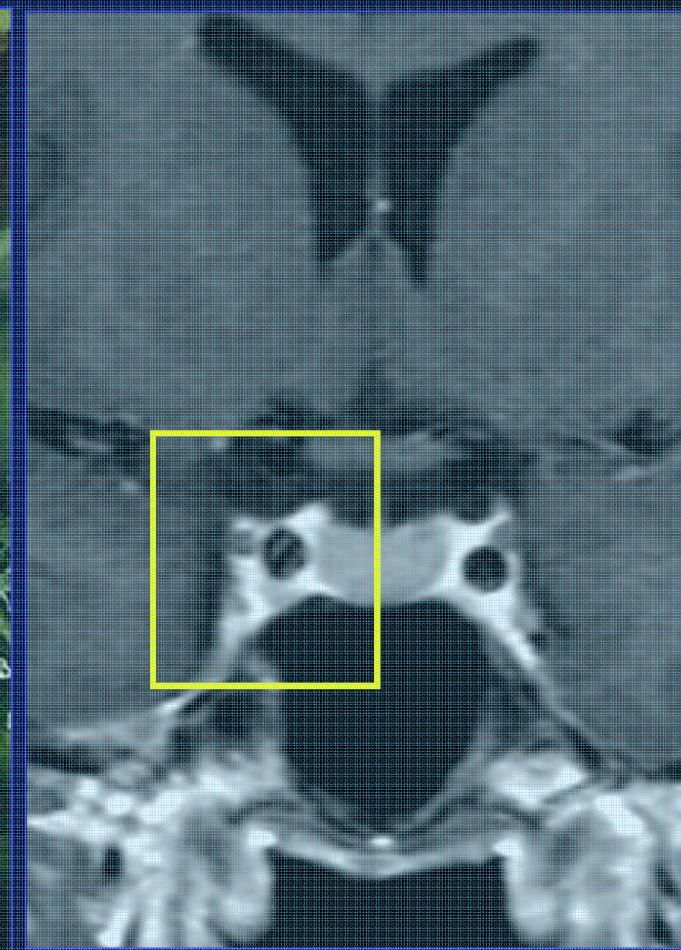
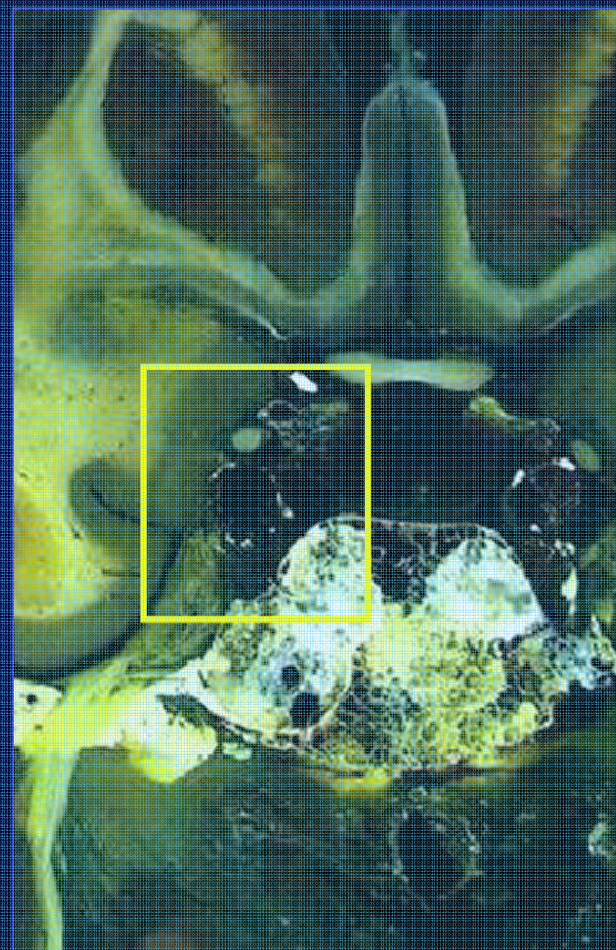
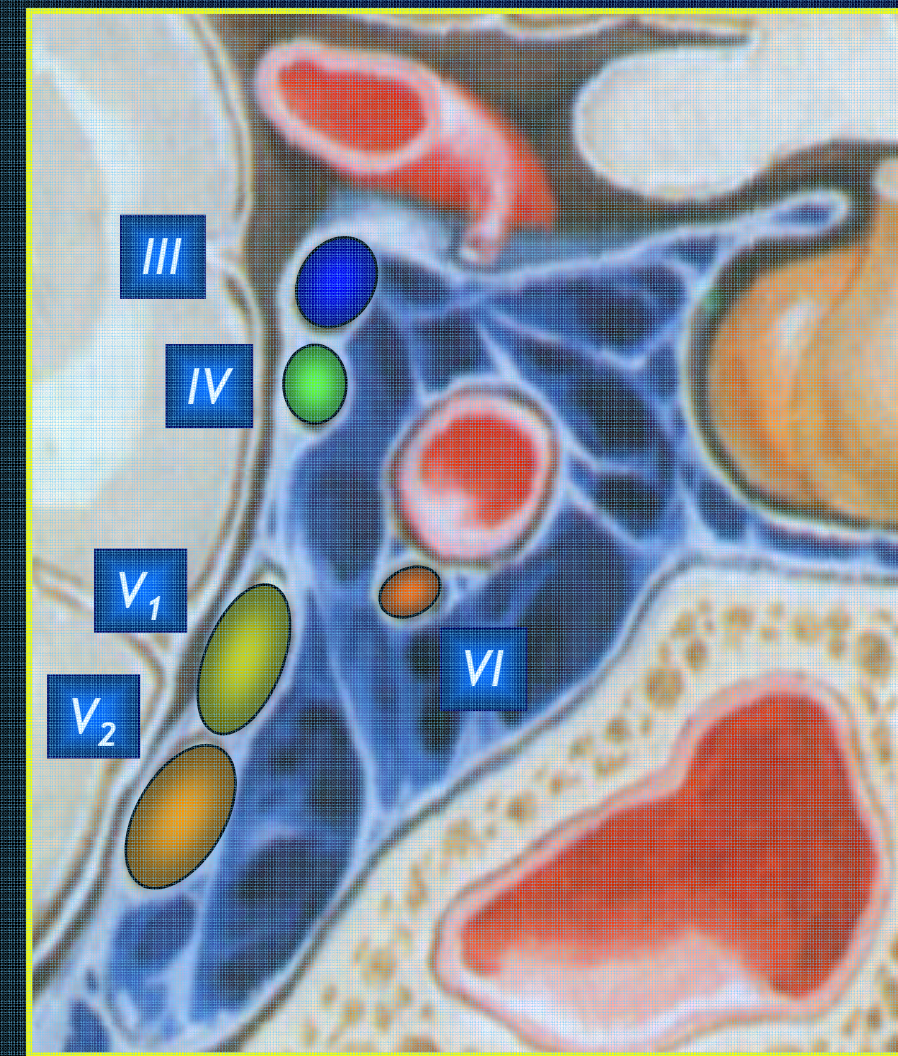


ENTRO LA SELLA

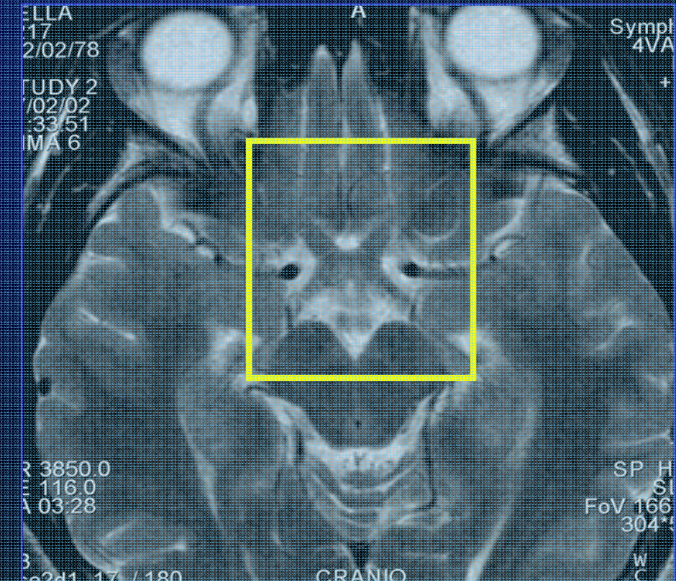
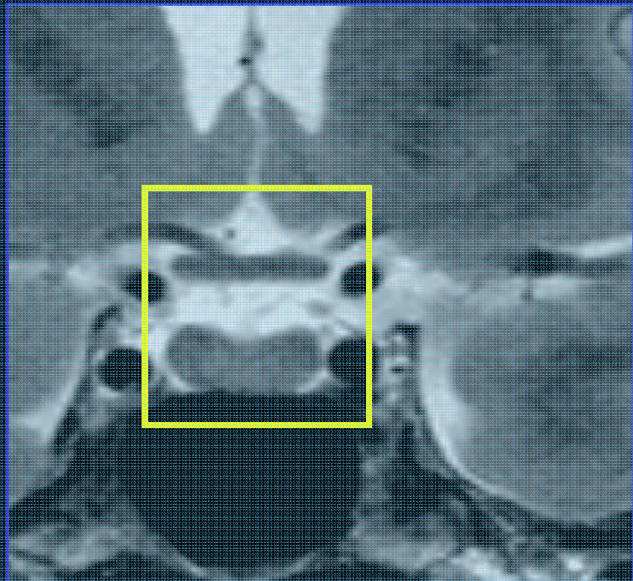
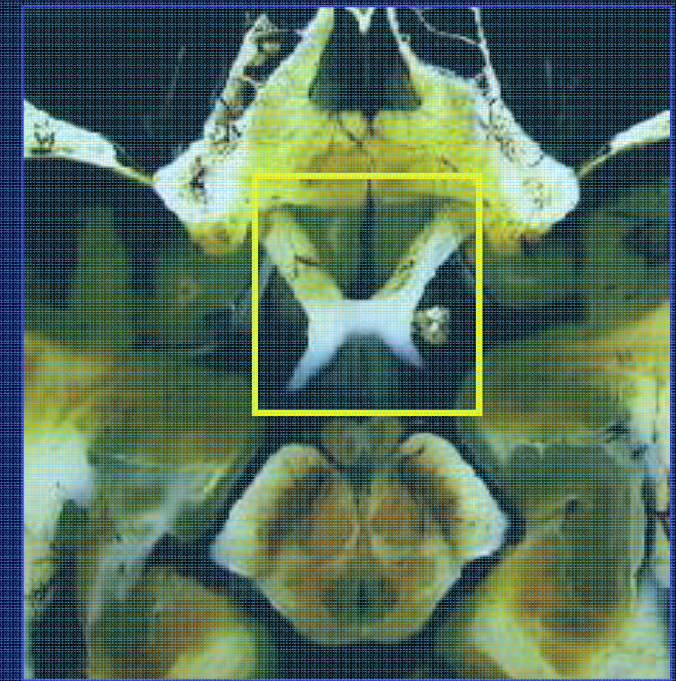
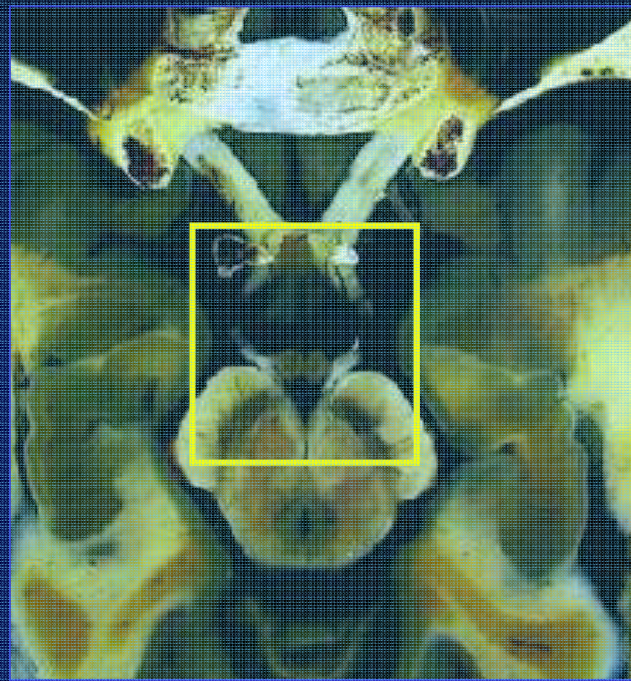
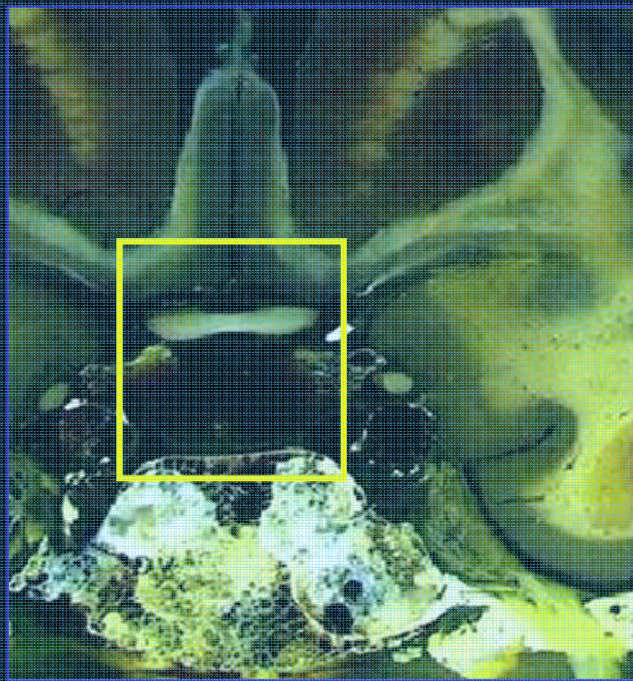
INTORNO ALLA SELLA



ANATOMIA NEURORADIOLOGICA

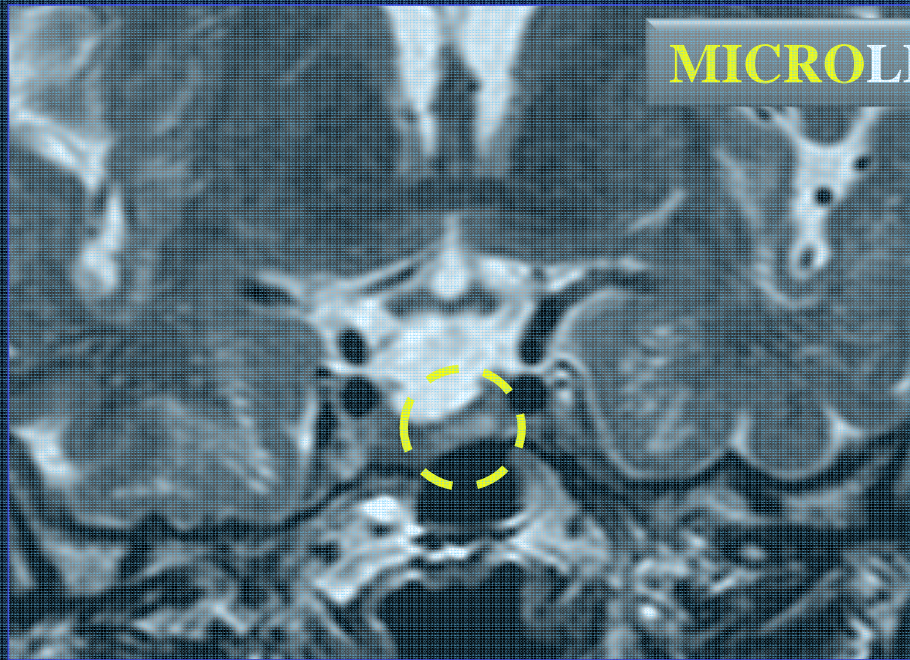


ANATOMIA NEURORADIOLOGICA

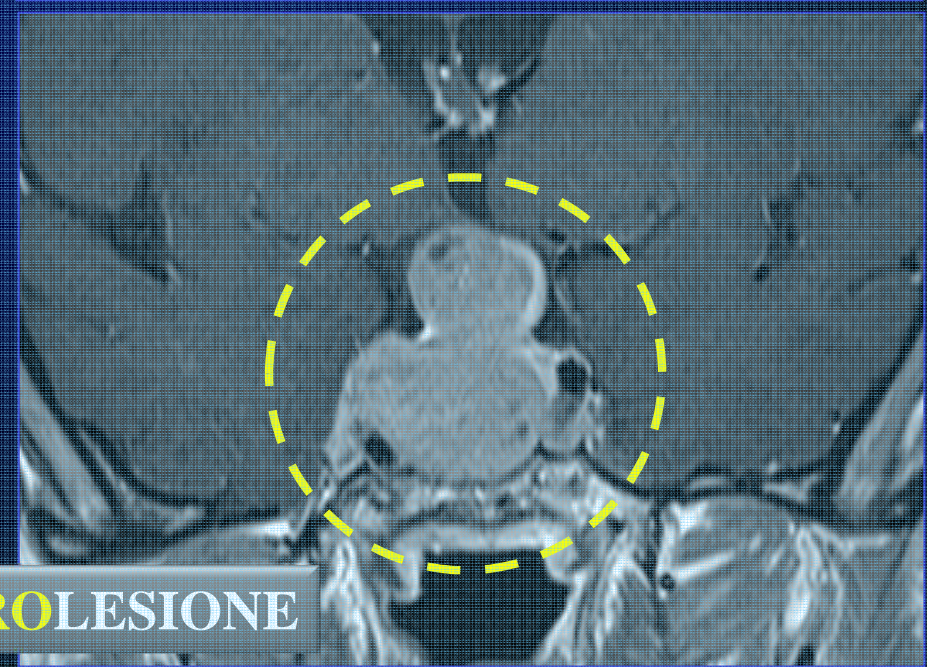
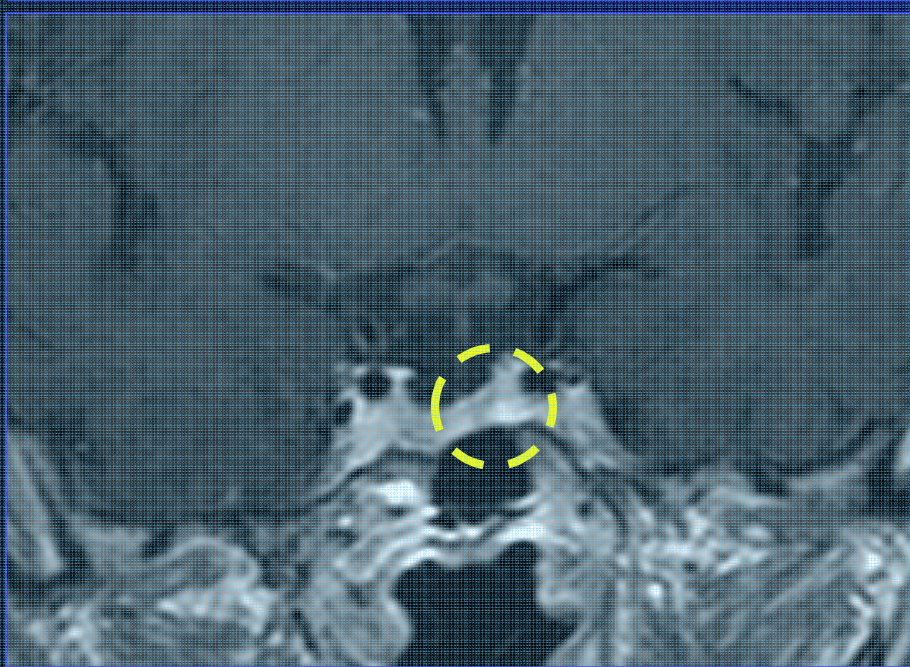
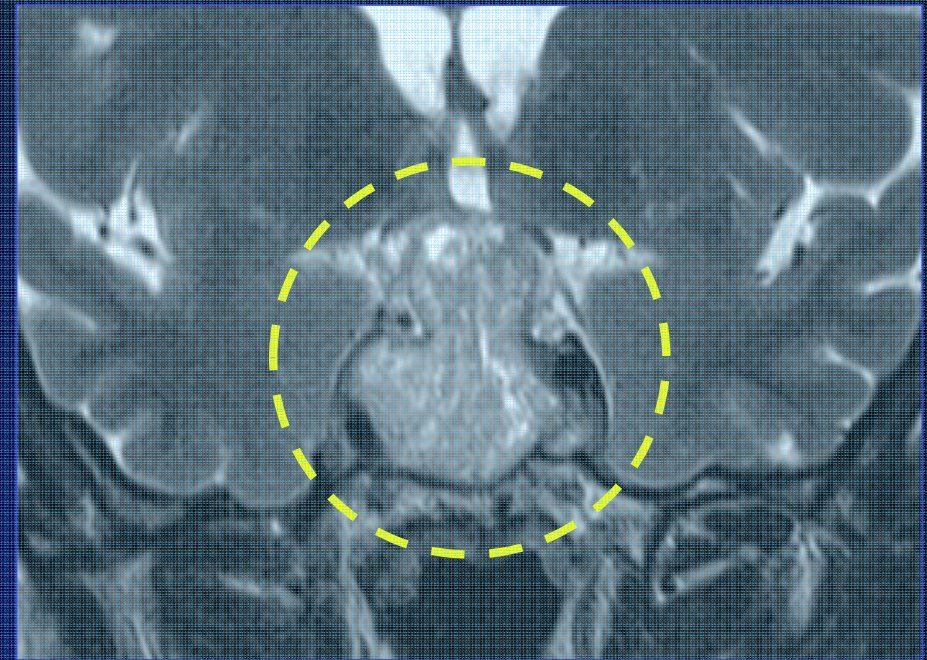


STUDIO NEURORADIOLOGICO

MICROLESIONE

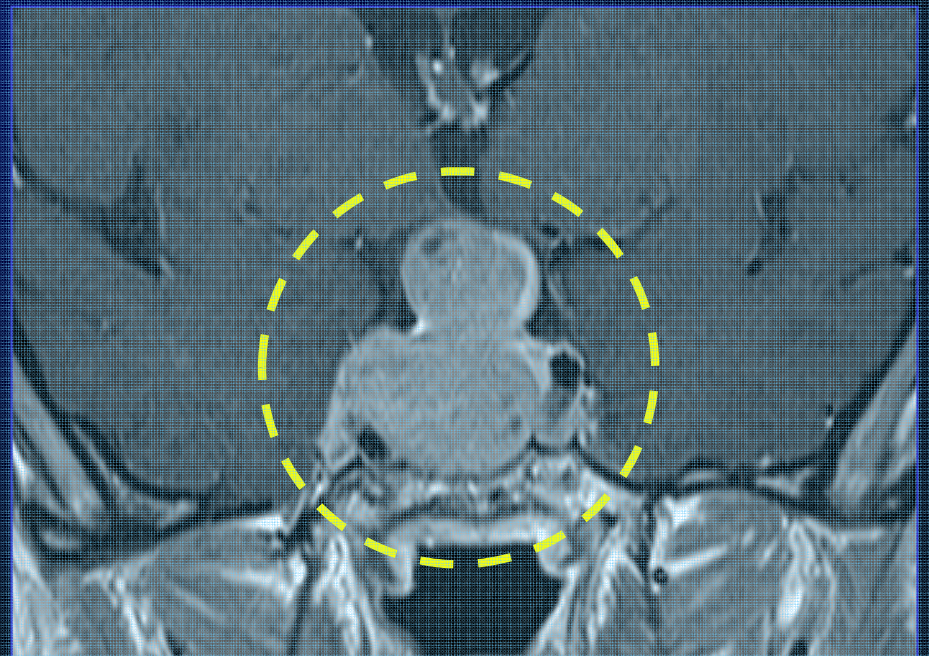


MACROLESIONE



STUDIO NEURORADIOLOGICO

- ✓ strato sottile (1-3 mm)
- ✓ piano sagittale (logge cavernose)
- ✓ piano coronale (peduncolo ipofisario)
- ✓ piano assiale (pavimento sellare)
- ✓ strato sottile (2-3 mm)
- ✓ piano sagittale (margini laterali della lesione)
- ✓ piano coronale (margini ant. - post. della lesione)
- ✓ piano assiale (margini caudale - craniale della lesione)

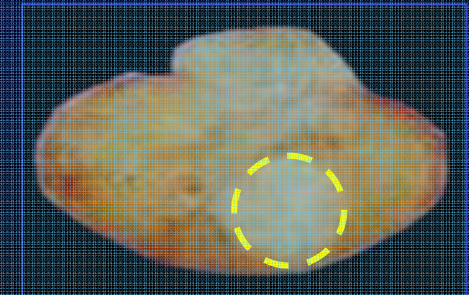
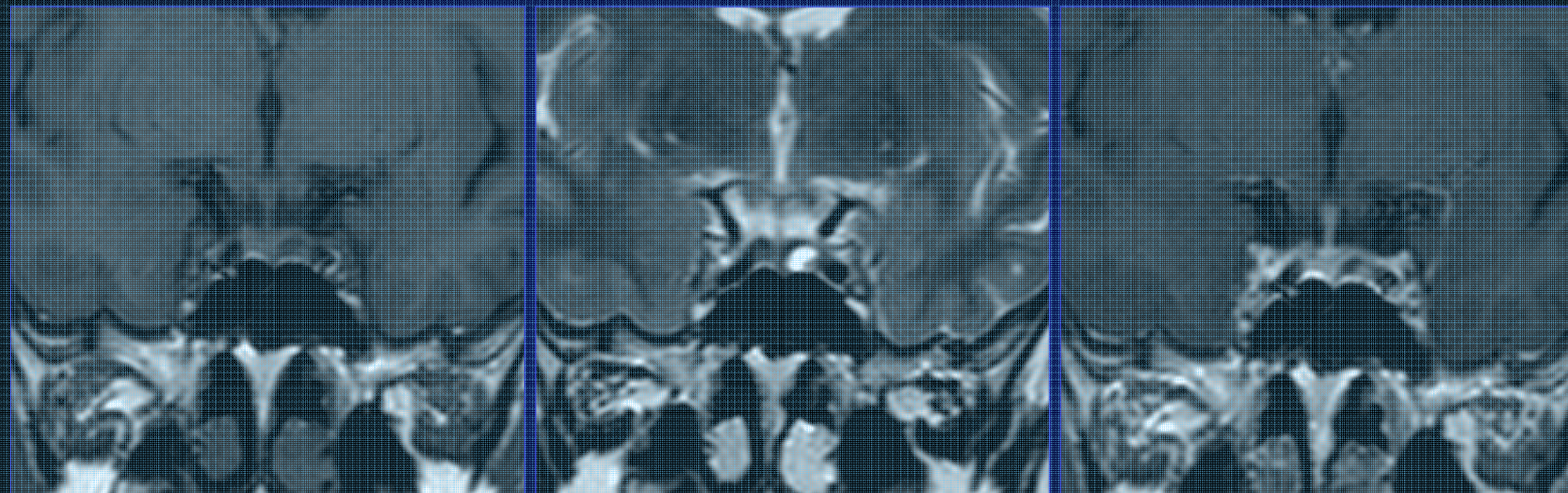


MICROADENOMA IPOFISARIO

SEGNI DIRETTI

lesione intragliandolare < 10 mm

- ✓ area focale di alterato segnale
- ✓ area focale di alterata impregnazione

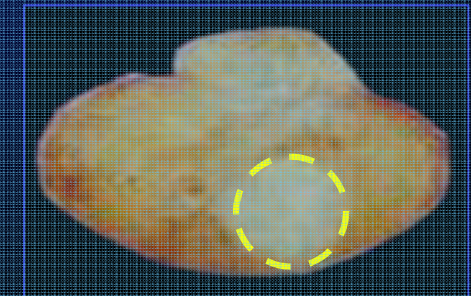
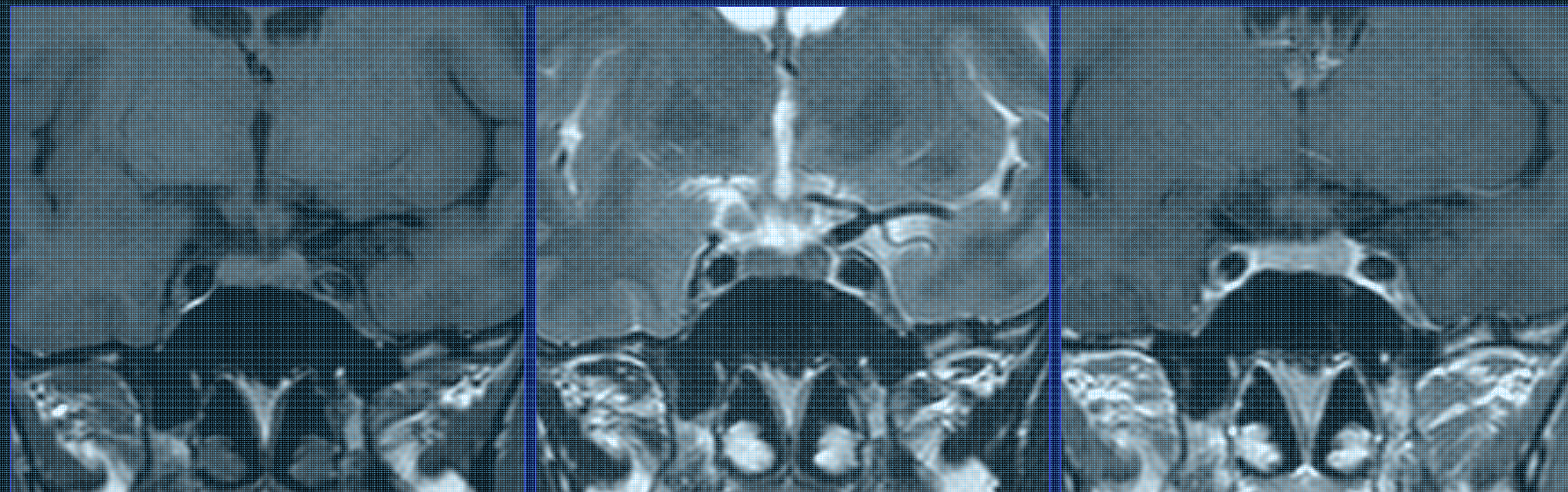


MICROADENOMA IPOFISARIO

SEGNI DIRETTI

lesione intragliandolare < 10 mm

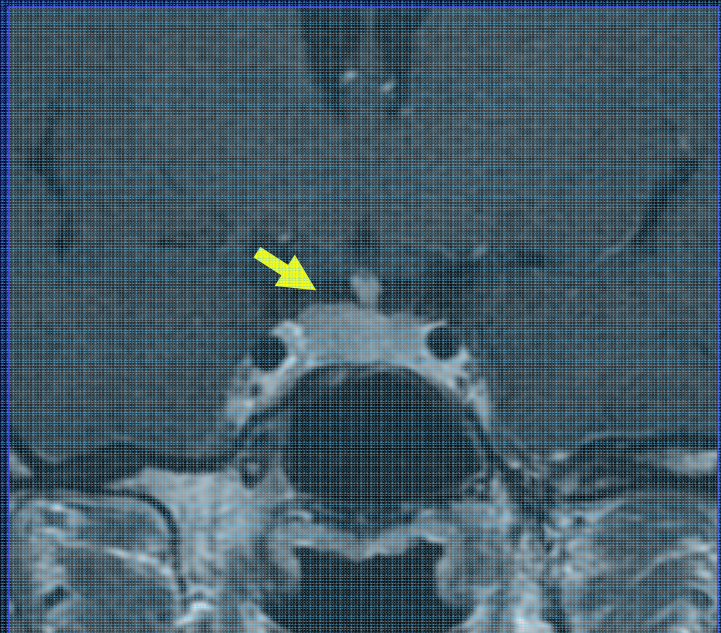
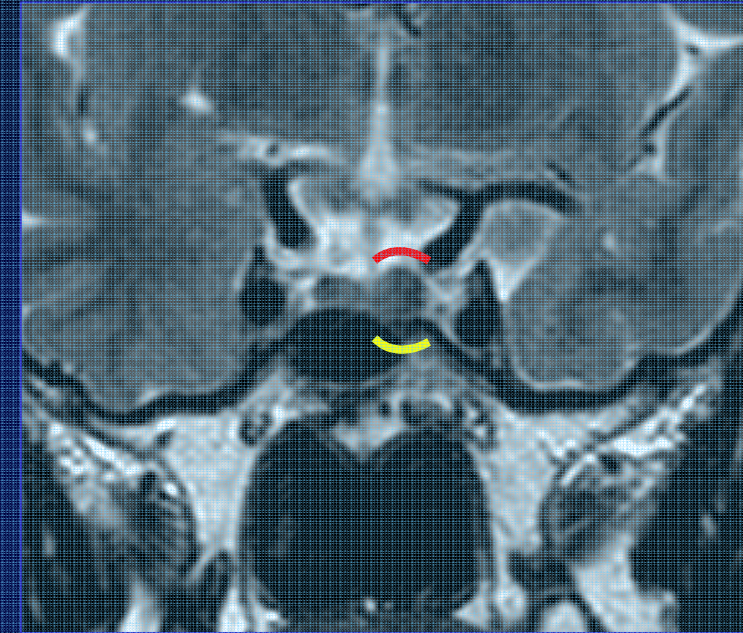
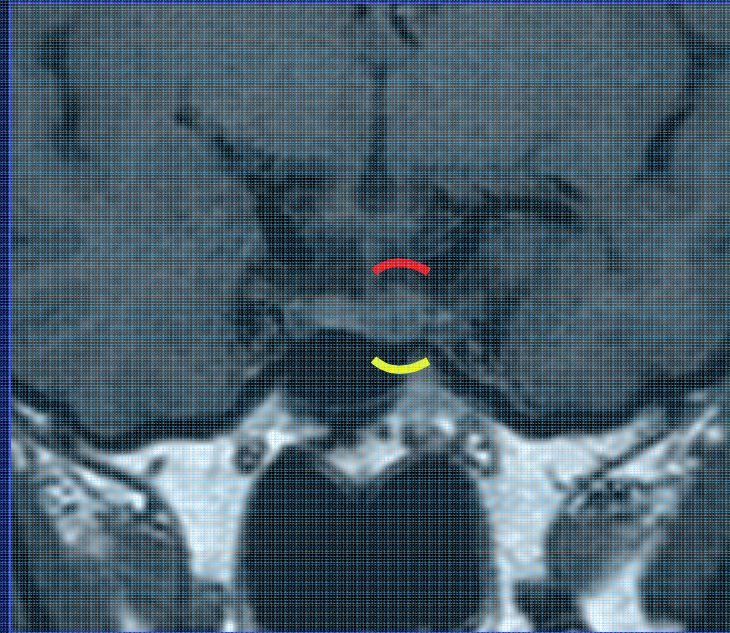
- ✓ area focale di alterato segnale
- ✓ area focale di alterata impregnazione



MICROADENOMA IPOFISARIO

SEGANI INDIRETTI

- ✓ convessità superiore
- ✓ erosione pavimento
- ➔ deviazione peduncolo



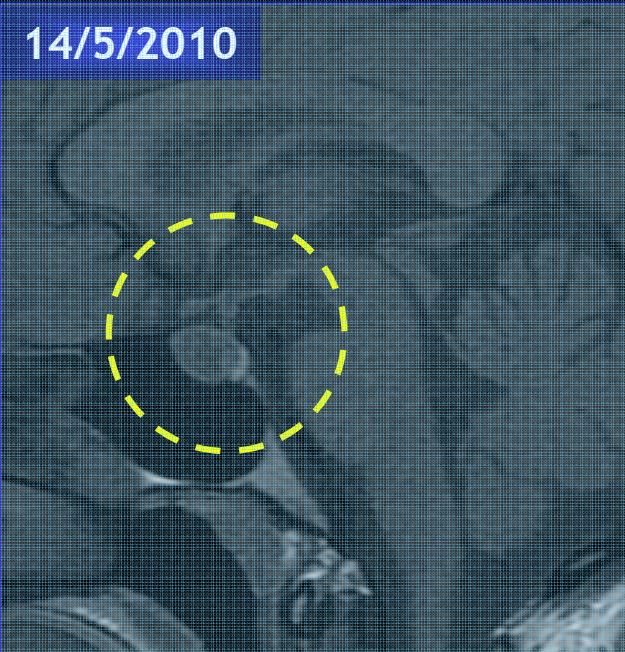
T₁

MICROADENOMA IPOFISARIO

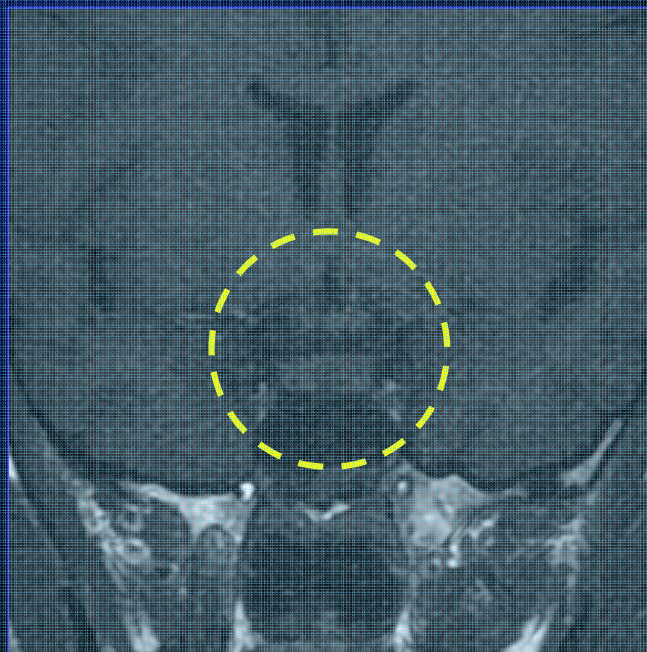
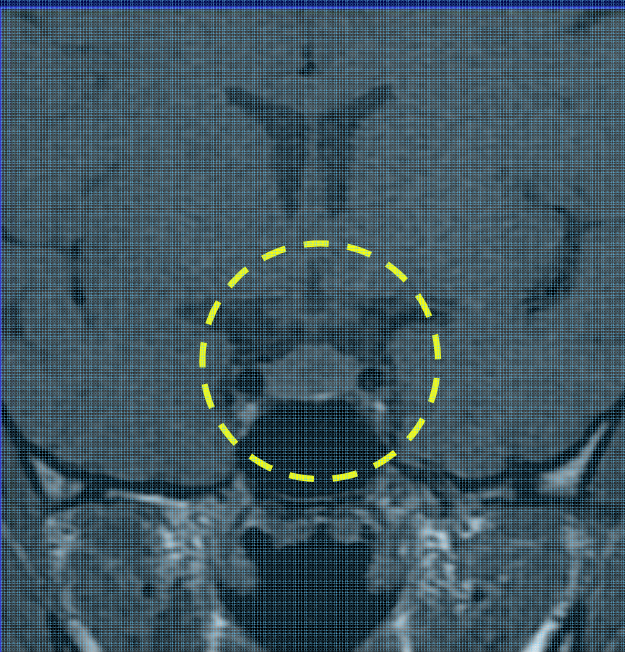
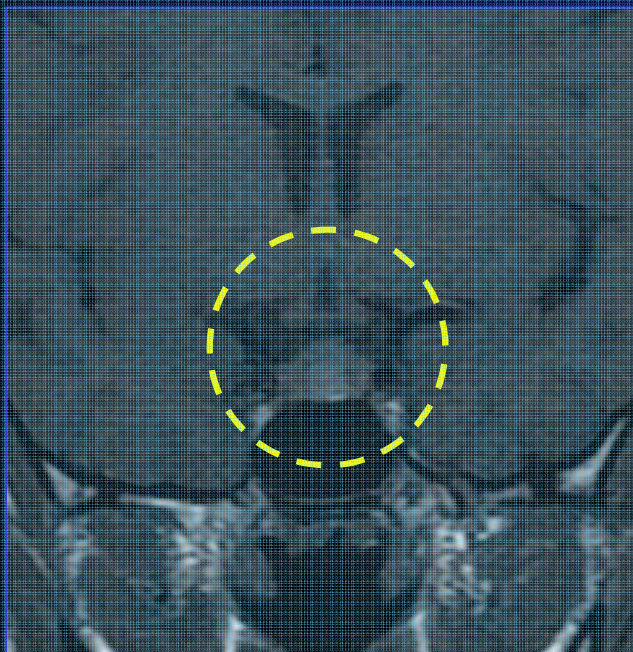
29/10/2009



14/5/2010

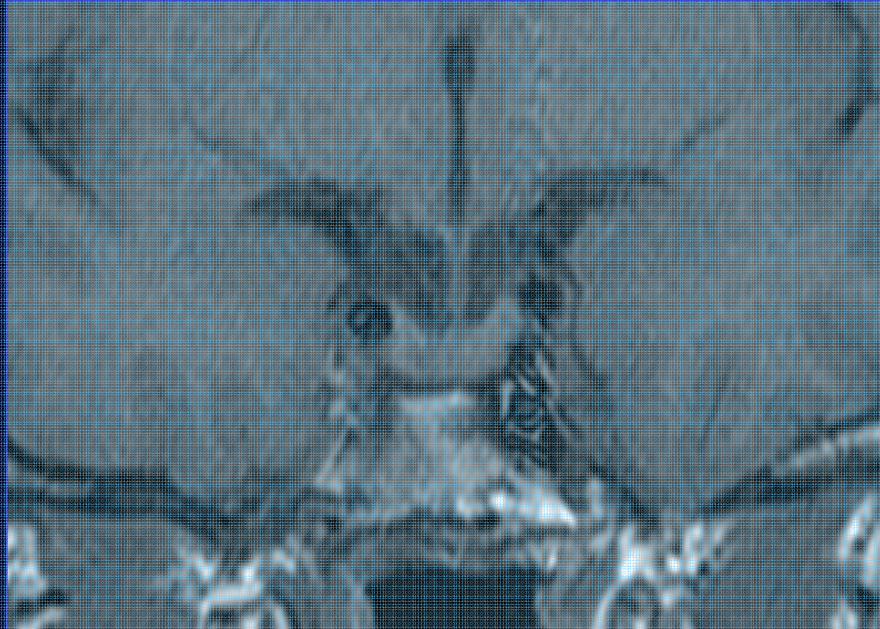


17/11/2011



MICROADENOMA IPOFISARIO

MdC

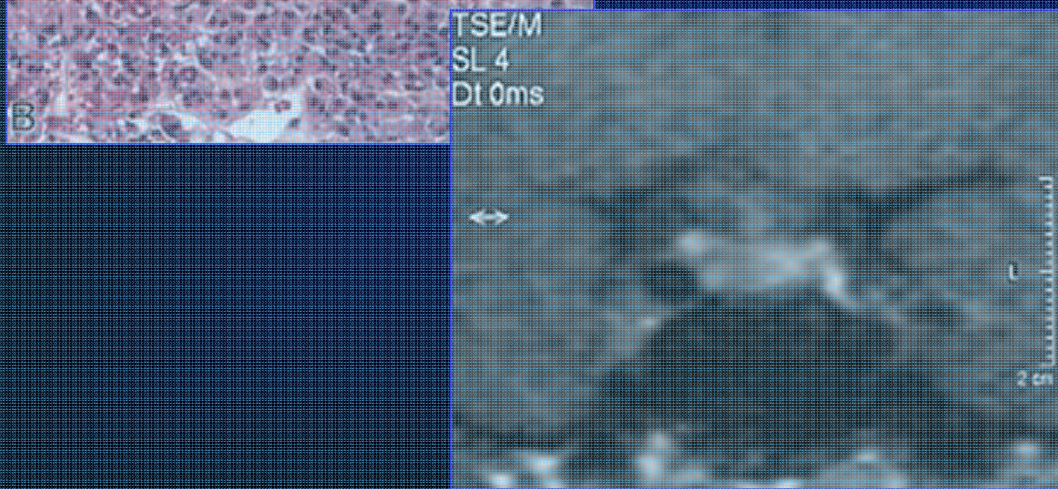
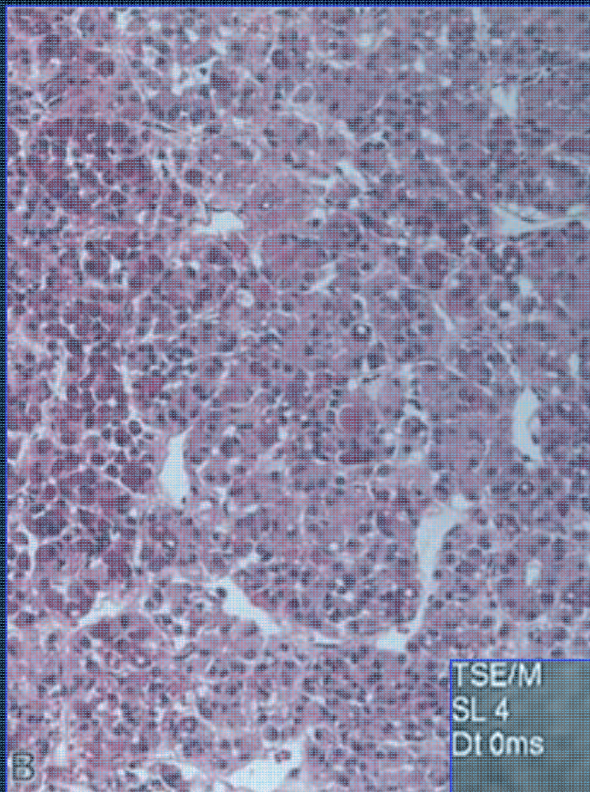


“flip-flop”

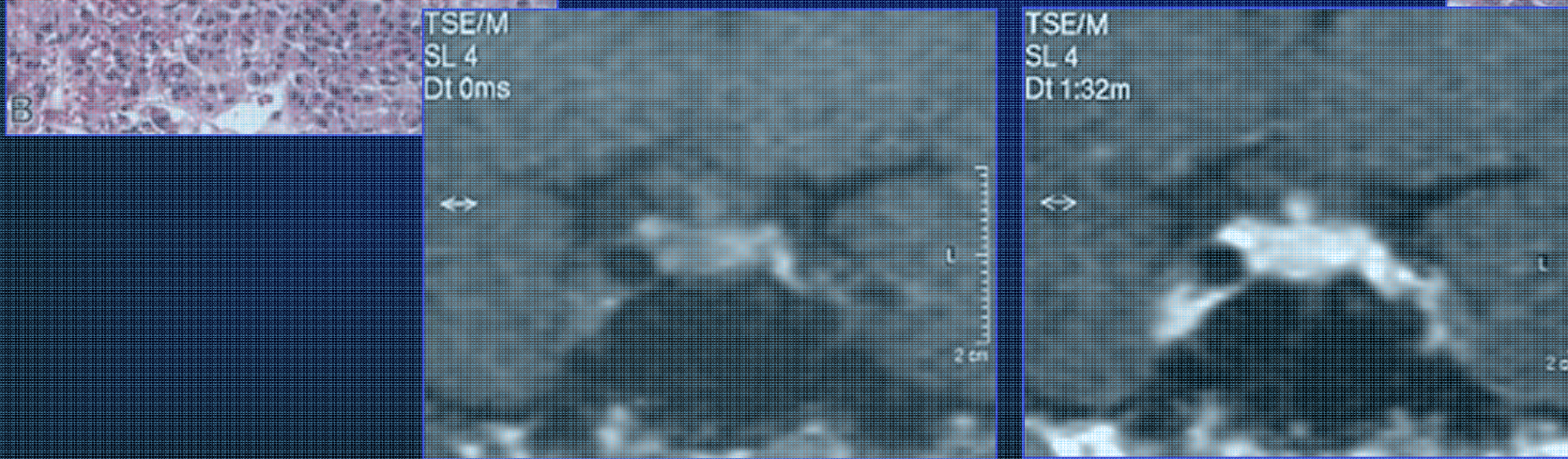
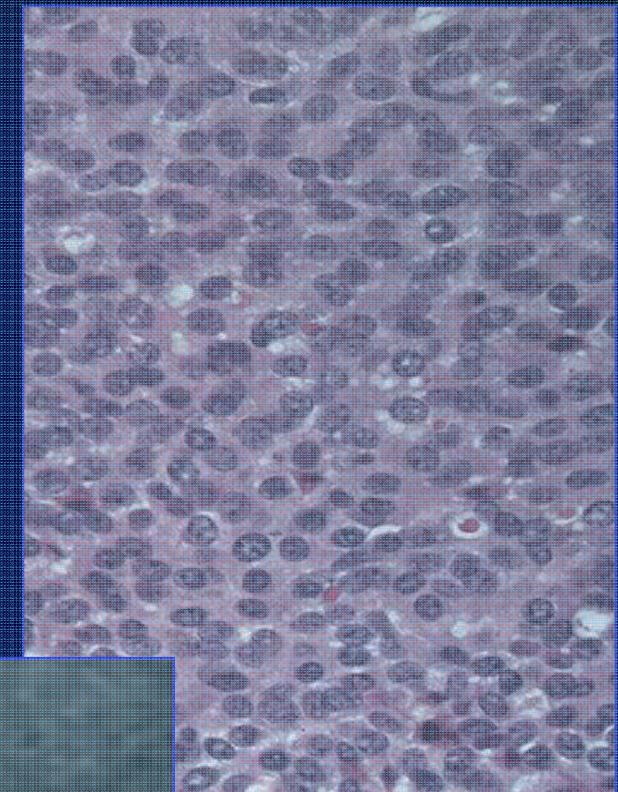


MICROADENOMA IPOFISARIO

IPOFISI NORMALE



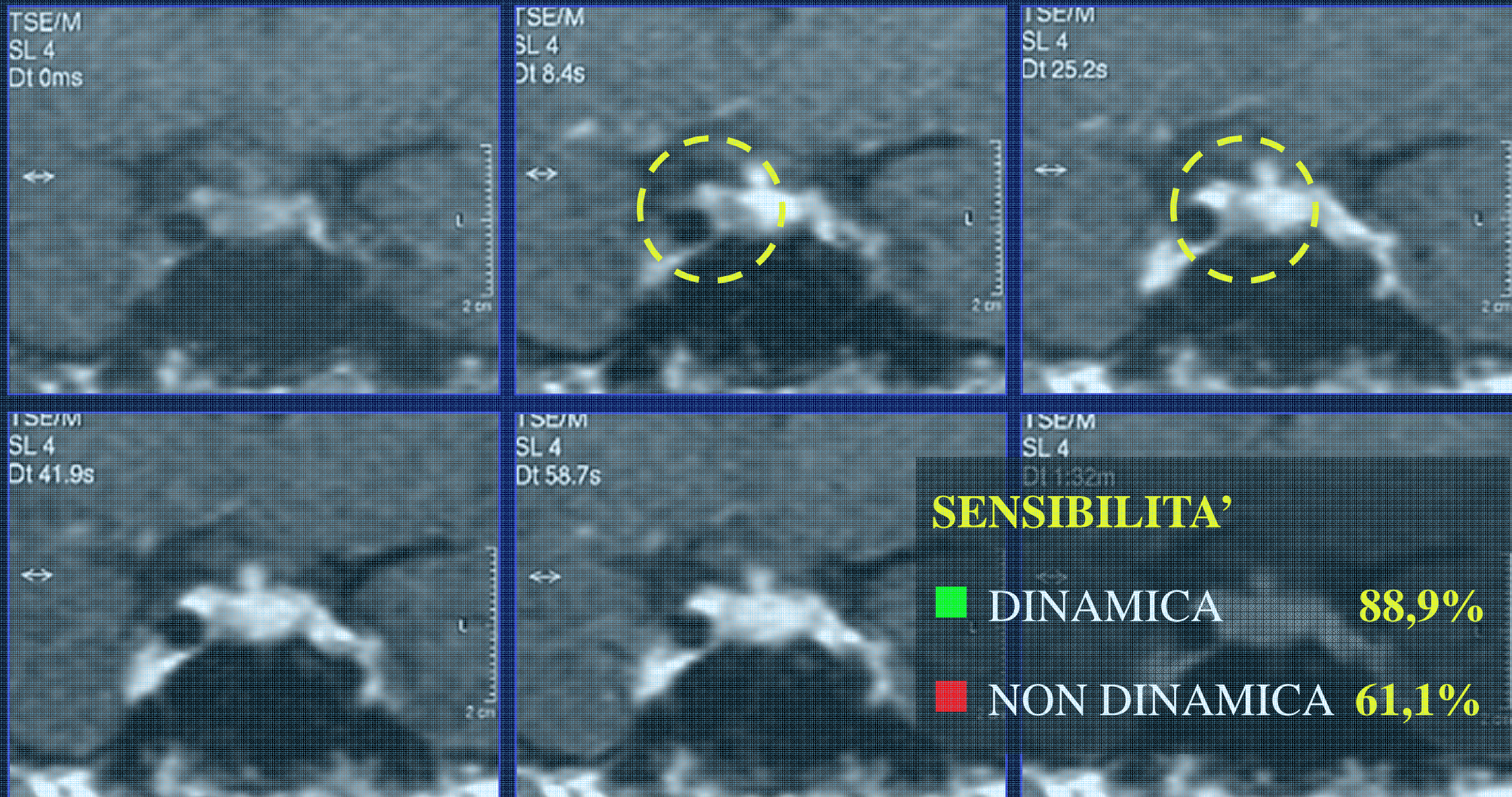
ADENOMA IPOFISARIO



- ✓ cellule poligonali uniformi
- ✓ tessuto connettivo scarso
- ✓ attività mitotica modesta

MICROADENOMA IPOFISARIO

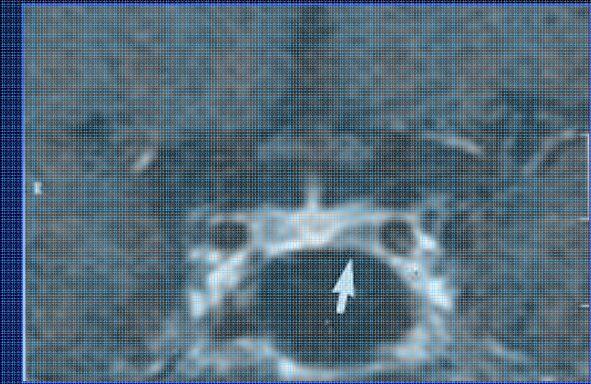
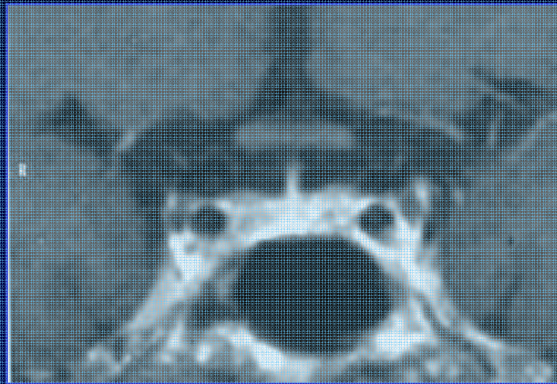
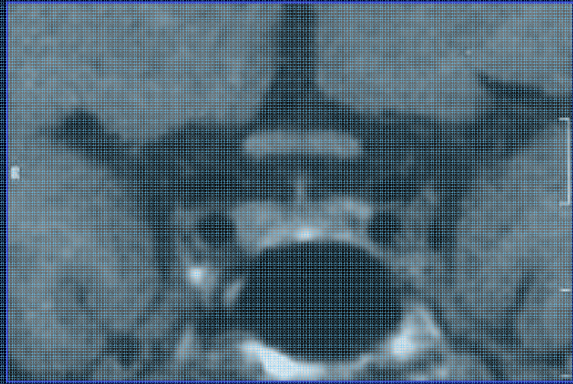
RM DINAMICA



Bartynski WS, et Al: *The effect of MR contrast medium dose on pituitary gland enhancement, microlesion enhancement and pituitary gland-to-lesion contrast conspicuity*. **Neuroradiology** 48 449-459, 2006.

MICROADENOEMA IPOFISARIO

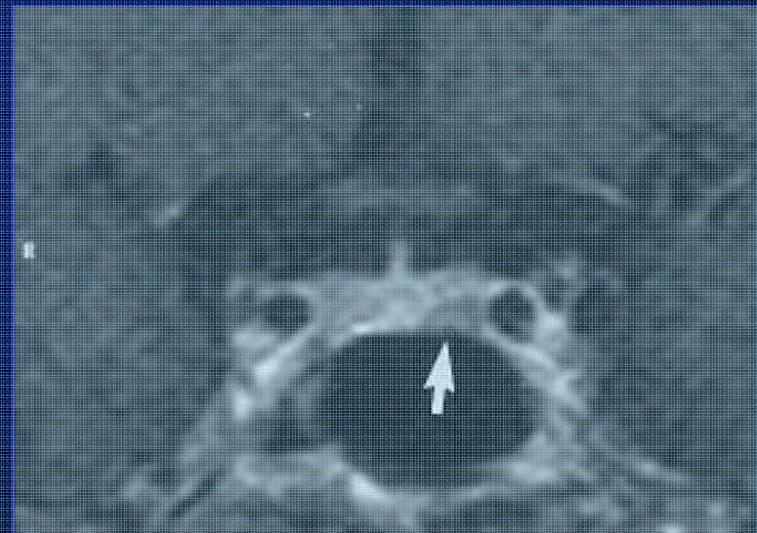
MALATTIA DI CUSHING



SENSIBILITA'

■ DINAMICA 67%

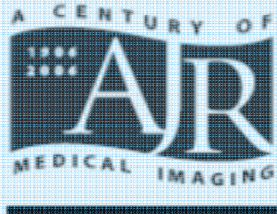
■ NON DINAMICA 52%



Tabarin A, et Al: Comparative evaluation of conventional and dynamic magnetic resonance imaging of the pituitary gland for the diagnosis of Cushing's disease. Clin Endocrinol (Oxf). 1998 Sep;49(3):293-300.

MICROADENOMA IPOFISARIO





Bilateral Inferior Petrosal Sinuses Sampling in the Routine Investigation of Cushing's Syndrome: A Comparison with MRI

La presenza di un gradiente significativo di ACTH tra il sangue periferico e quello prelevato dal seno petroso inferiore è diagnostico per S.Cushing da secrezione ipofisaria...la sua assenza è diagnostica per sindrome da secrezione ectopica di ACTH

CRITERI DIAGNOSTICI

- incremento ACTH > 50% dopo somministrazione di CRH (criterio biochimico)
 - IPS / P gradiente > 2

MALATTIA DI CUSHING

VARIABILI MRI

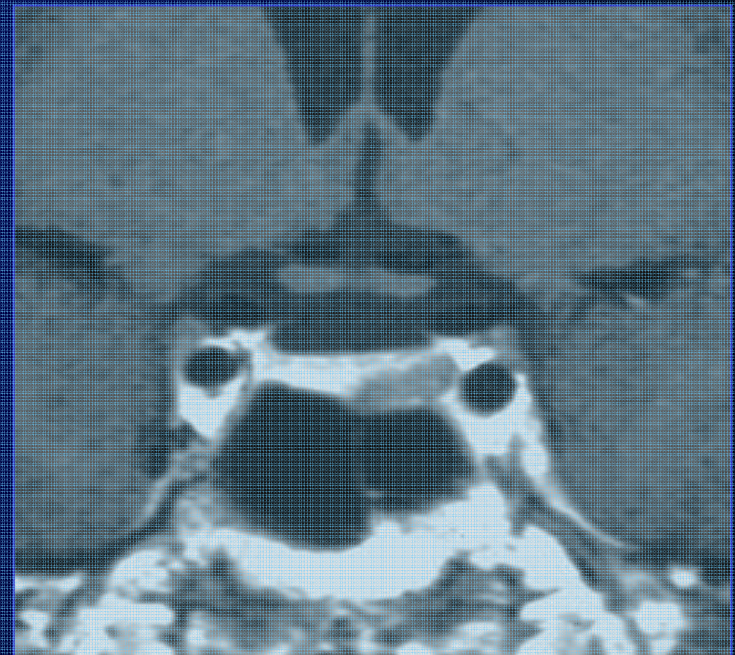
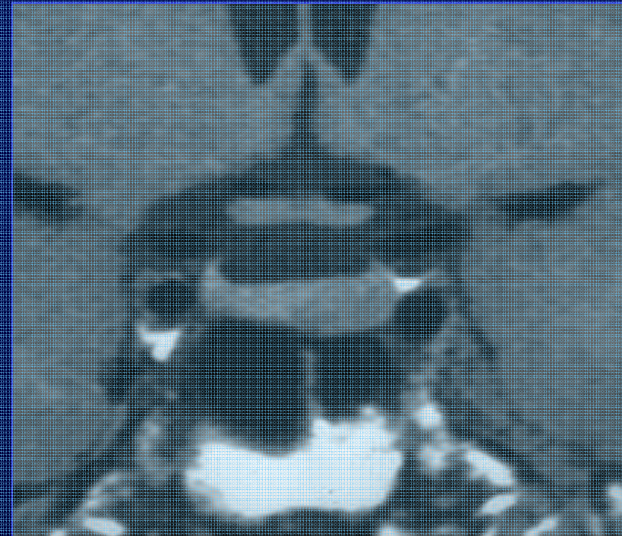


1.5 T > 3 T

DOSAGGIO
GADOLINIO

SEQUENZE:
DINAMICHE
SPIN-ECHO,
SPGR o VI-SGE

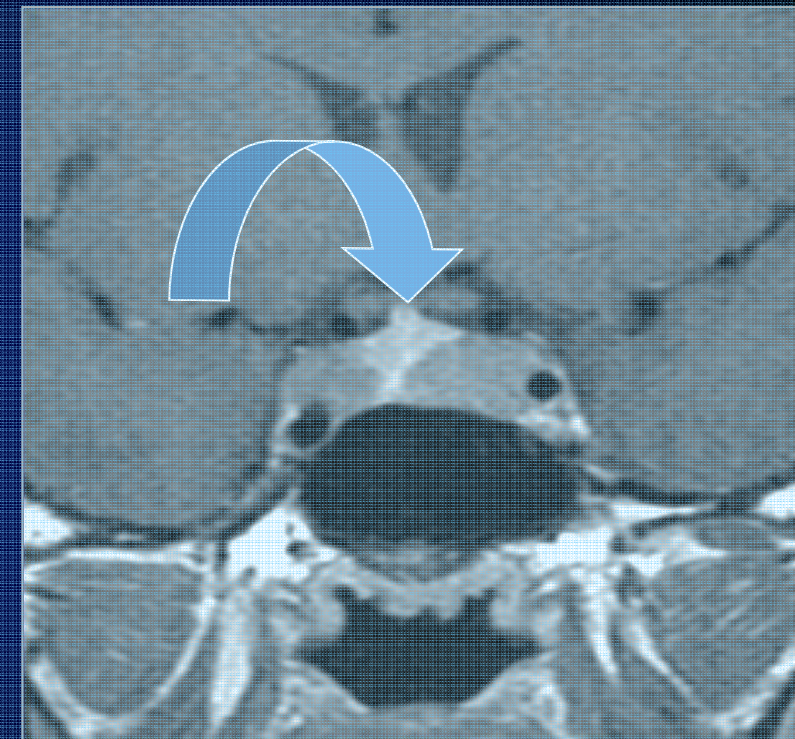
Gadolinio



mezza-dose !!



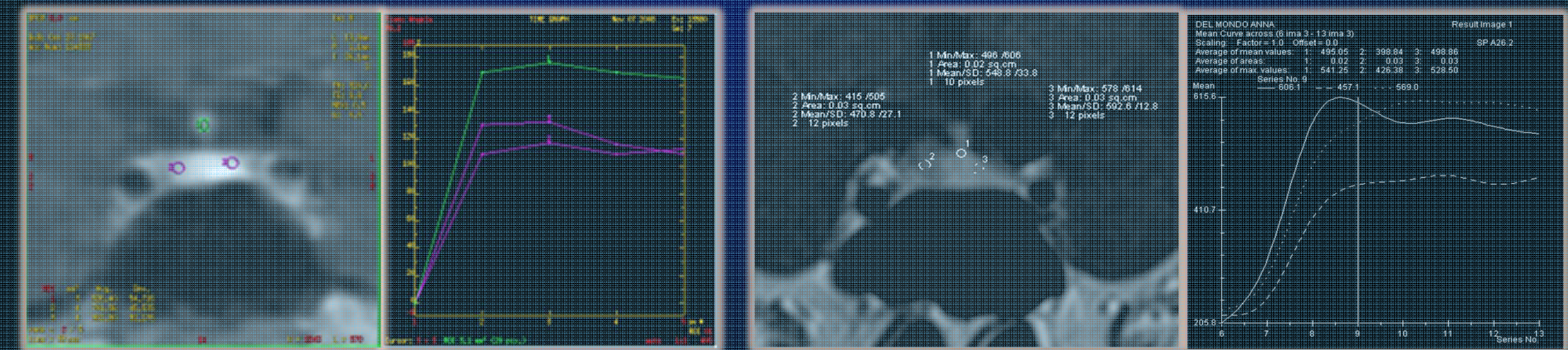
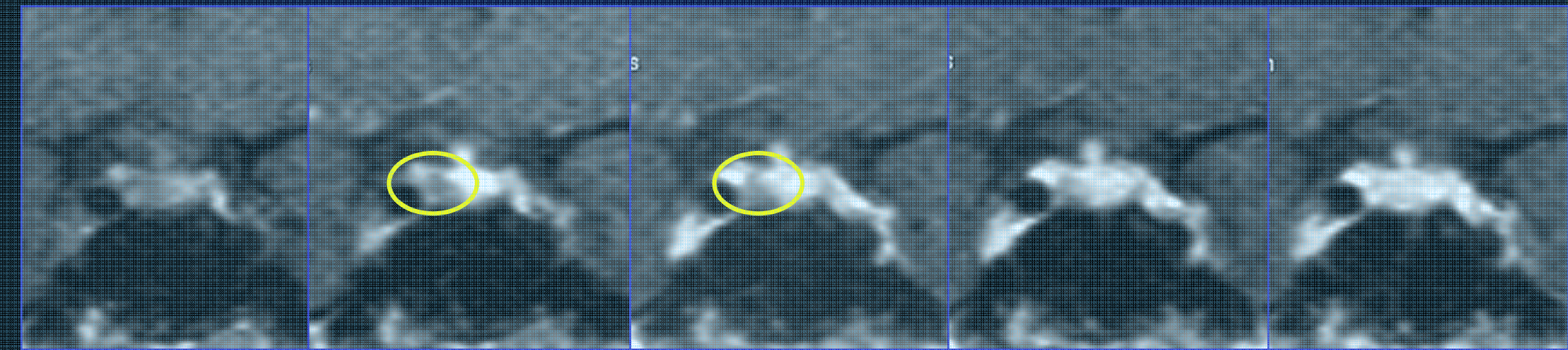
Gadolinio



...maggiore impregnazione dell'adenoipofisi!!

PATOLOGIA IPOFISARIA

DynamicMR imaging



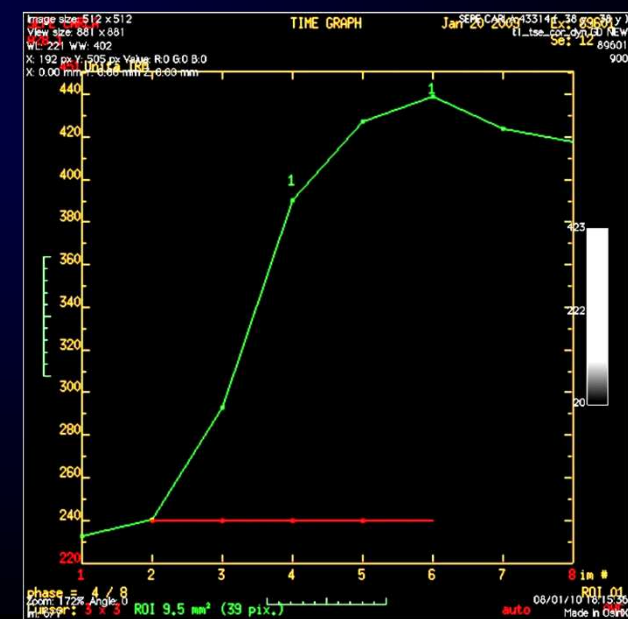
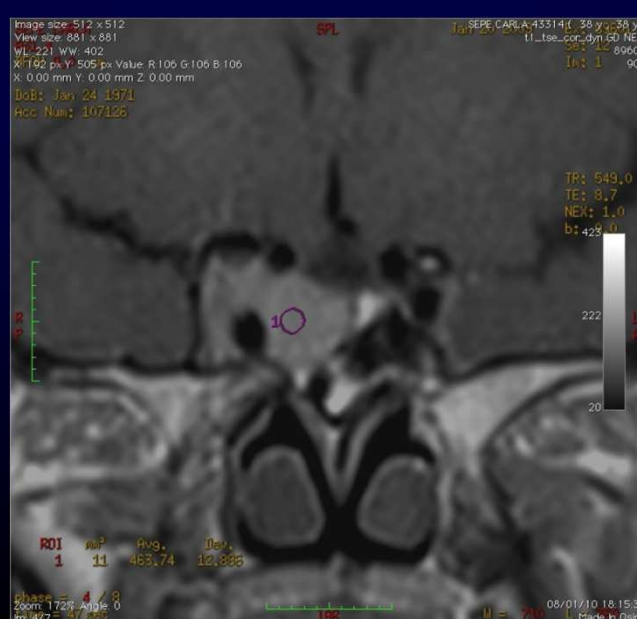
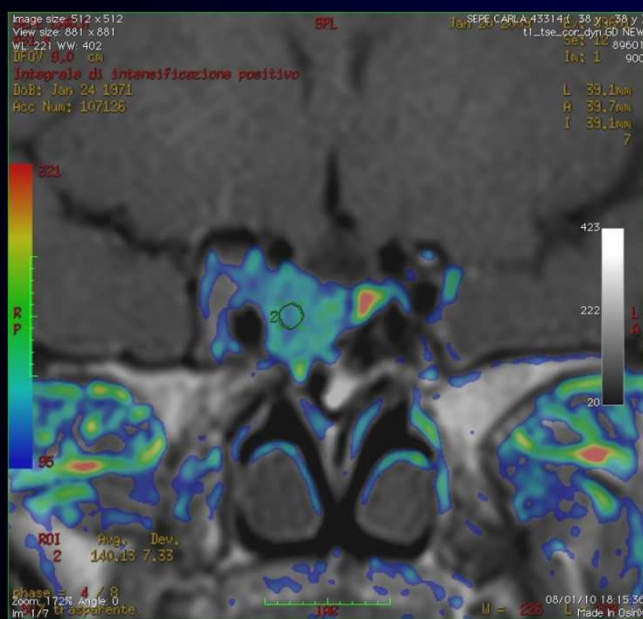
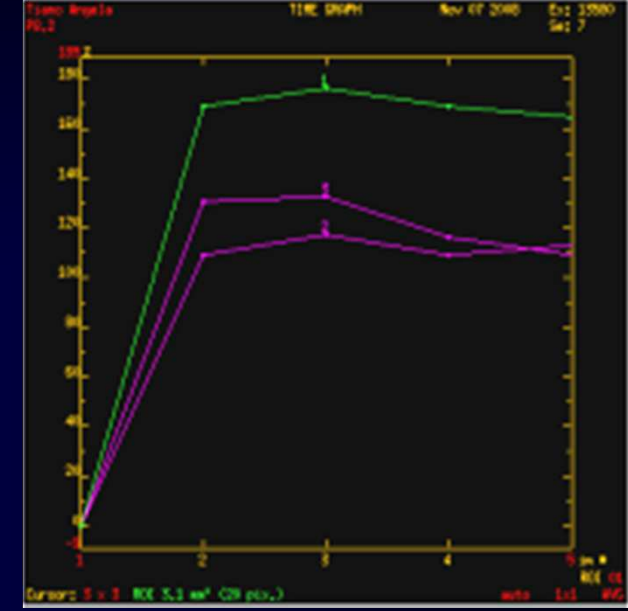
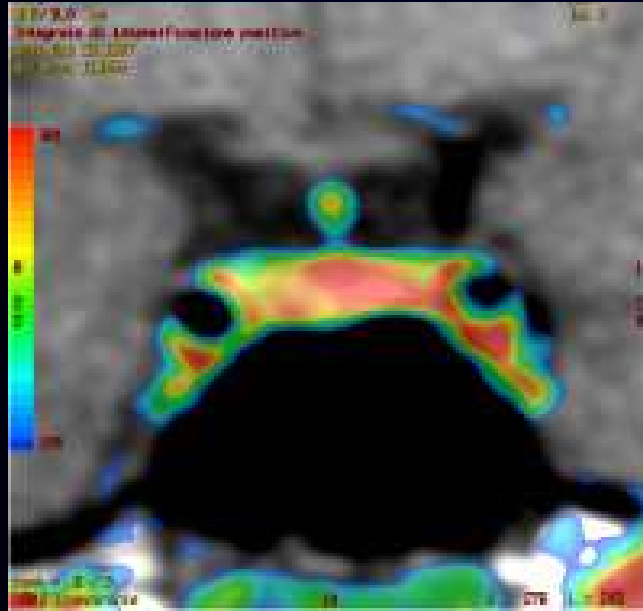
1 Min/Max: 406 / 606
1 Area: 0.02 sq.cm
1 Mean/SD: 548.8 / 33.8
1 10 pixels

2 Min/Max: 416 / 605
2 Area: 0.03 sq.cm
2 Mean/SD: 470.3 / 27.1
2 12 pixels

3 Min/Max: 578 / 614
3 Area: 0.03 sq.cm
3 Mean/SD: 592.6 / 12.8
3 12 pixels

DEL MONDO ANNA
Mean: Curve across (6 ima 3 - 13 ima 3)
Scaling: Factor= 1.0 Offset= 0.0
Average of mean values: 1: 495.05 2: 398.84 3: 498.86
Average of max values: 1: 541.25 2: 426.38 3: 528.50
Series No. 9
Mean: 615.6 — 457.1 — 569.0

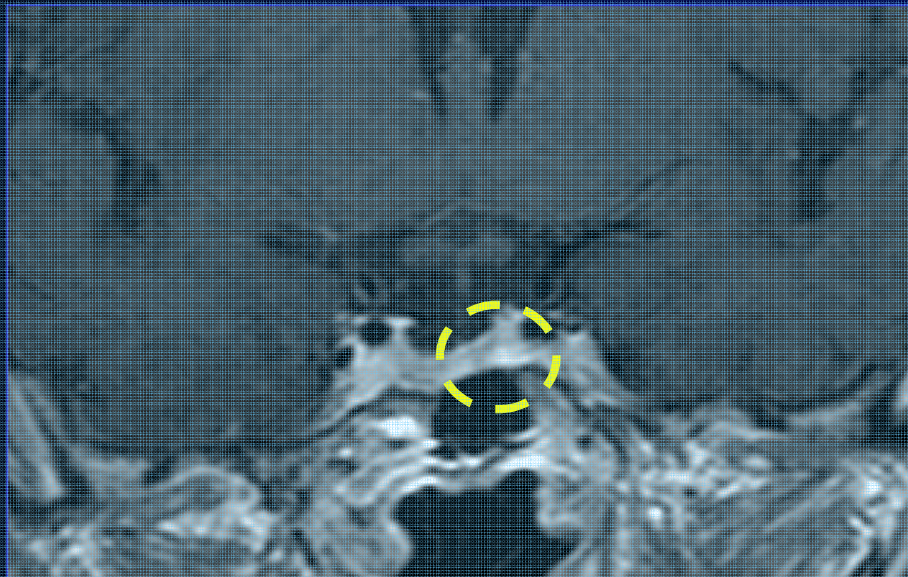
✓ tecniche aggiuntive : mdc dinamico



MALATTIA DI CUSHING

SCELTA DELLA SEQUENZA DI STUDIO: SPIN-ECHO, o VI-SGE

- ✓ strato sottile (1-3 mm)
- ✓ piano sagittale (logge cavernose)
- ✓ piano coronale (peduncolo ipofisario)
- ✓ piano assiale (pavimento sellare)



SEQUENZA Spin-Echo 1.5T

TR/TE: 400/9 msec.

FOV: 12*12cm.

Slice Thickness: 3mm.

SEQUENZA VI-SGE 1.5T

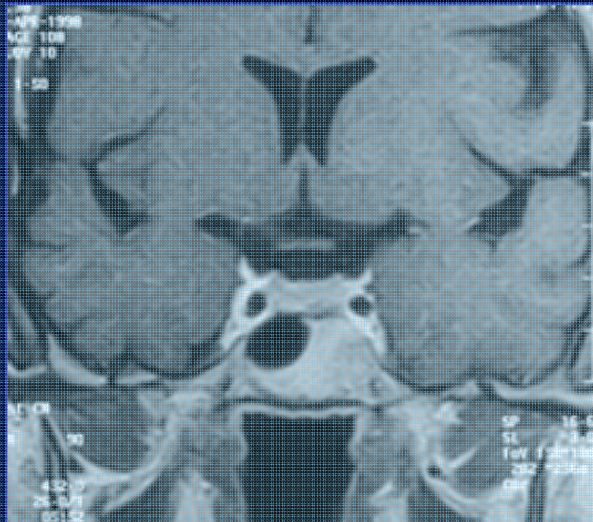
TR/TE: 10/3,3 msec.

FOV: 16*16cm.

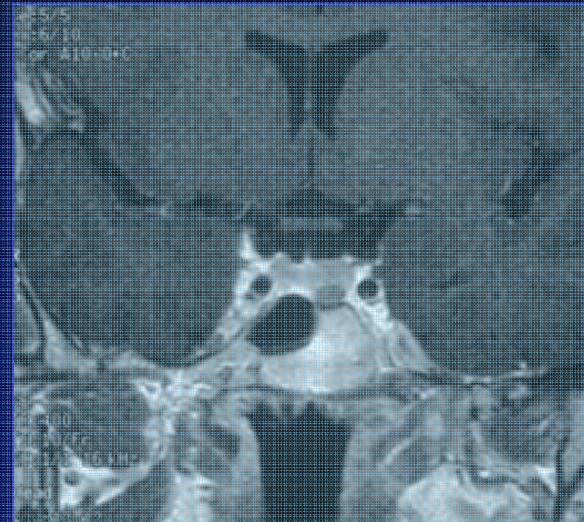
Slice Thickness: 1-2mm.

MICROADENOMA IPOFISARIO

ADENOMI ACTH



(TR)/(TE) 422/26 ms;
(FOV) 15,8 · 18,0 cm.



TR/TE 400/10 ms;
FOV 12 · 12 cm.

I PARAMETRI DI ACQUISIZIONE INFLUENZANO I RISULTATI:

"Not all 'T1-weighted SE scans are equally accurate. MRI technique, particularly FOV and TR/TE value, influences Results".

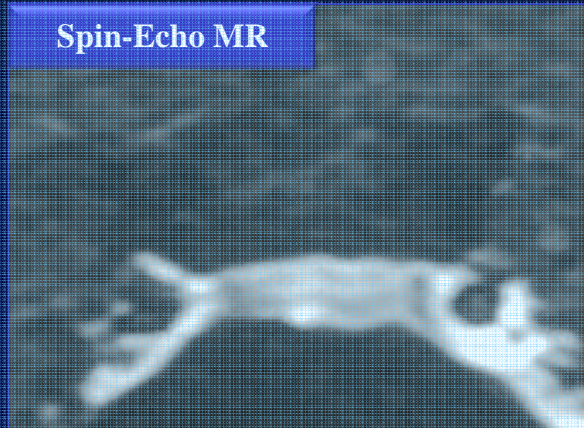
Iffat N. Chowdhury et Al: A change in pituitary magnetic resonance imaging protocol detects ACTH-secreting tumours in patients with previously negative results.
Clinical Endocrinology (2010) 72, 502–506

MICROADENOMA IPOFISARIO

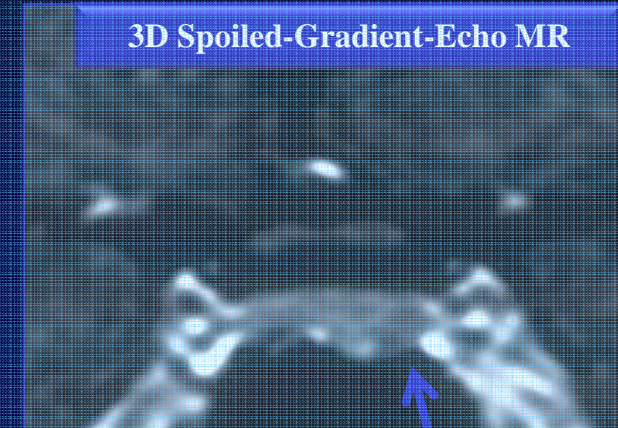
ADENOMI ACTH

SEQUENZE VOLUMETRICHE
HANNO MOSTRATO MAGGIORE
SENSIBILITÀ DIAGNOSTICA,
RICONOSCENDO ANCHE
ADENOMI DI SOLI 3 mm

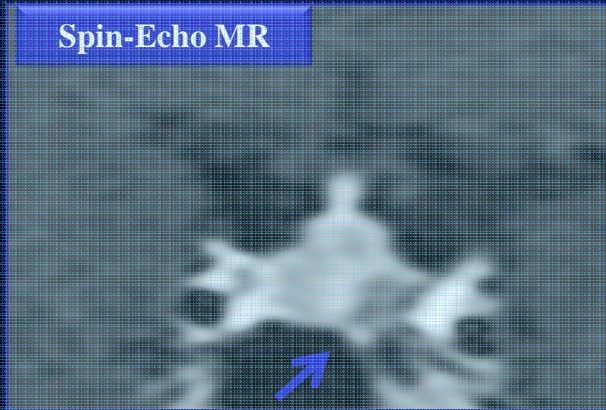
Spin-Echo MR



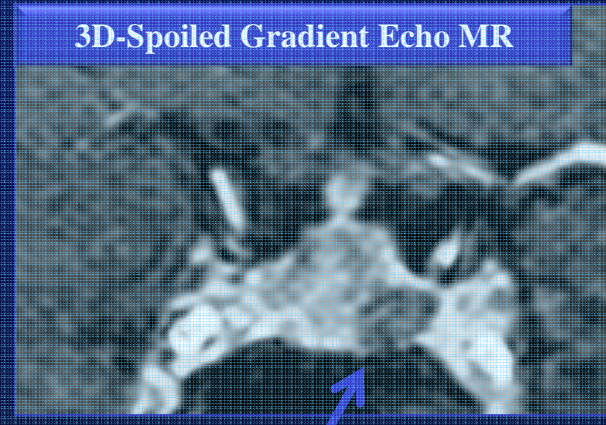
3D Spoiled-Gradient-Echo MR



Spin-Echo MR



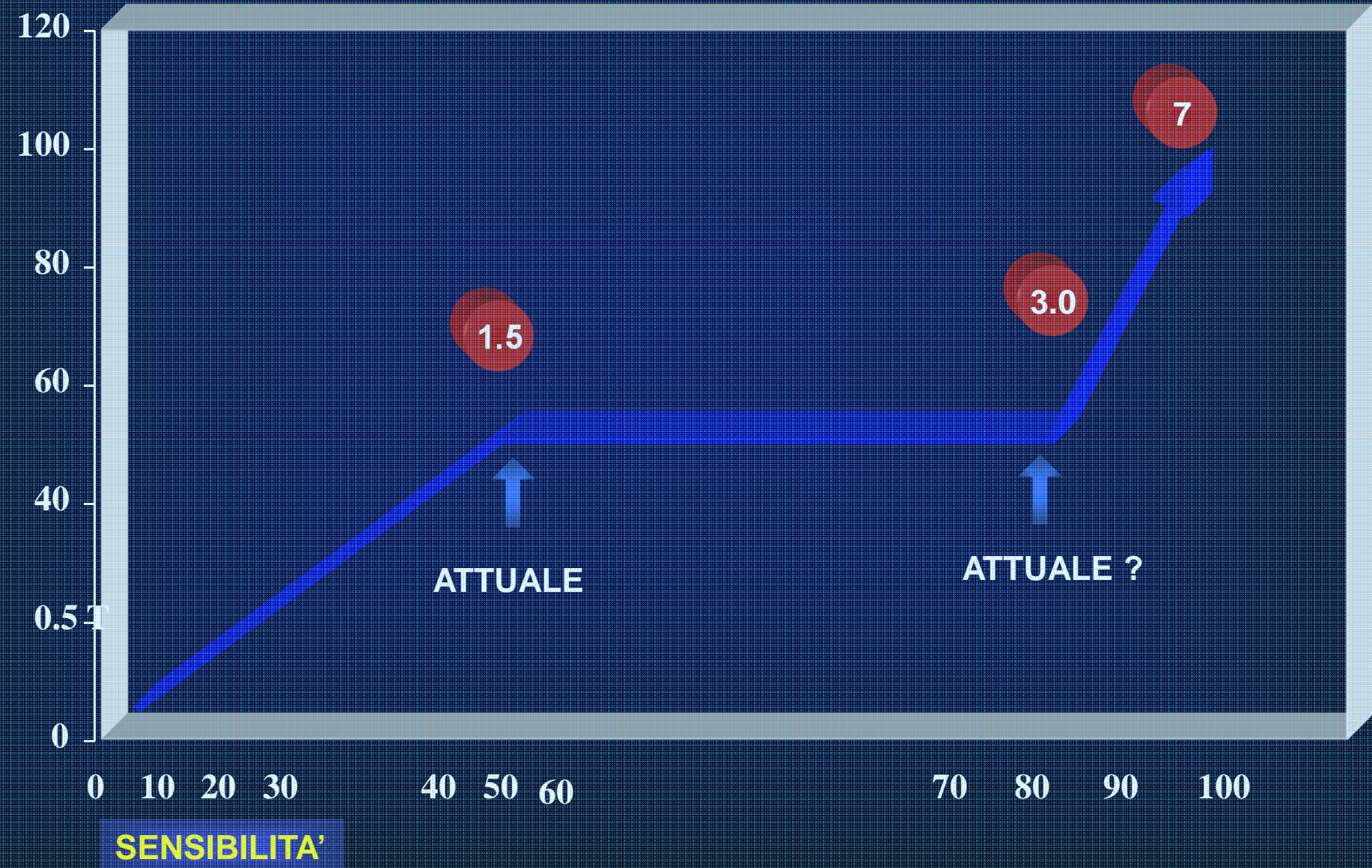
3D-Spoiled Gradient Echo MR



Kasaliwal R, et Al: *Volume interpolated 3D-spoiled gradient echo sequence is better than dynamic contrast spin echo sequence for MRI detection of corticotropin secreting pituitary microadenomas.* Clin Endocrinol (Oxf). doi: 10.1111/cen.12069. Epub 2013 Apr 6.

MICROADENOMA IPOFISARIO

CAMPO MAGNETICO



MICROADENOMA IPOFISARIO

ADENOMI ACTH



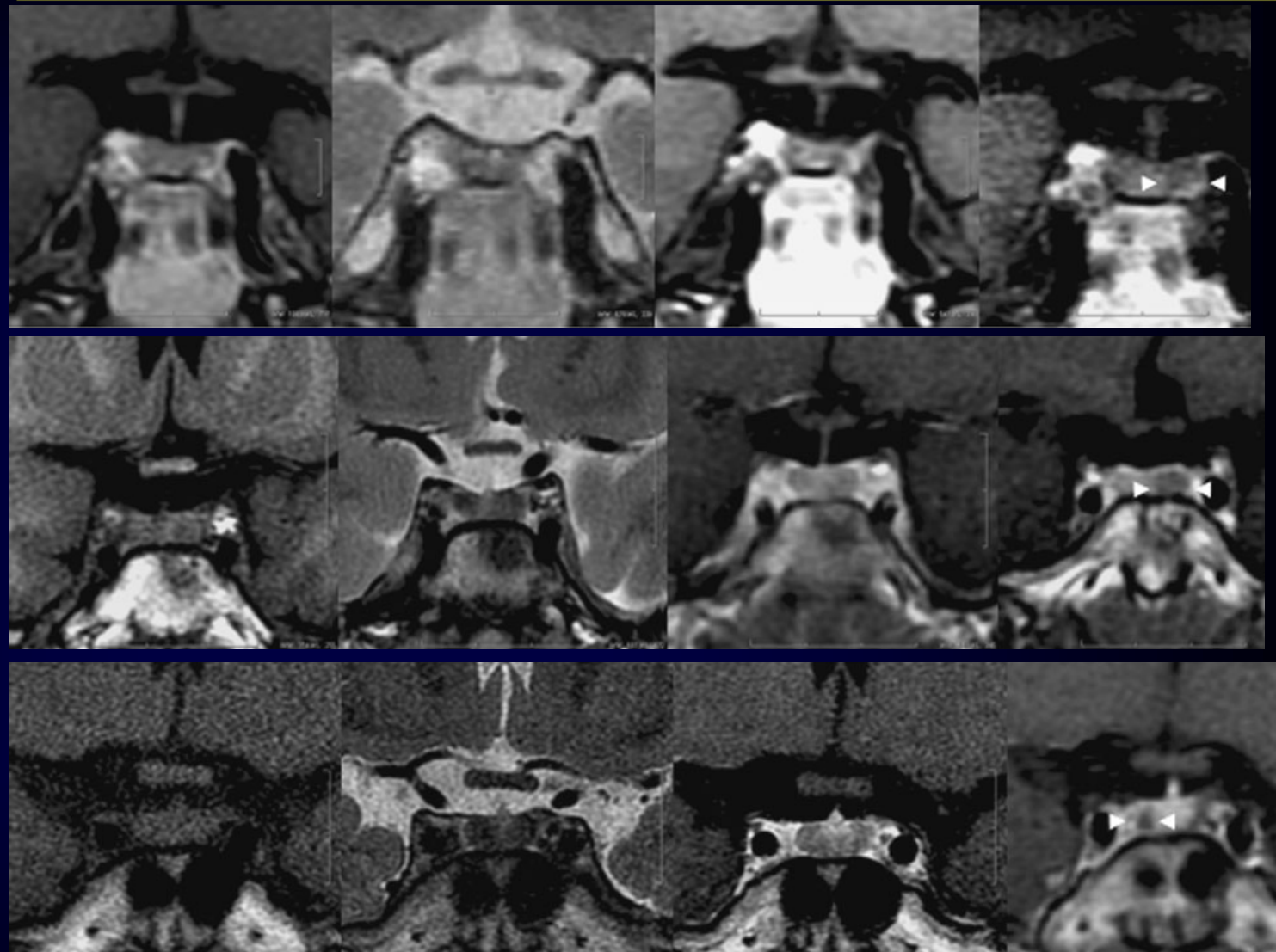
Sensibilità che aumenta anche oltre il limite di 3mm se eseguito ad alto campo (3T)

Ono, E., Ozawa, A., et al: *Diagnostic usefulness of 3 tesla MRI of the brain for cushing disease in a child*. Clinical Pediatric Endocrinology (2011). 20 (4) , pp. 89-93.

MICROADENOMA IPOFISARIO

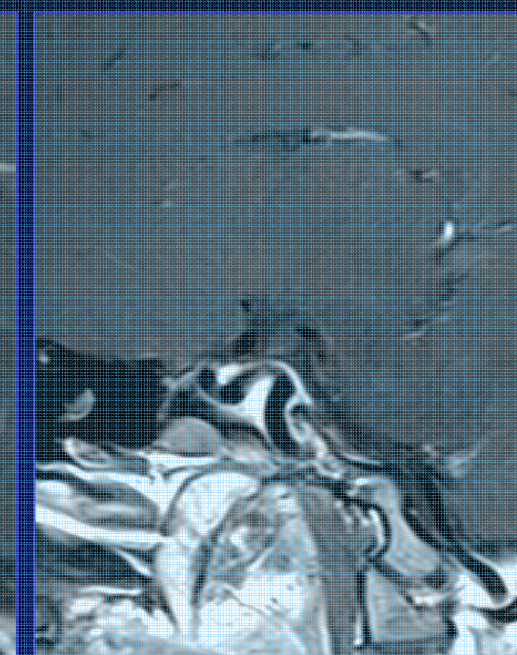
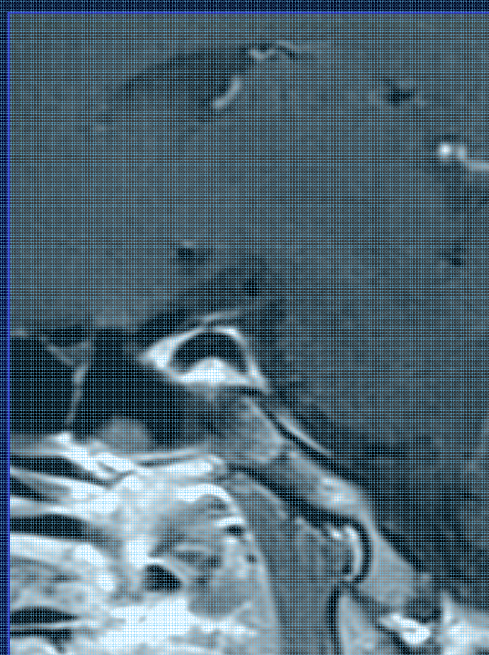
- ✓ Campo magnetico elevato
- ✓ TR , TE e FOV
- ✓ Dose gadolinio

SENSIBILITA' 100 %

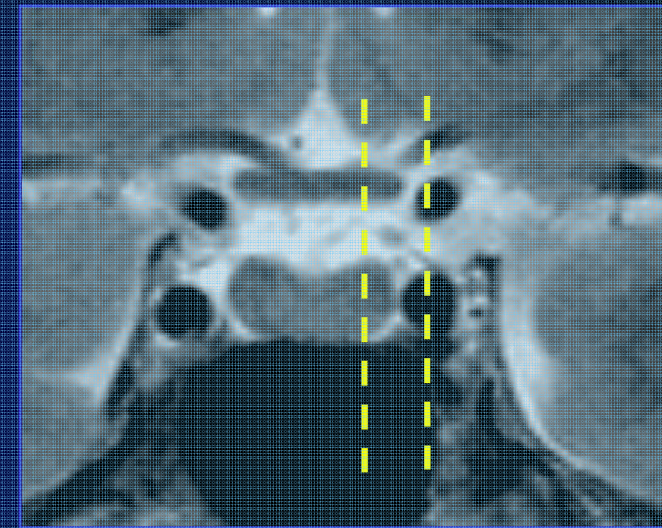


*Lesly Portocarrero-Ortiz et al: A modified protocol using half-dose gadolinium in dynamic 3-Tesla magnetic resonance imaging for detection of ACTH-secreting pituitary tumors
Pituitary (2010) 13:230–235*

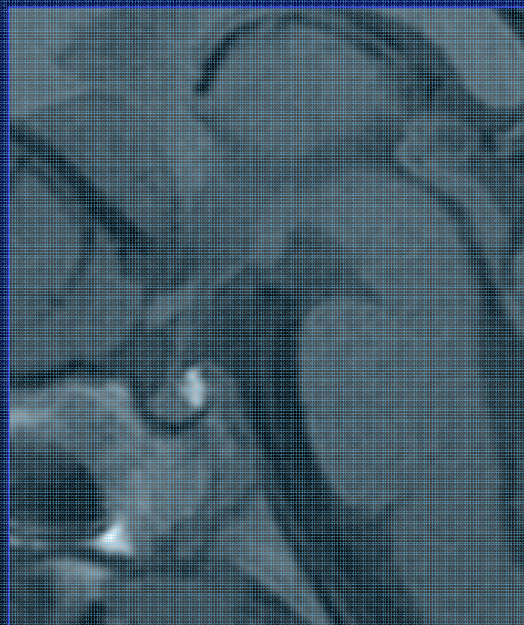
DIAGNOSI DIFFERENZIALE



FALSI POSITIVI



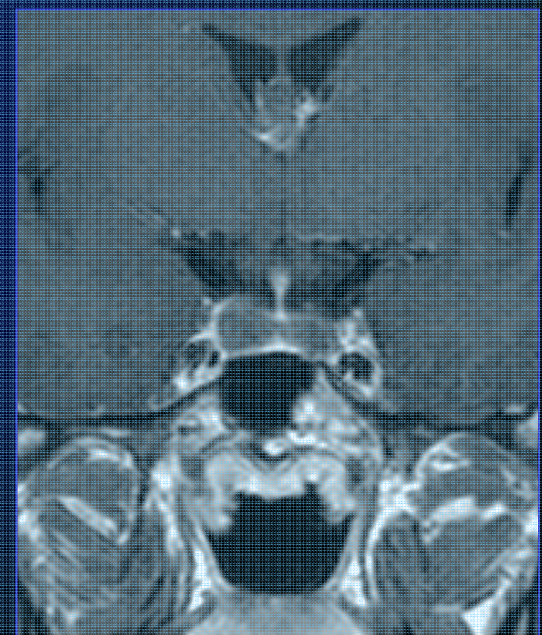
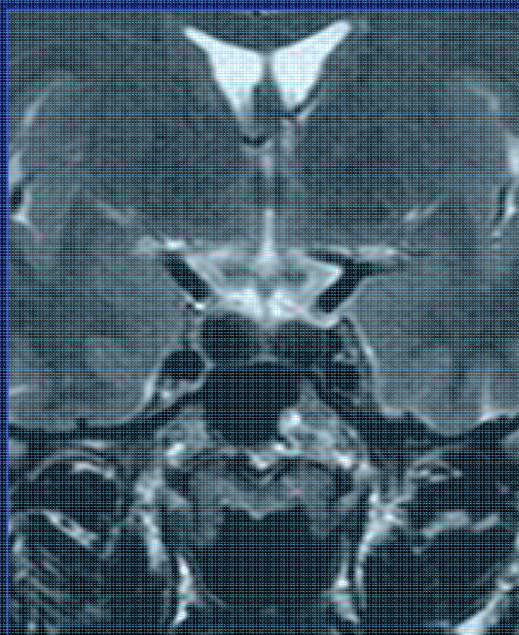
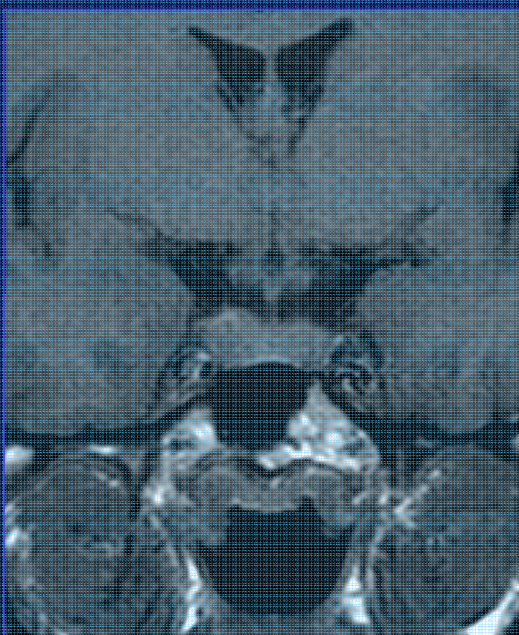
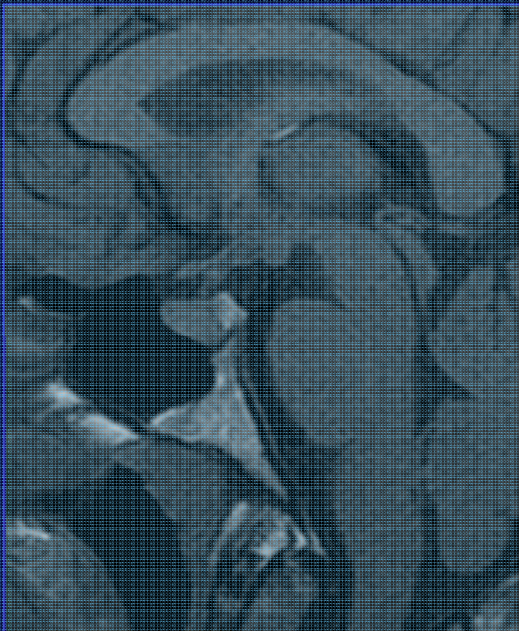
CISTI DELLA
PARS INTERMEDIA



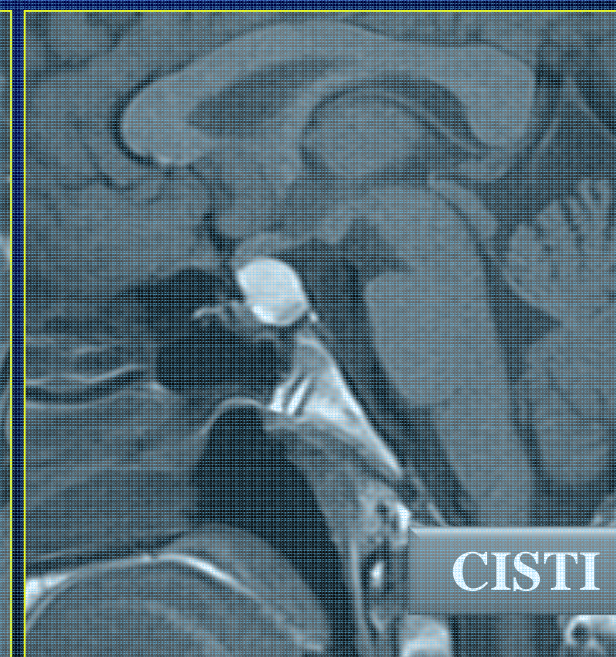
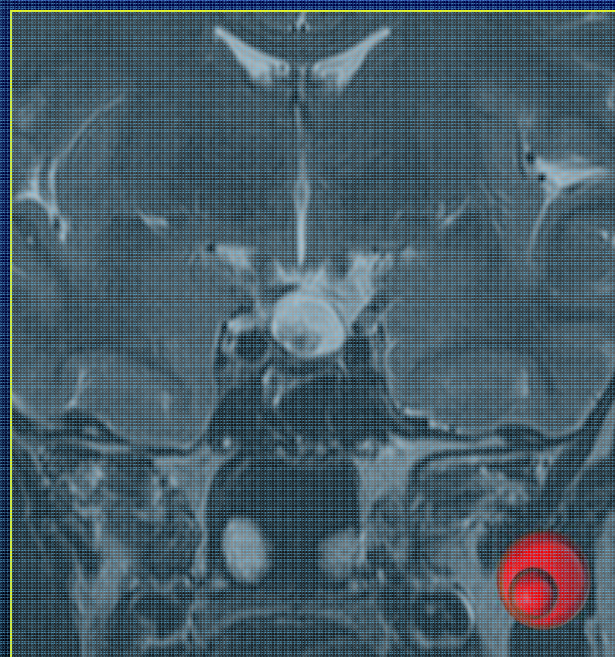
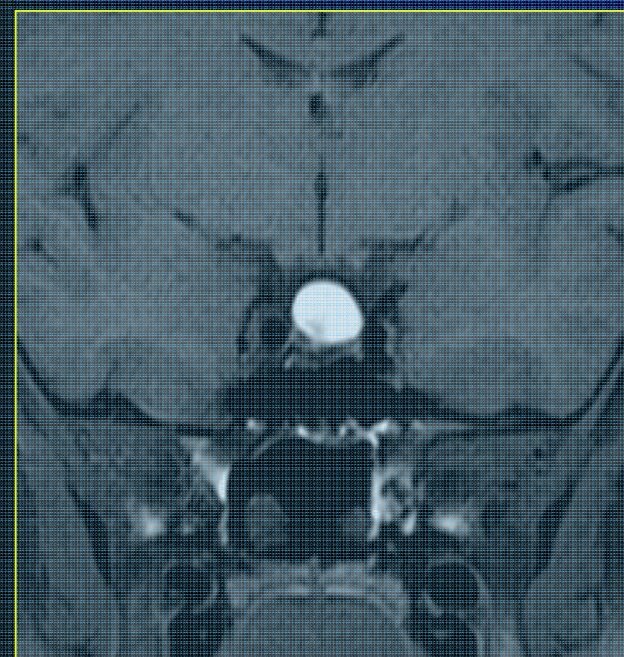
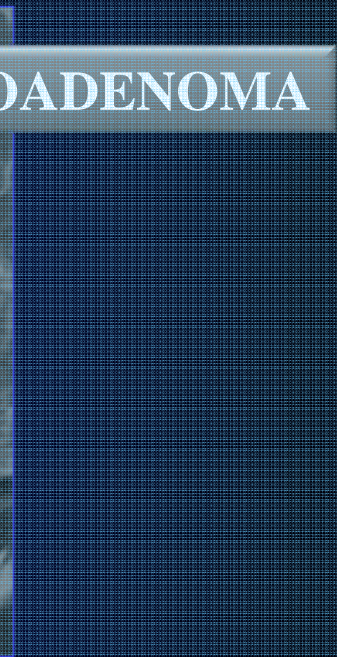
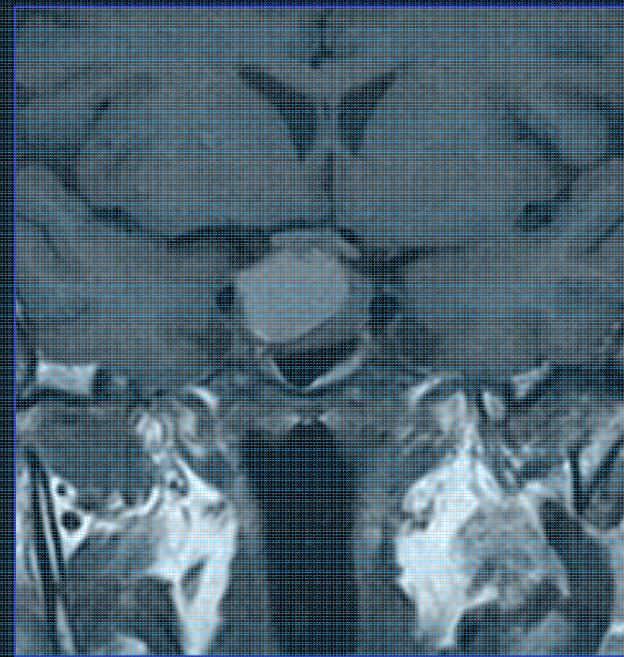
DIAGNOSI DIFFERENZIALE

CISTI DELLA TASCA DI RATHKE

- ✓ sede
- ✓ segnale
- ✓ impregnazione (-)

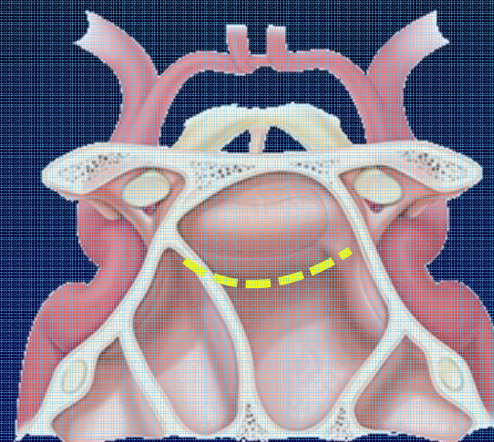
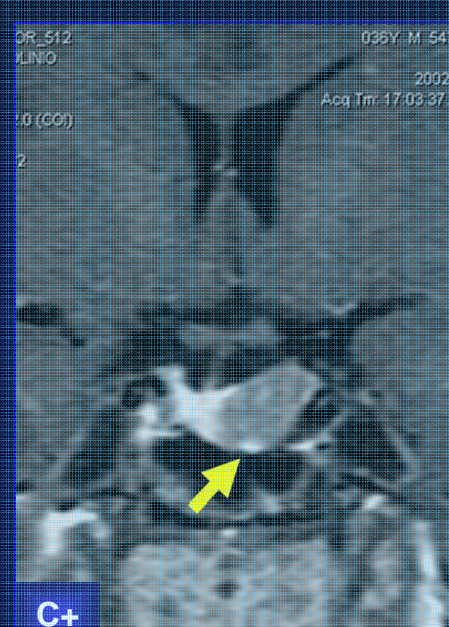
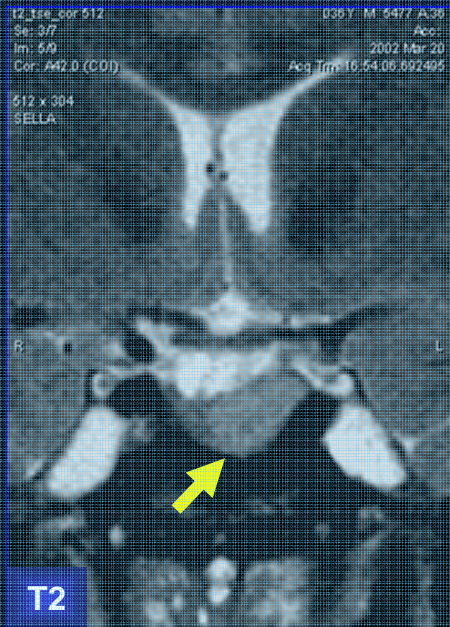


MACROADENOMA IPOFISARIO: diagnosi differenziale

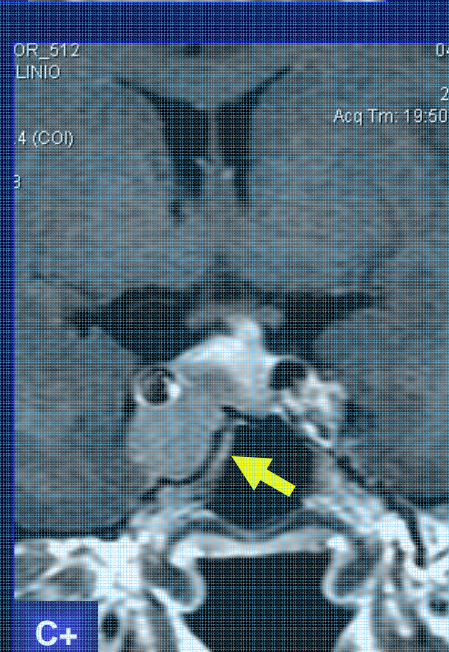
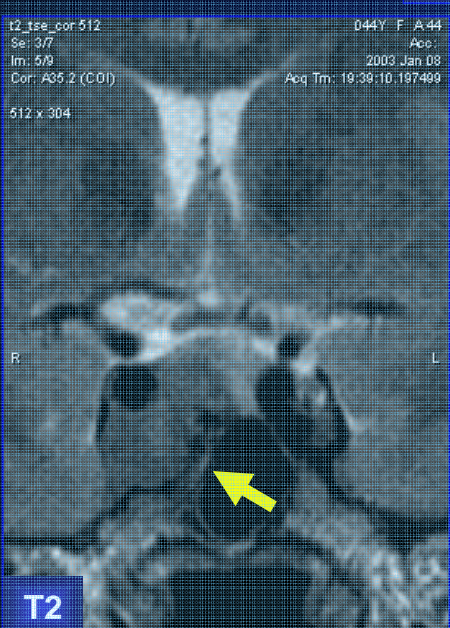


CISTI DI RATHKE

MACROADENOMA IPOFISARIO: bilancio spaziale

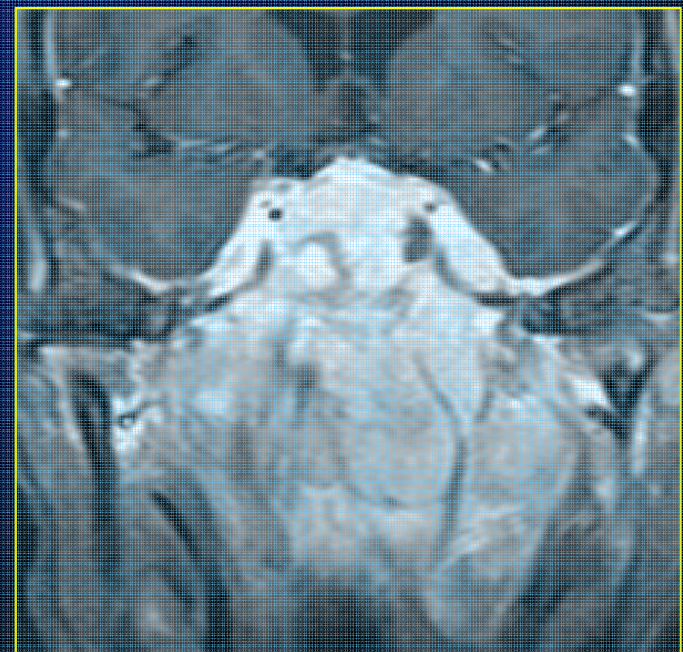
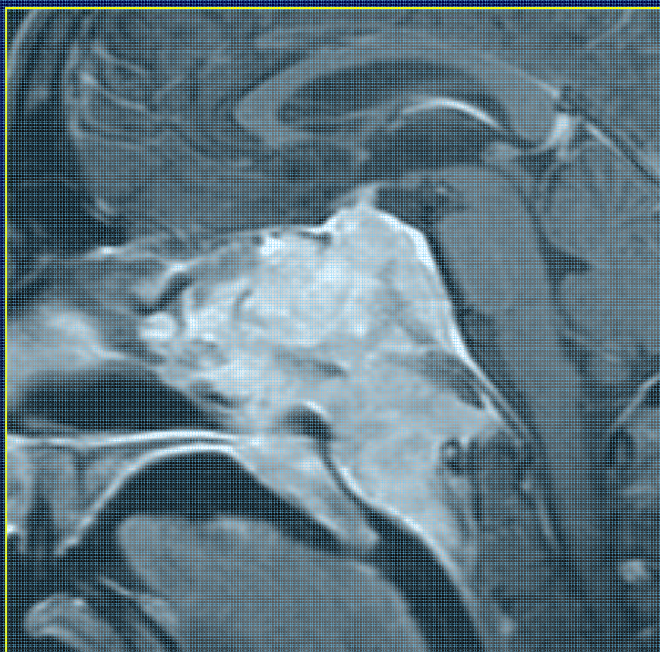
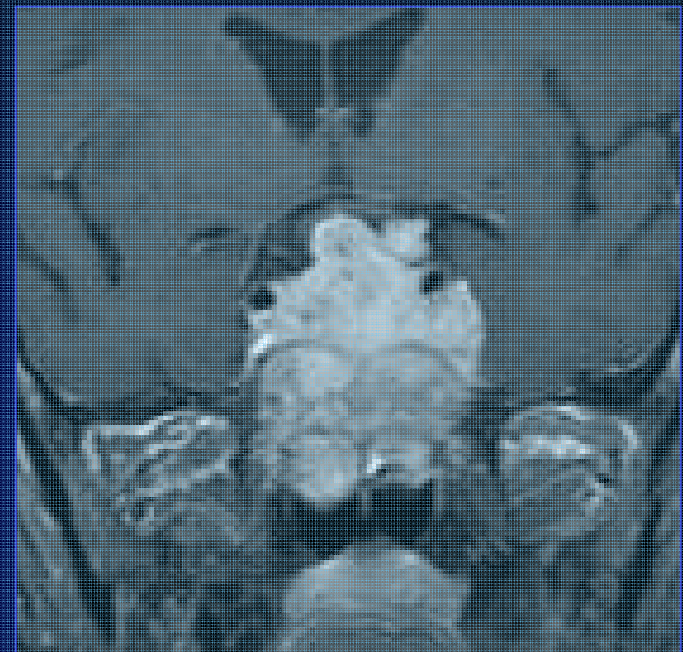
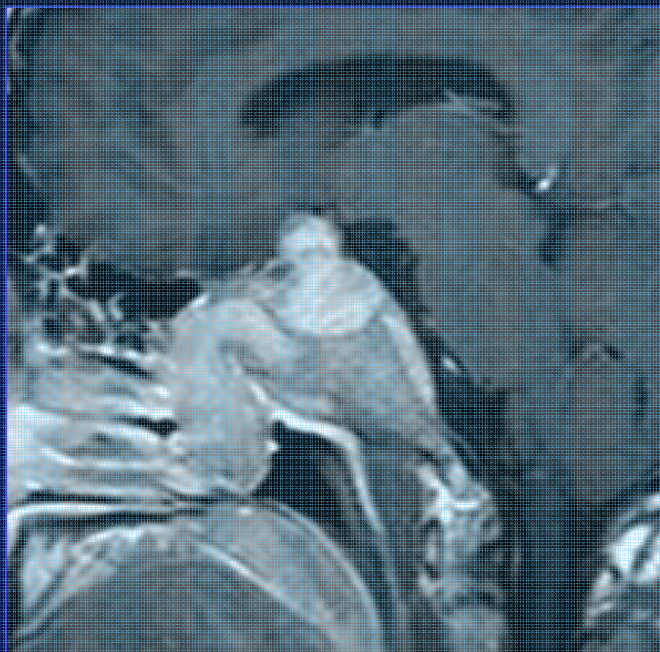


RAPPORTI CON IL
SENO SFENOIDALE



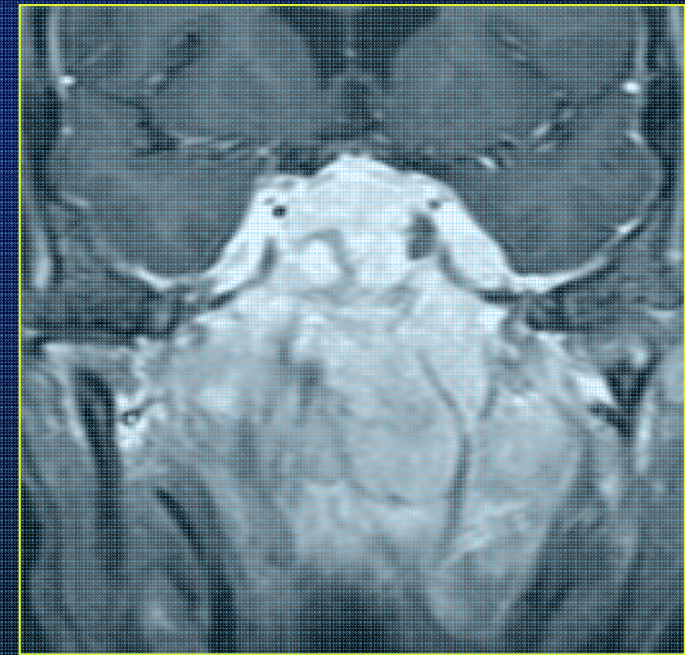
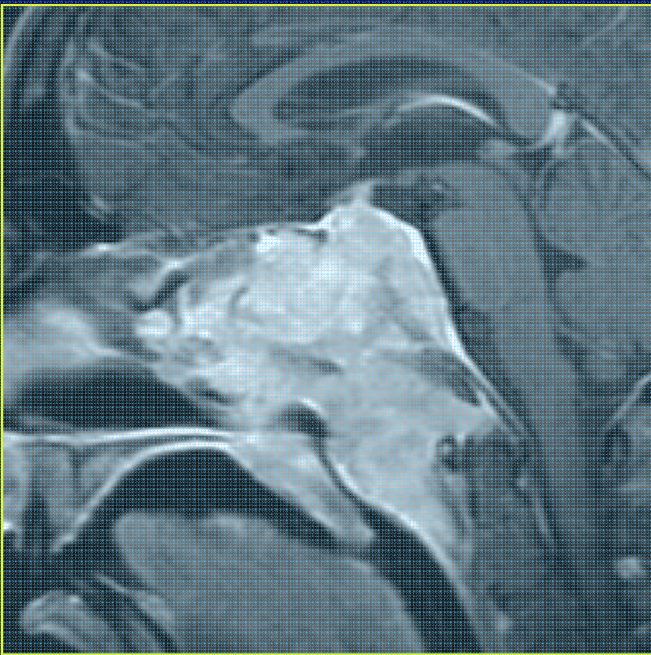
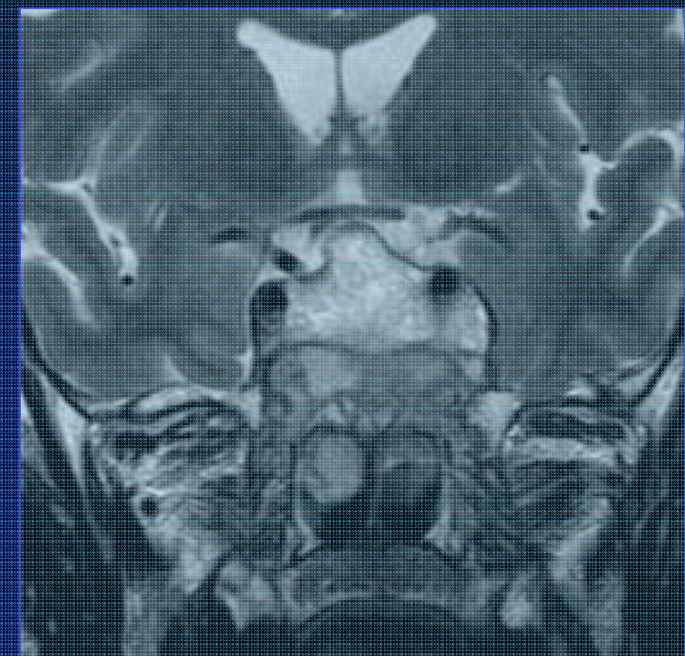
Hagiwara A, Inoue Y, et Al: *Comparison of GH- and non-GH-producing pituitary adenomas: imaging characteristics and pathologic correlation.* Radiology 228: 533-538, 2003.

MACROADENOMA IPOFISARIO: diagnosi differenziale



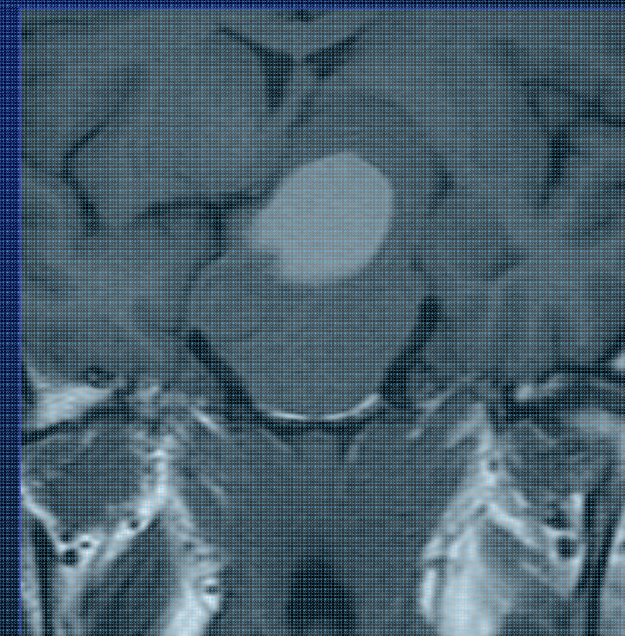
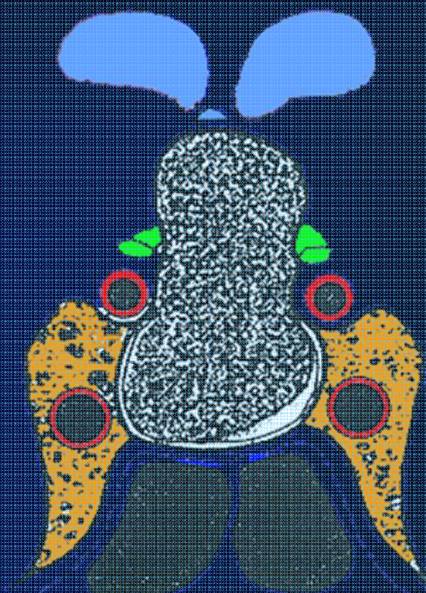
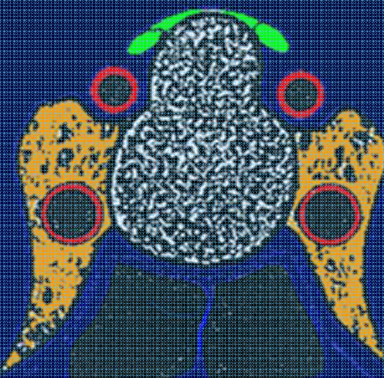
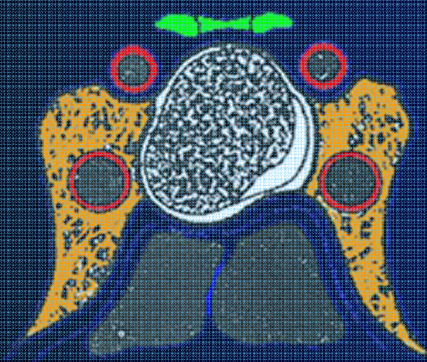
MACROADENOMA IPOFISARIO: diagnosi differenziale

MACROADENOMA DEL BASICRANIO



MACROADENOMA IPOFISARIO: bilancio spaziale

RAPPORTI CON IL CHIASMA



MACROADENOMA IPOFISARIO: controllo dopo terapia



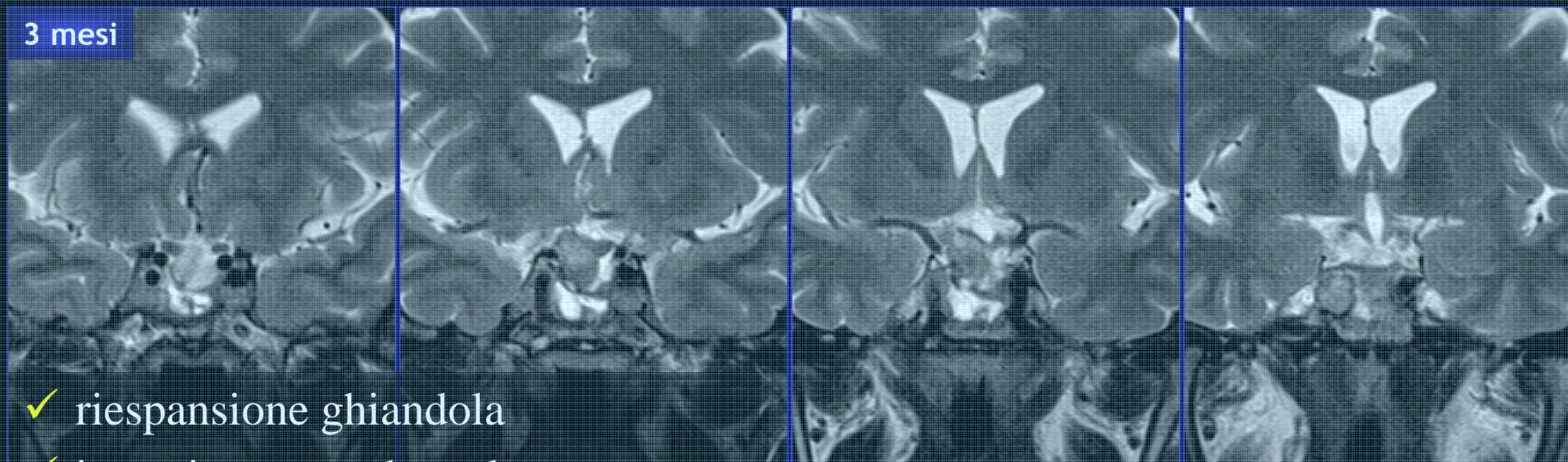
*“the goal of macroadenoma surgery is **chiasmic decompression...**”*

Arita K et al: *Natural course of incidentally found nonfunctioning pituitary adenoma.* J Neurosurg 104: 884-891, 2006

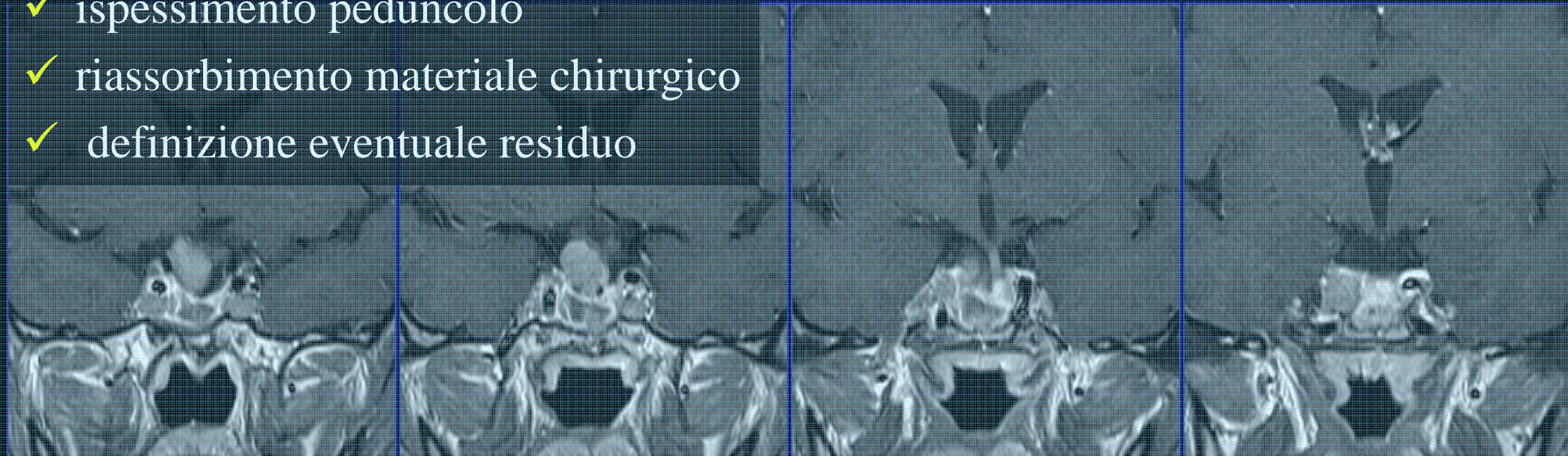


MACROADENOMA IPOFISARIO: controllo dopo terapia

3 mesi

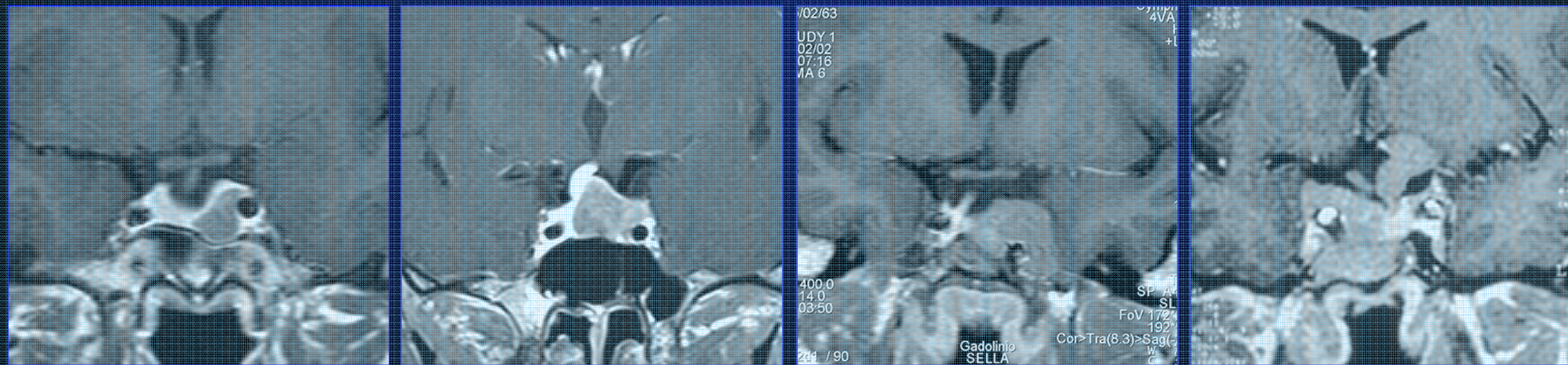
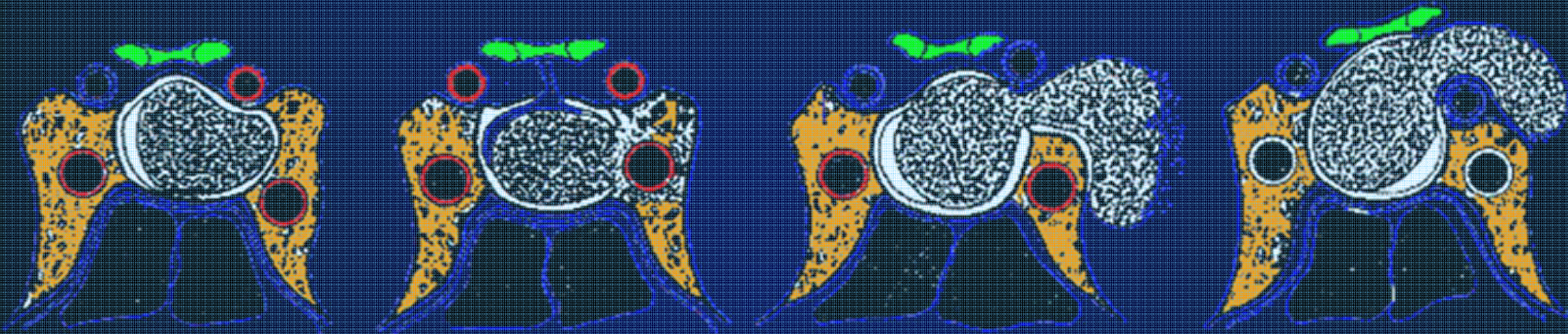


- ✓ riespansione ghiandola
- ✓ ispessimento peduncolo
- ✓ riassorbimento materiale chirurgico
- ✓ definizione eventuale residuo

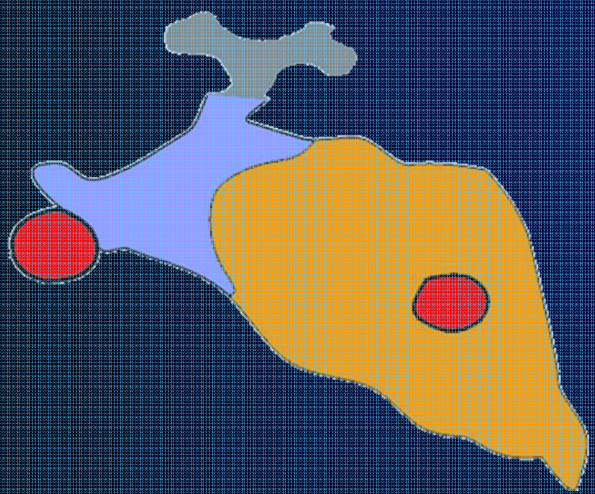
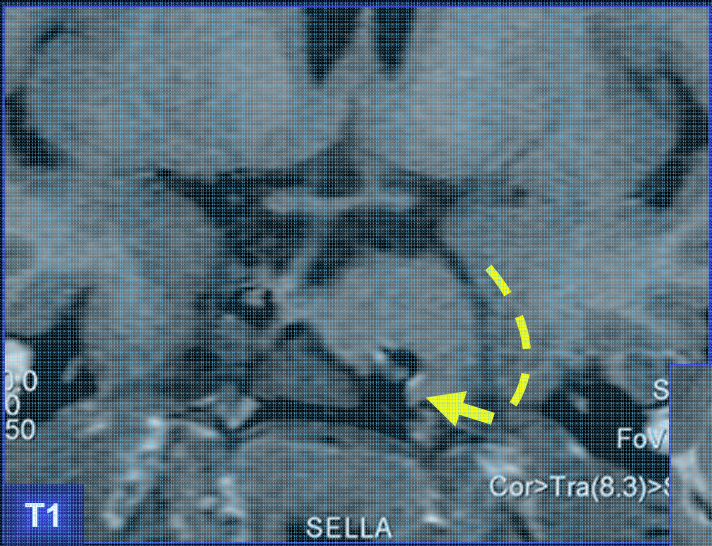


MACROADENOMA IPOFISARIO: bilancio spaziale

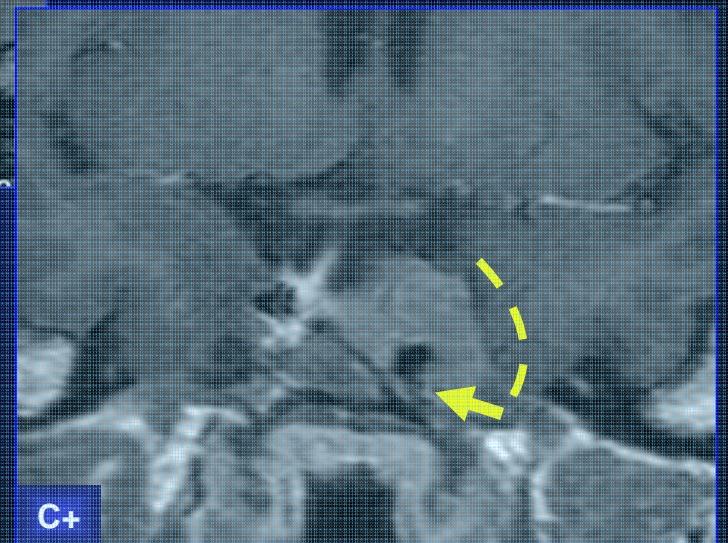
RAPPORTI CON IL SENO CAVERNOSO



MACROADENOMA IPOFISARIO: bilancio spaziale



RAPPORTI CON IL SENO CAVERNOSO

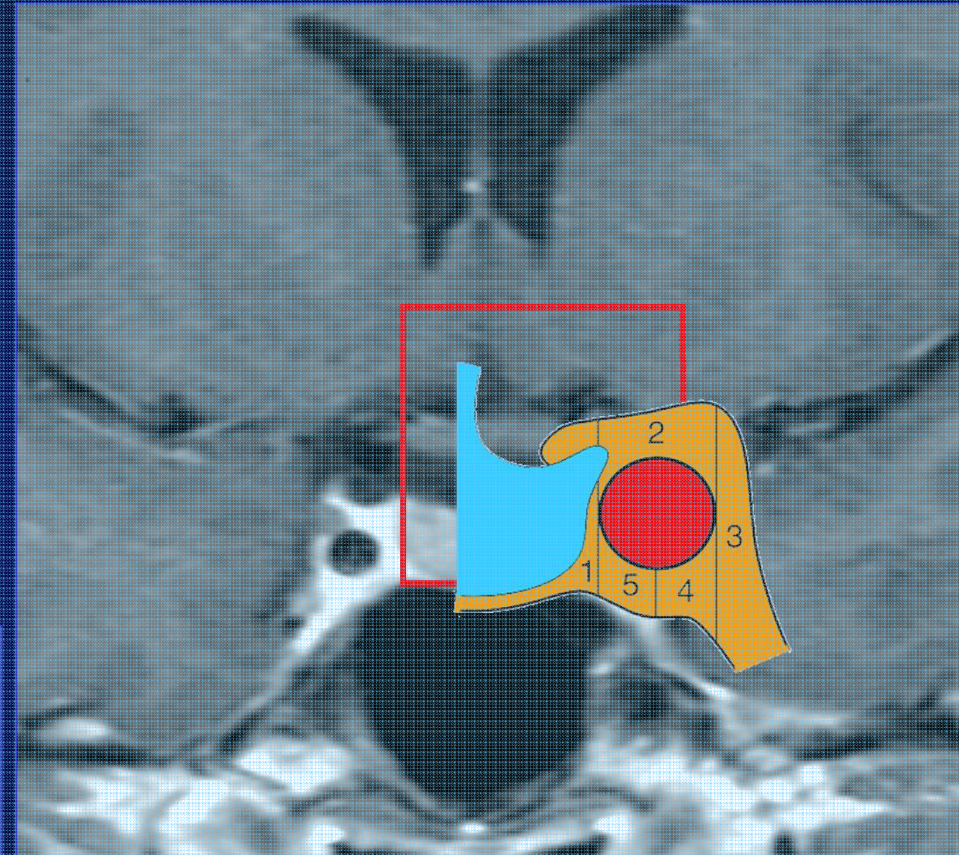
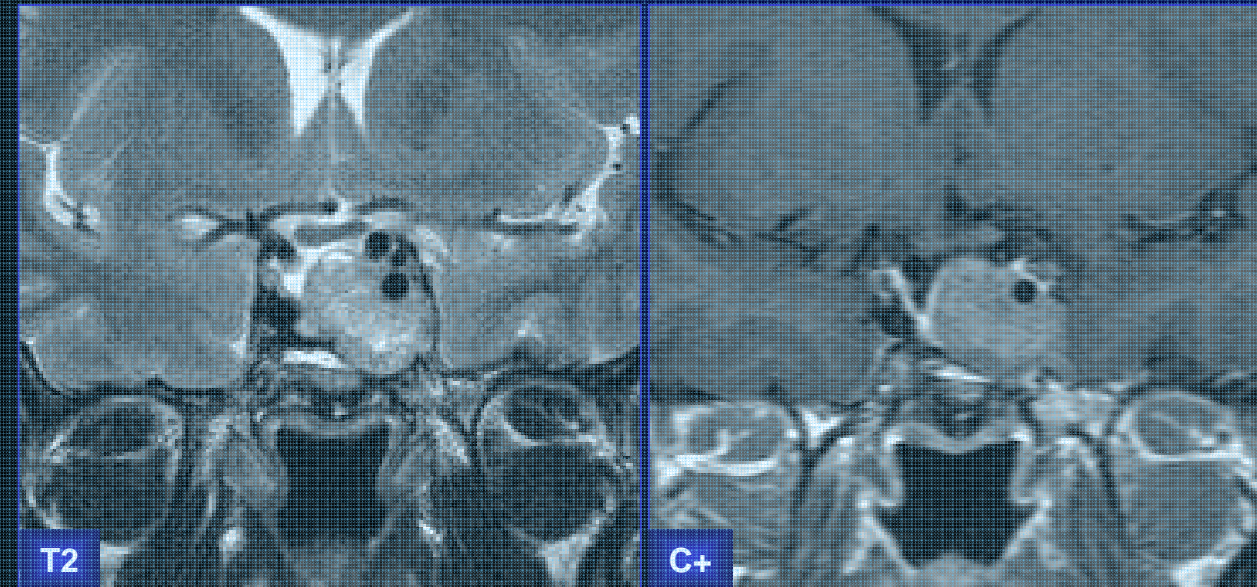


Cottier JP, Destrieux C, et Al:
Cavernous sinus invasion by pituitary adenoma: MR Imaging.
Radiology 215: 463-469, 2000.

MACROADENOMA IPOFISARIO: bilancio spaziale

RAPPORTI CON IL SENO CAVERNOSO

- ✓ **mediale**
- ✓ **superiore**
- ✓ **laterale**
- ✓ **infero-laterale**
- ✓ **solco carotideo**



Cottier JP, Destrieux C, et Al: *Cavernous sinus invasion by pituitary adenoma: MR Imaging*.
Radiology 215: 463-469, 2000.

MACROADENOMA IPOFISARIO: controllo dopo terapia

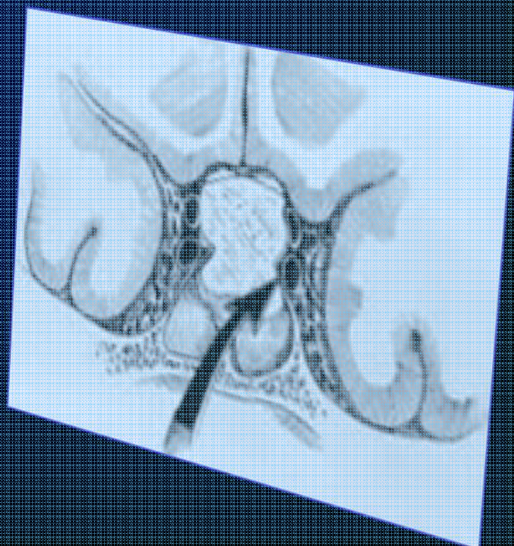


**Recidiva di
macroadenoma
intra e para-
sellare GH-
secernente**

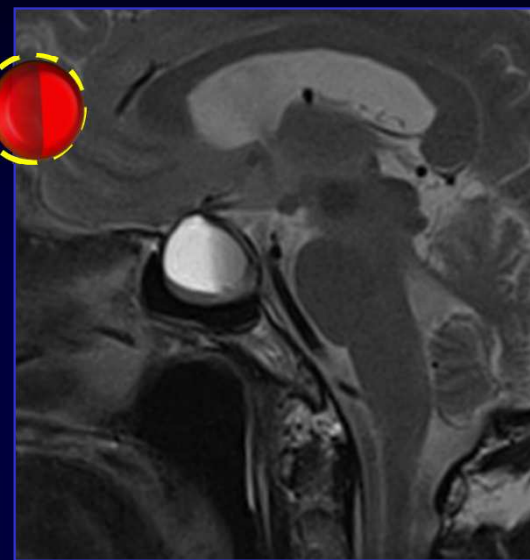
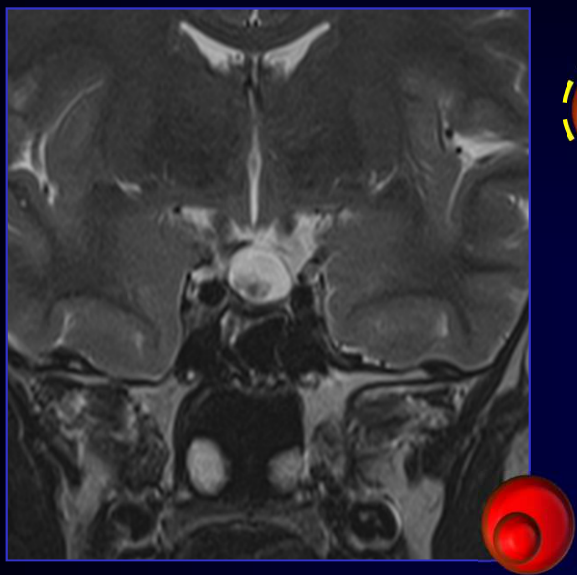


**Profuso sanguinamento
intraoperatorio con
formazione di
pseudoaneurisma**

**Controllo intraoperatorio
temporaneo attraverso
tamponamento endosellare**



MALATTIA DI CUSHING



SENSIBILITA' 100 %

1.5 T > 3 T

**DOSAGGIO
GADOLINIO**

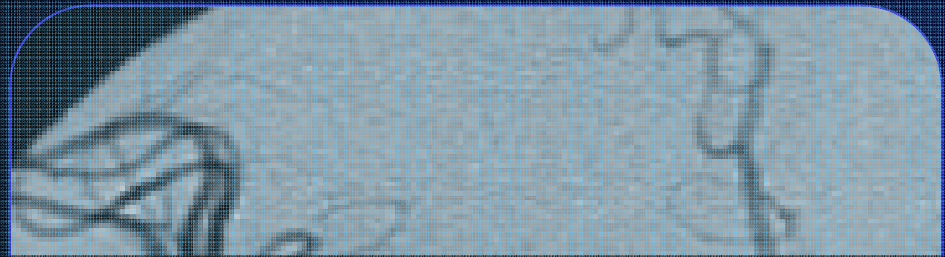
**SEQUENZE:
DINAMICHE
SPIN-ECHO,
SPGR o VI-SGE**

TECNICA

STRUTTURA

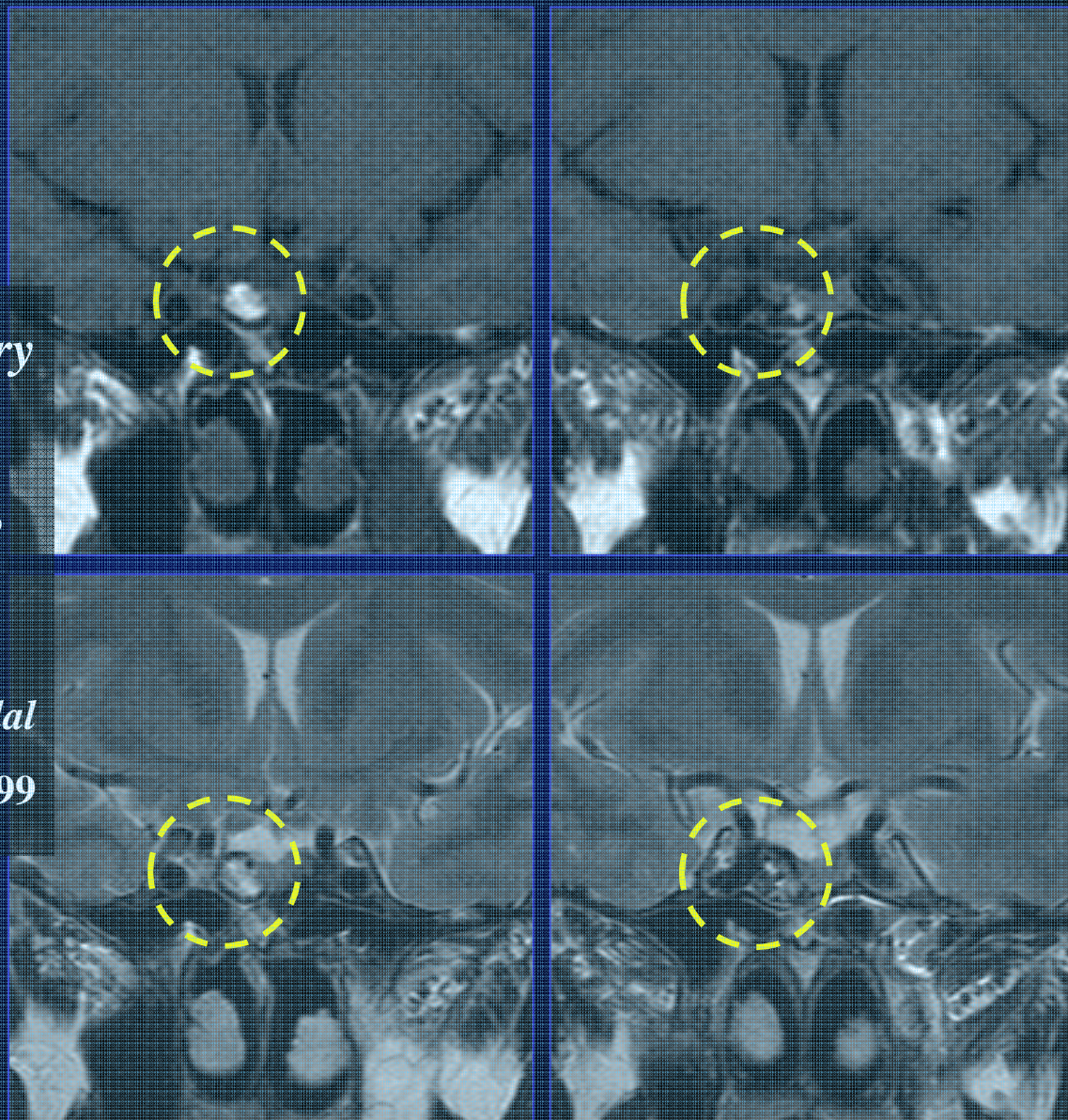


MACROADENOMA IPOFISARIO: controllo dopo terapia

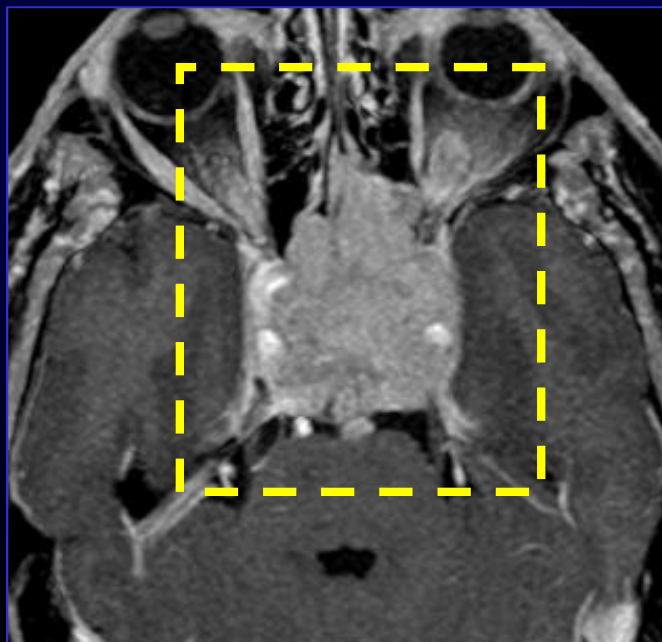
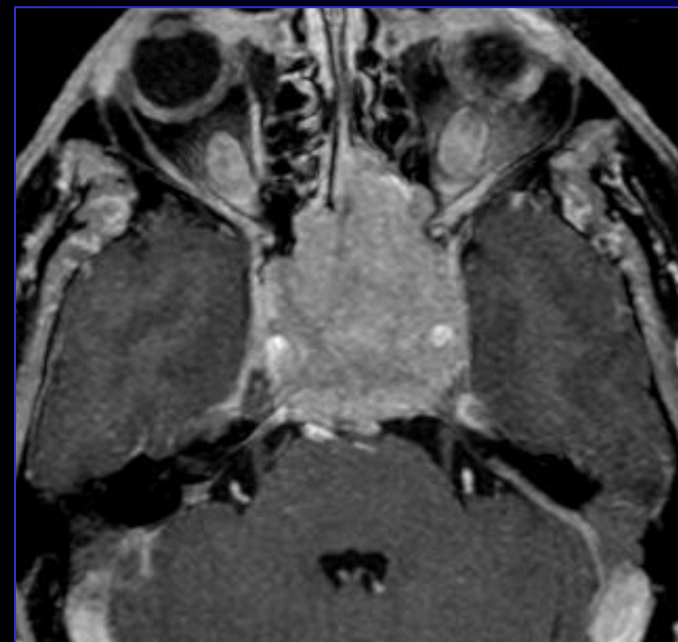
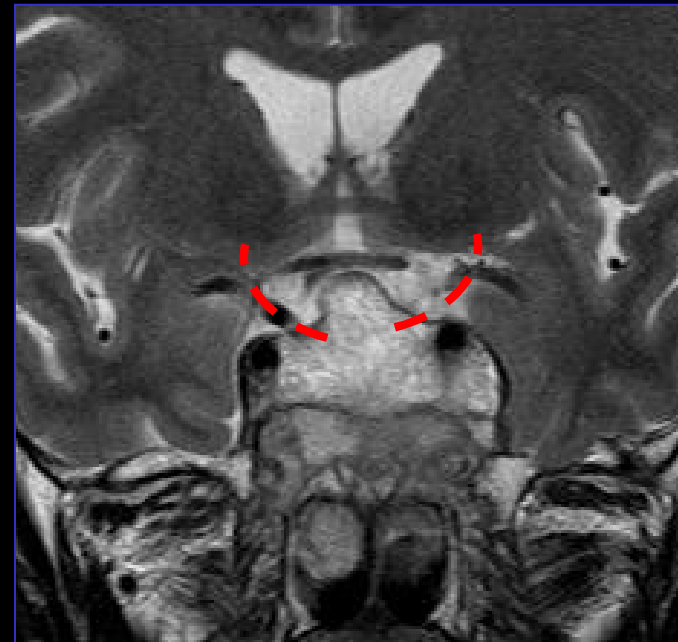


*“virtually every direct injury to a carotid artery
that is indirectly repaired during surgery
results in a subsequent false aneurysm...”*

Laws ER: *Vascular complications of transsphenoidal surgery*. Pituitary 2: 163-170, 1999



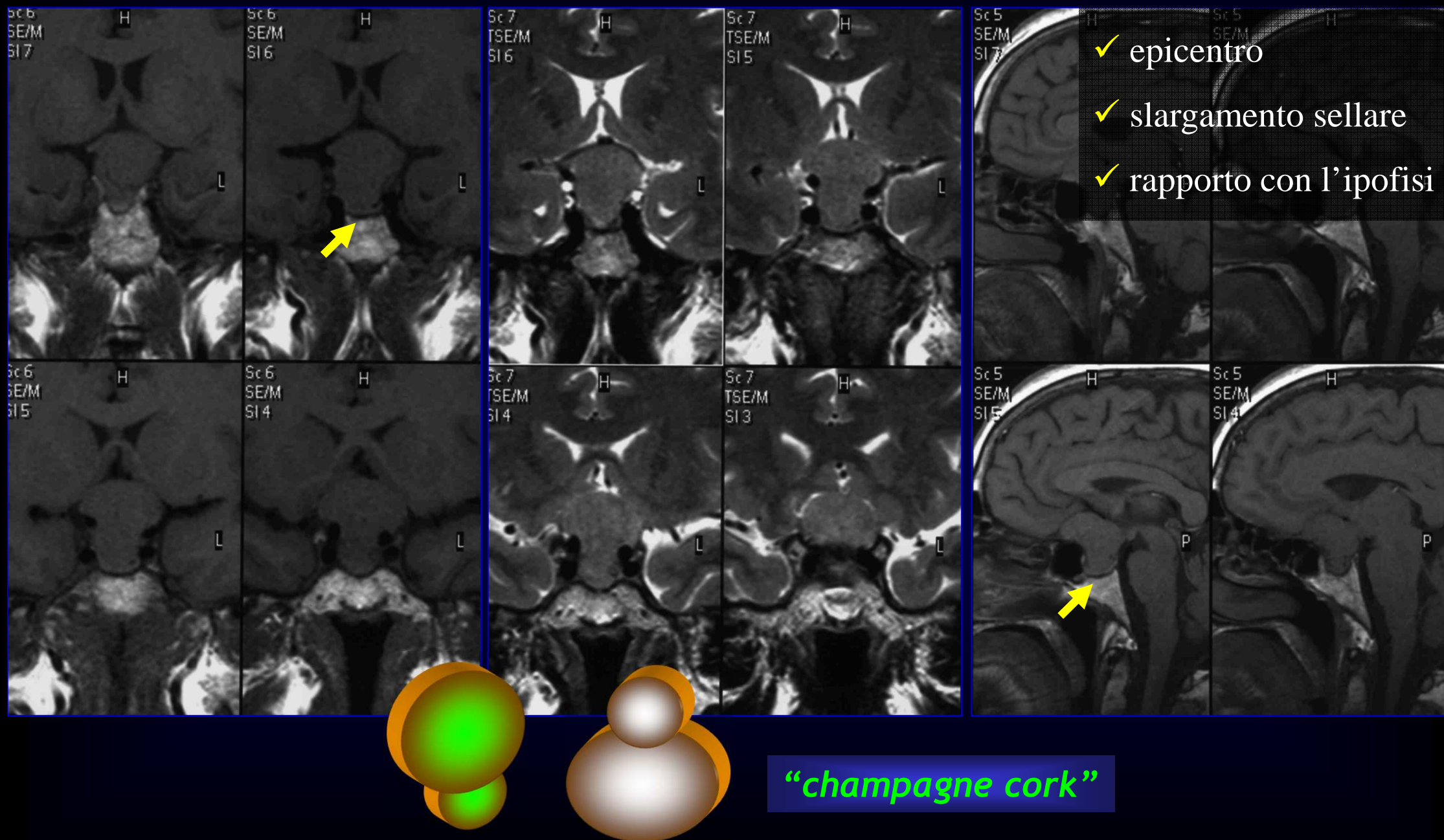
MACROADENOMA IPOFISARIO



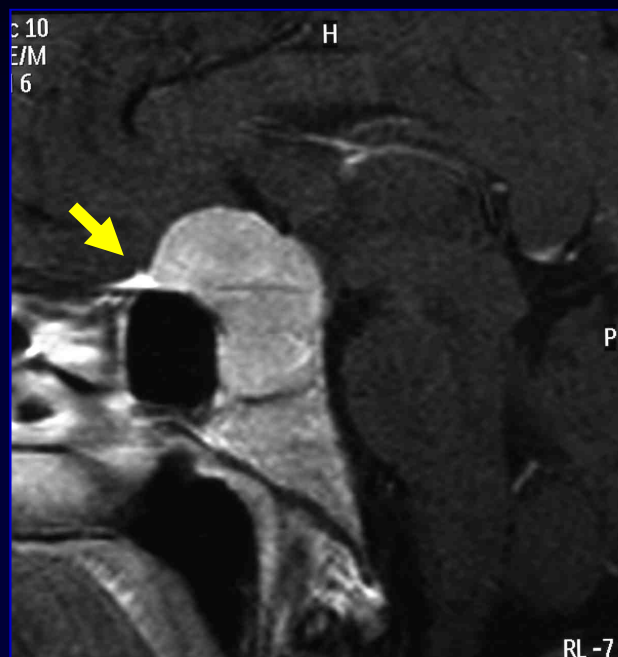
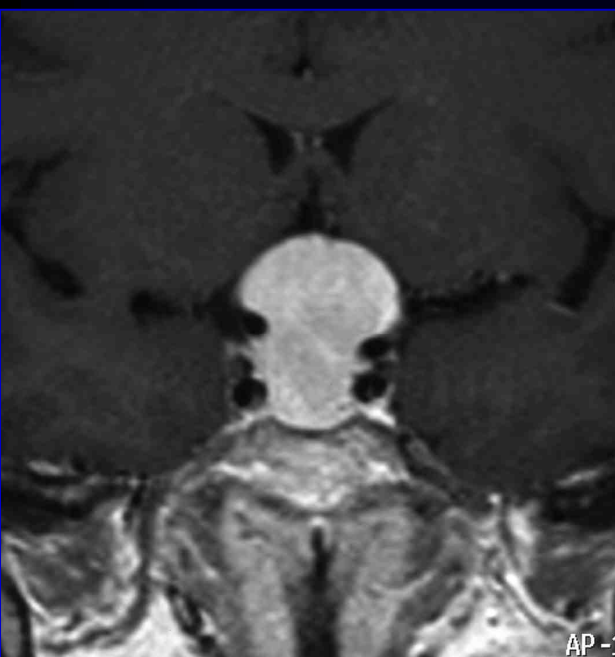
- ✓ DIAGNOSI DIFFERENZIALE
- ✓ DEFINIZIONE STRUTTURA
- ✓ BILANCIO SPAZIALE
- ✓ CONTROLLO DOPO TERAPIA



1) MACROADENOMA IPOFISARIO: diagnosi differenziale



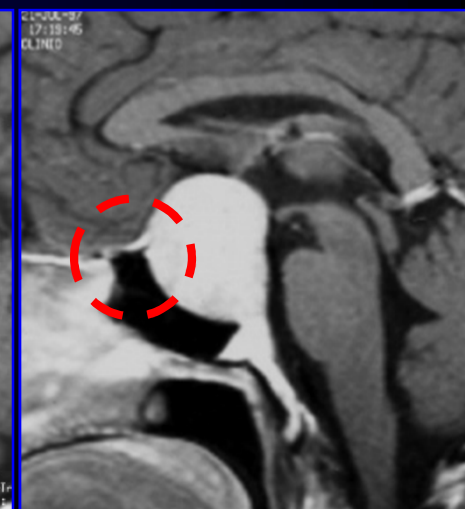
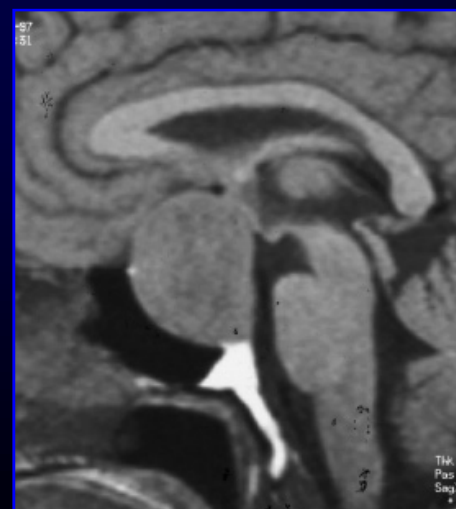
1) MACROADENOMA IPOFISARIO: diagnosi differenziale



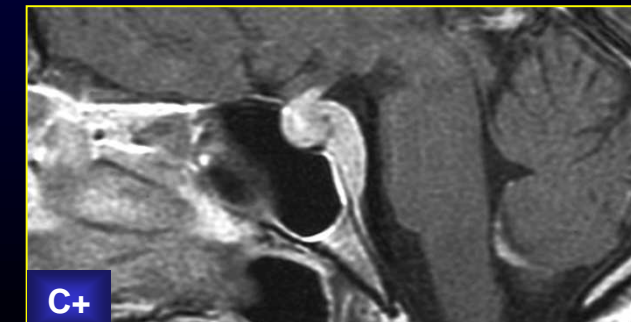
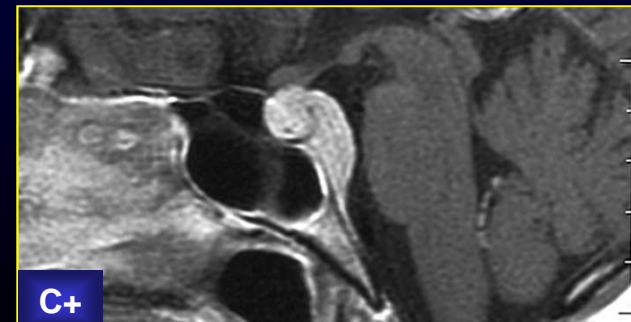
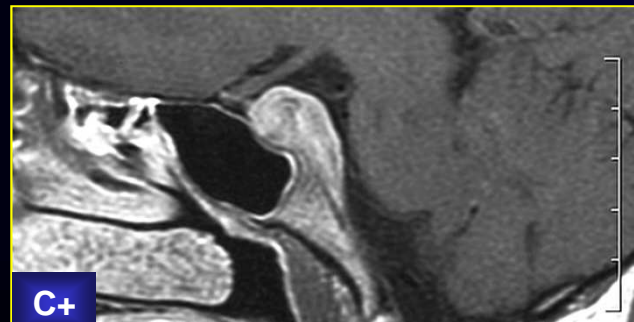
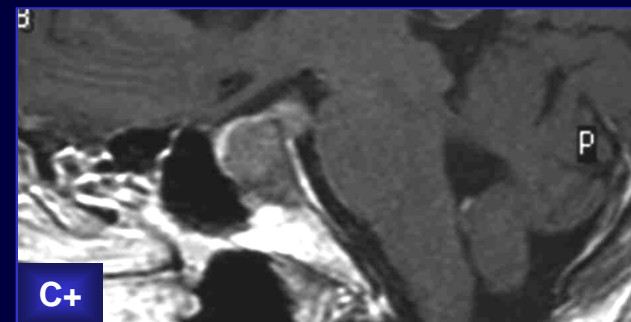
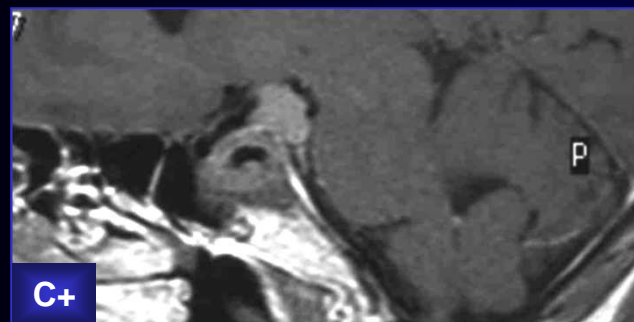
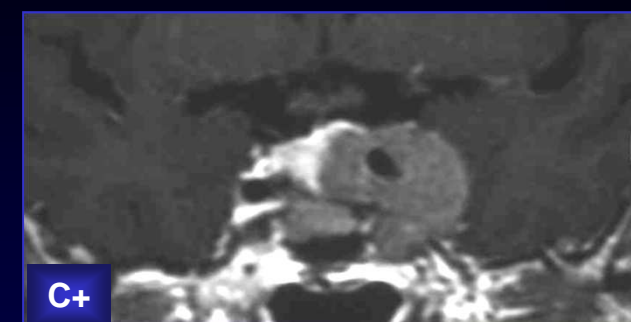
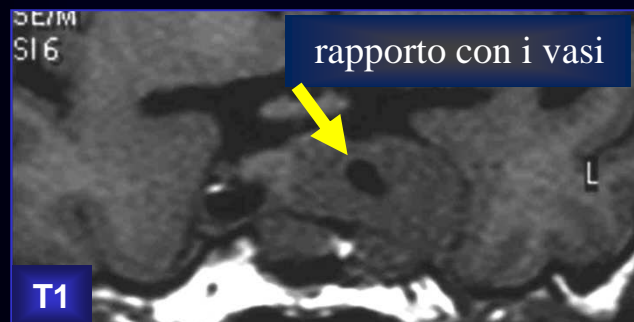
MENINGIOMA



MACROADENOMA

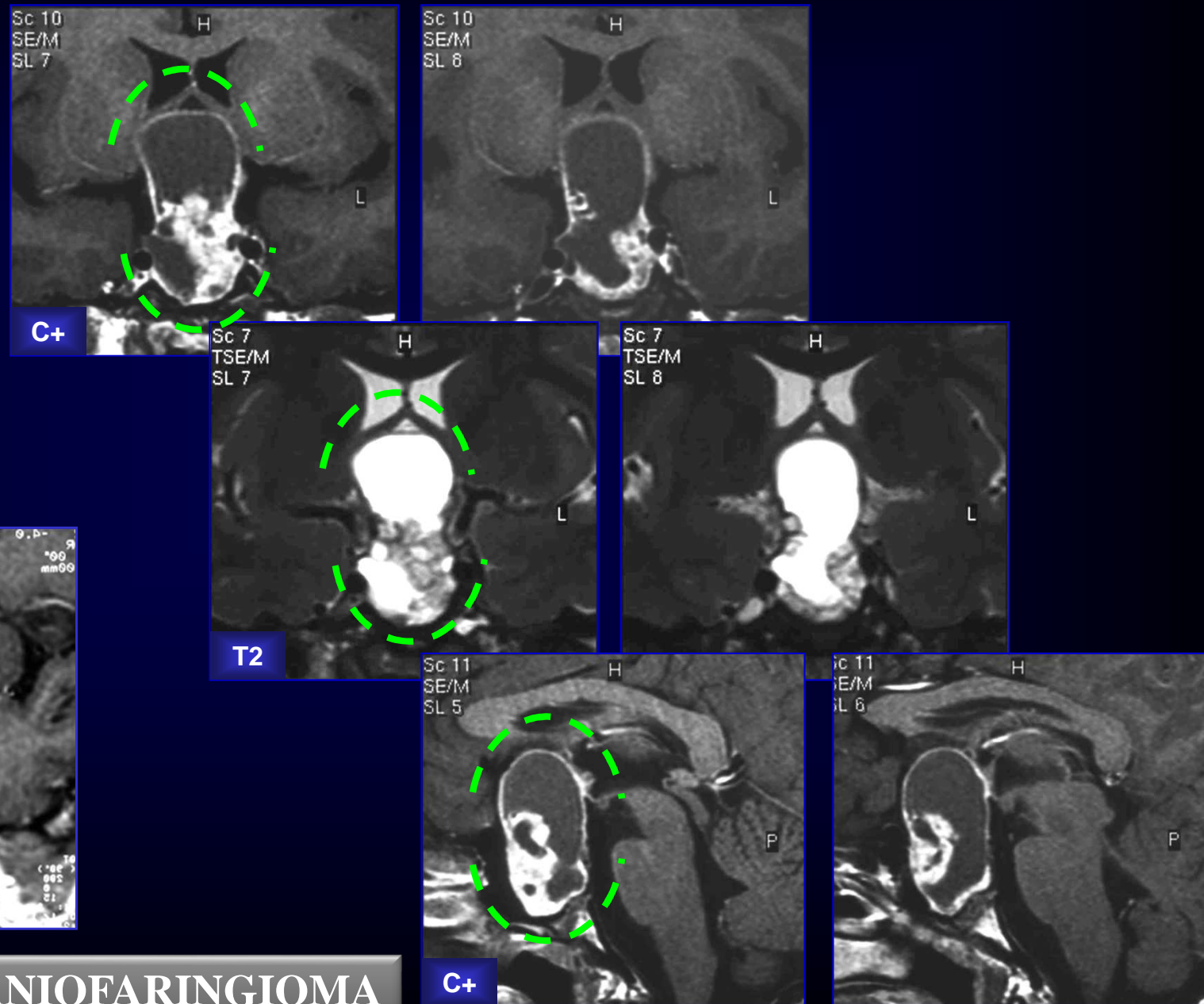
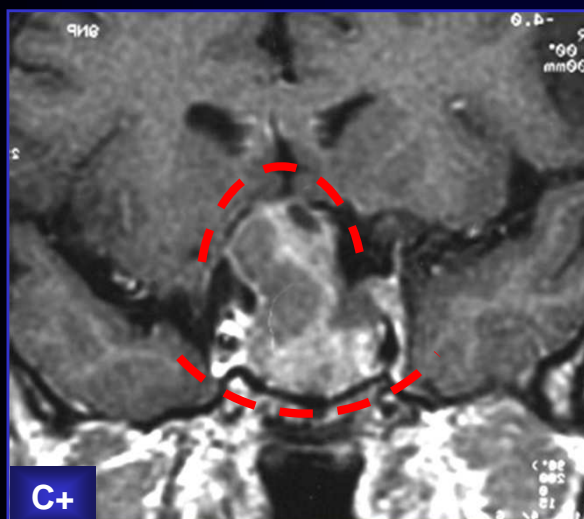


1) MACROADENOMA IPOFISARIO: diagnosi differenziale



1) MACROADENOMA IPOFISARIO: diagnosi differenziale

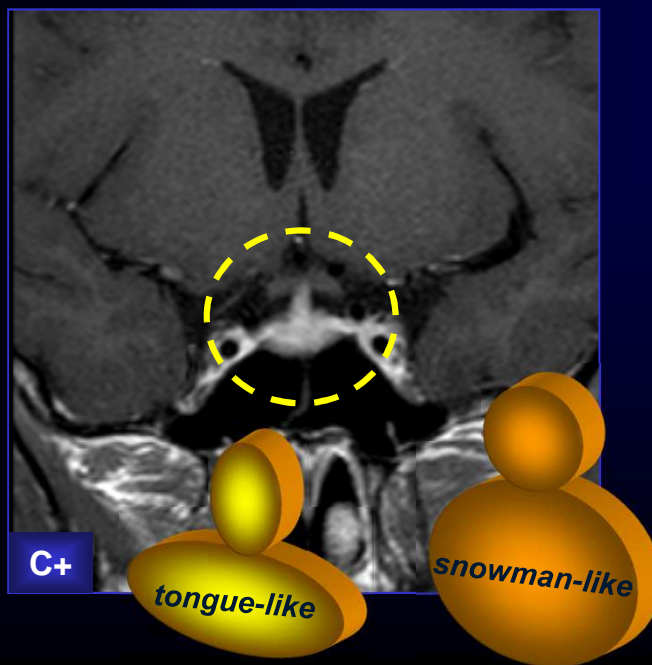
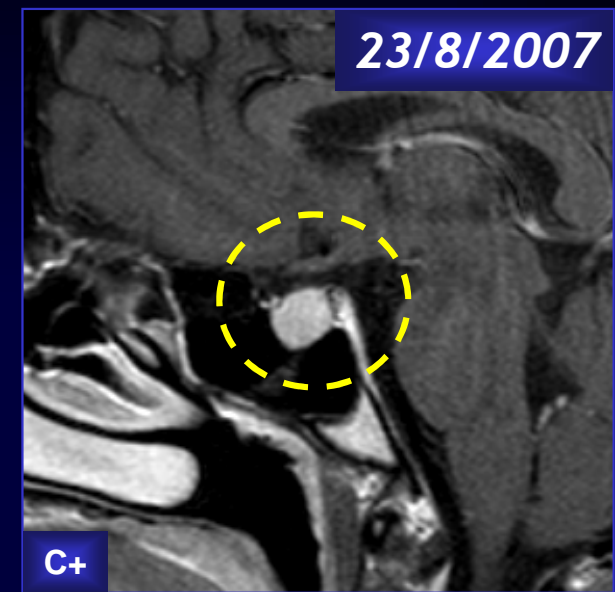
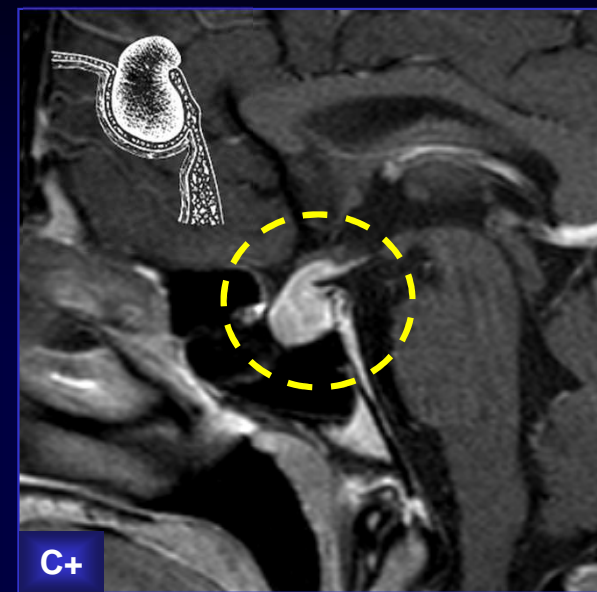
MACROADENOMA



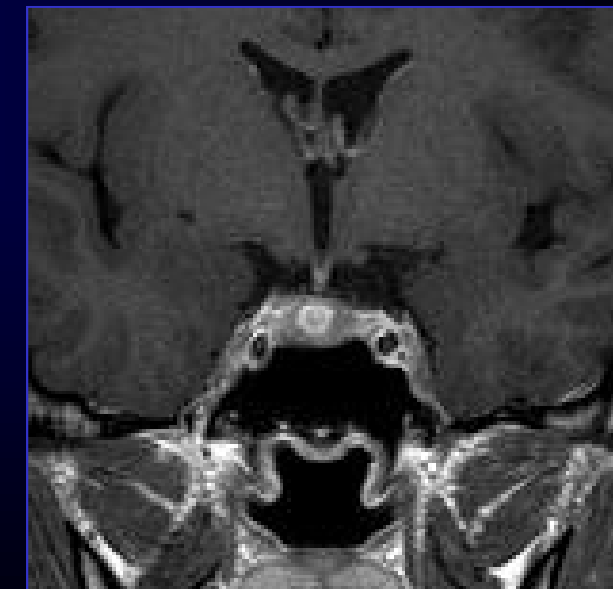
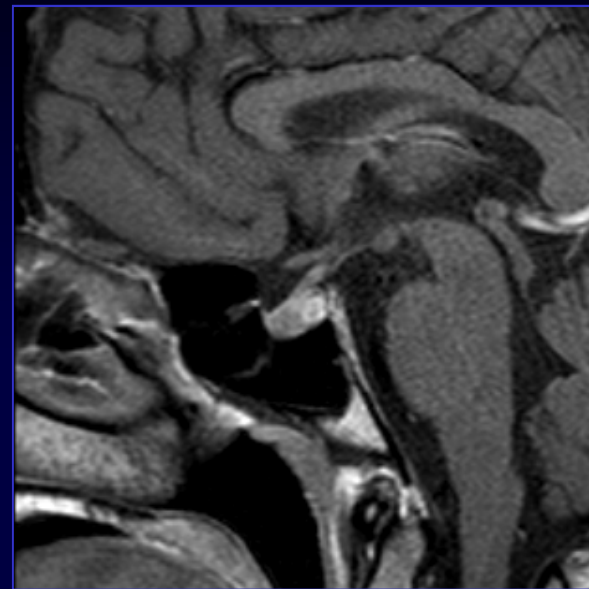
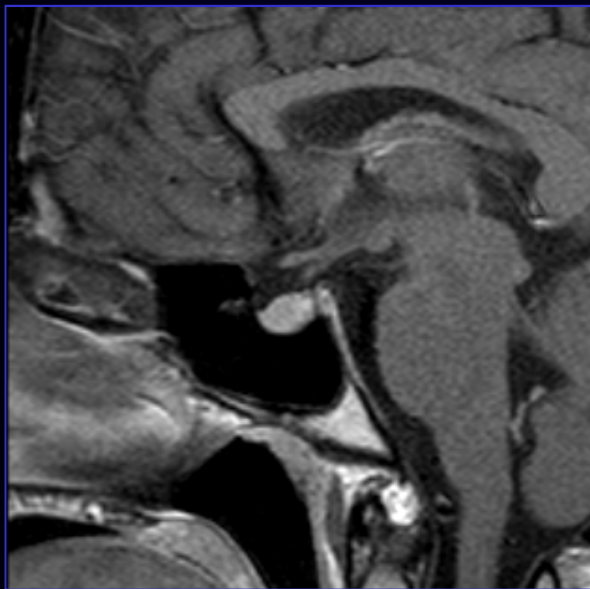
CRANIOFARINGIOMA

✓ esordio acuto 1) MACROADENOMA IPOFISARIO: diagnosi differenziale

- ✓ diabete insipido
- ✓ ipopituitarismo

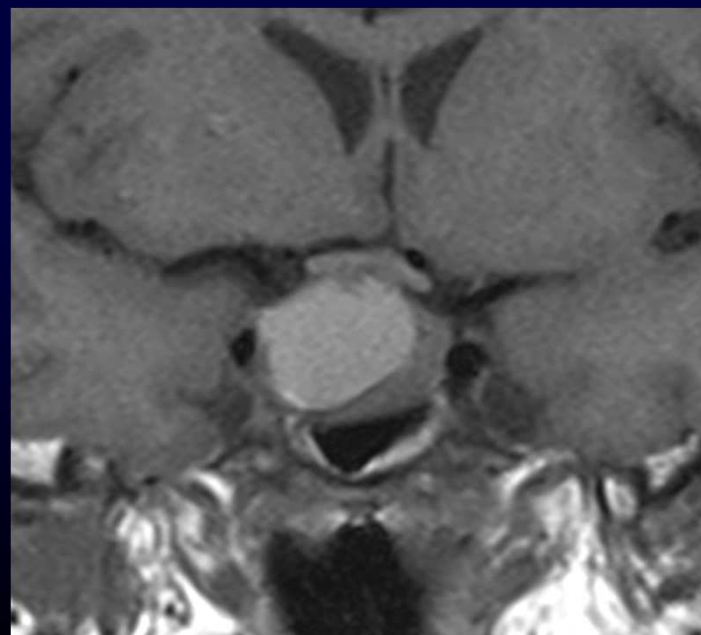
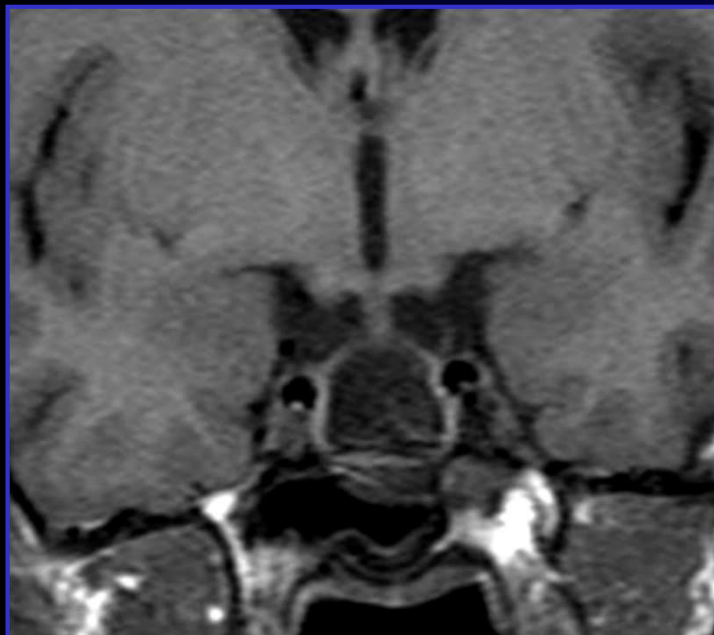
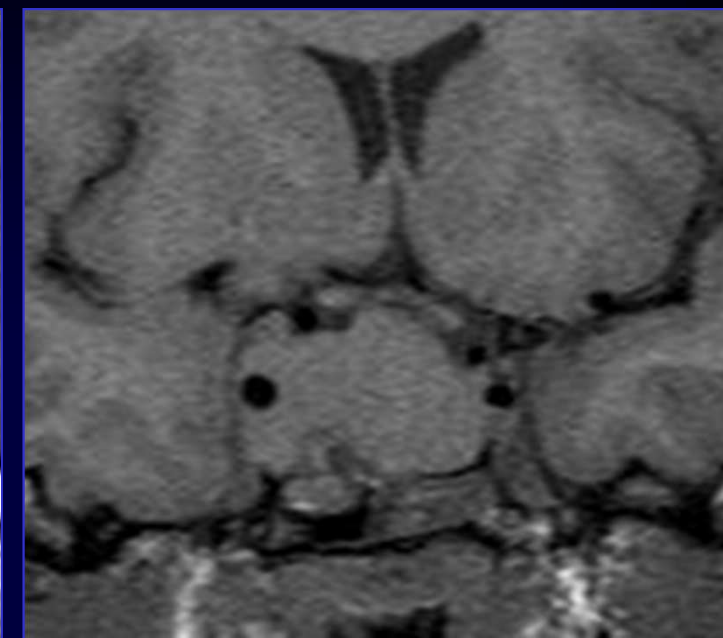
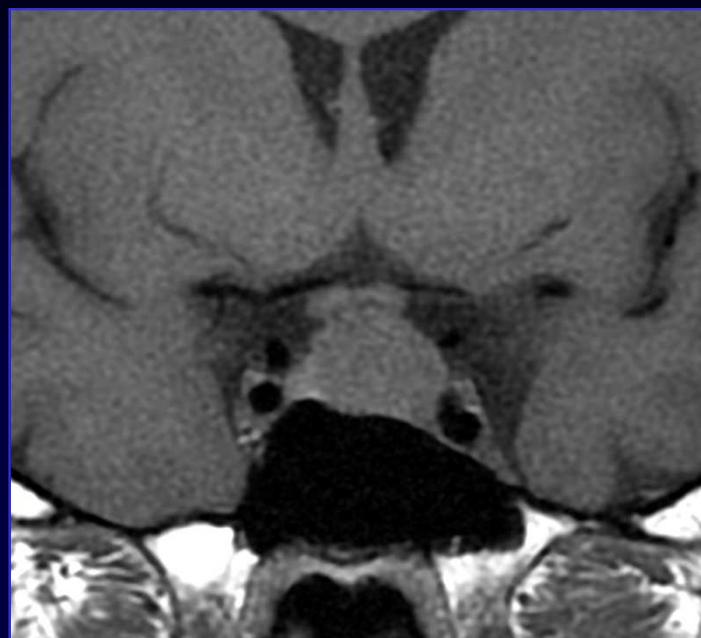
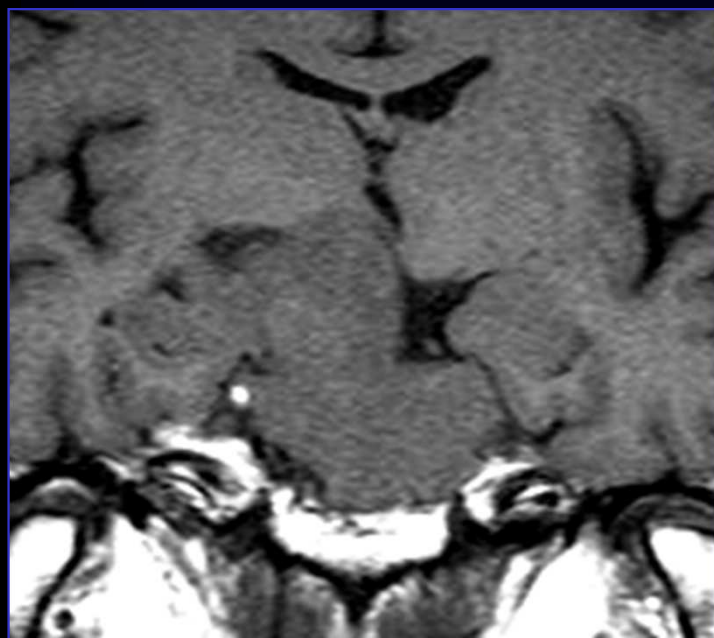


1) MACROADENOMA IPOFISARIO: diagnosi differenziale



T₁

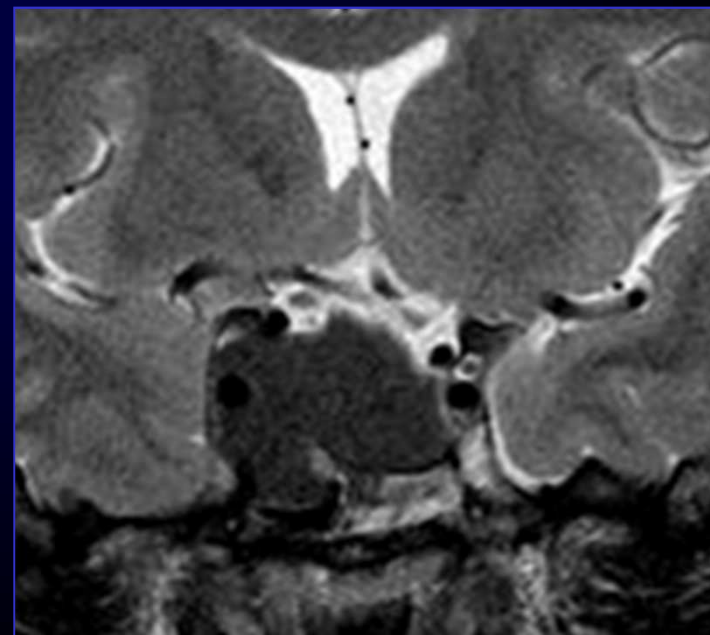
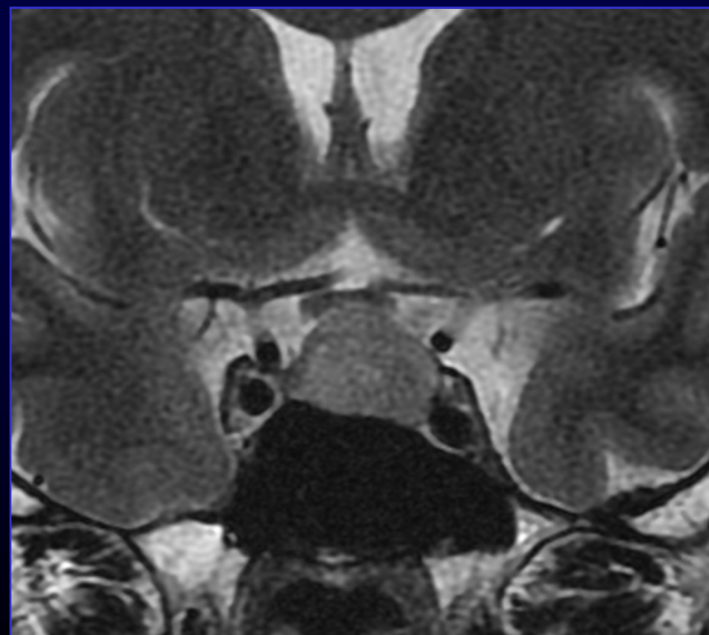
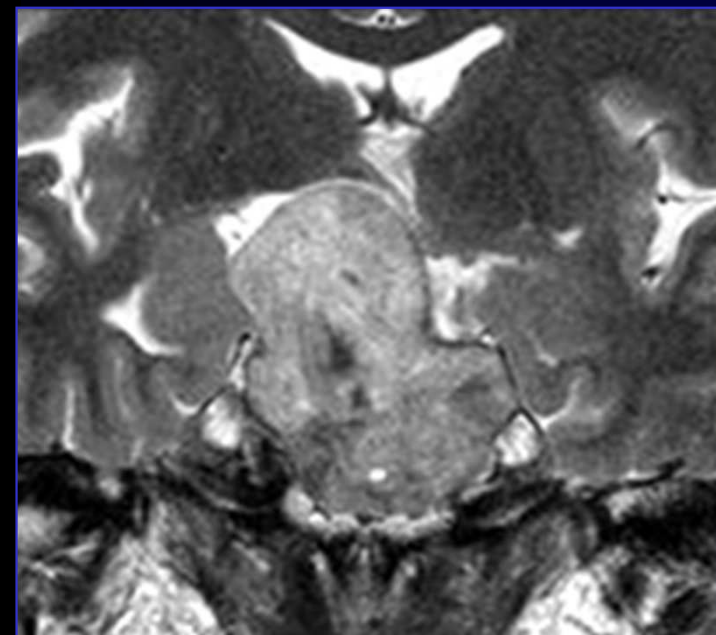
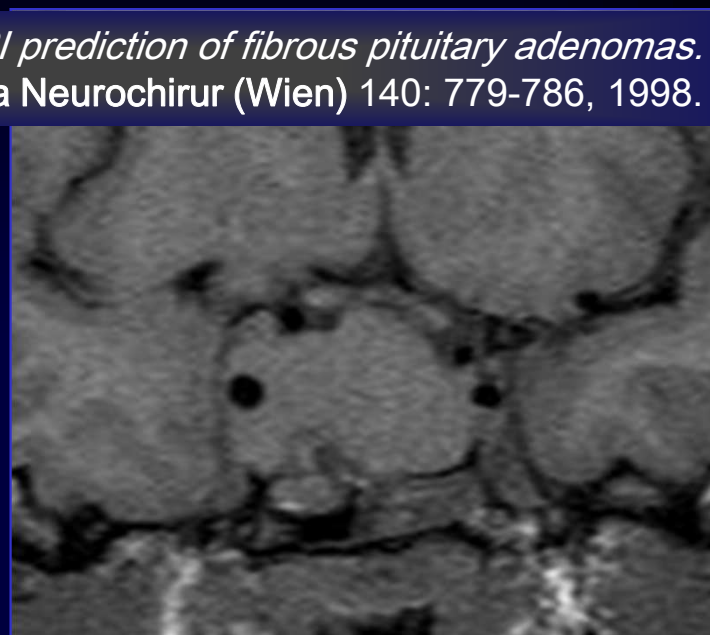
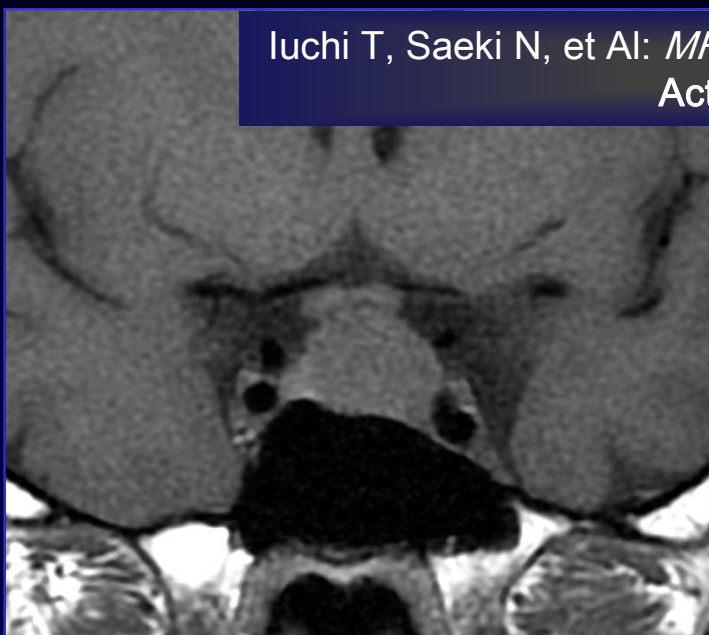
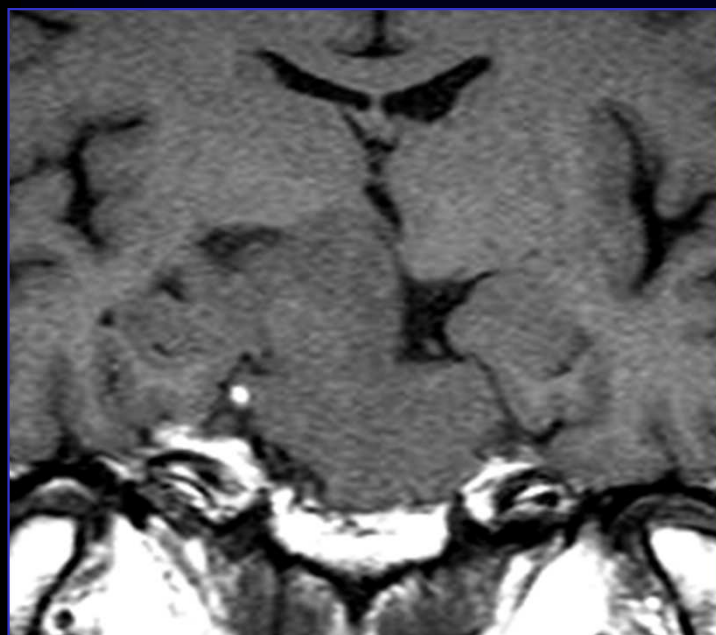
2) MACROADENOMA IPOFISARIO: definizione strutturale



T₂

2) MACROADENOMA IPOFISARIO: definizione strutturale

Iuchi T, Saeki N, et Al: *MRI prediction of fibrous pituitary adenomas.*
Acta Neurochirur (Wien) 140: 779-786, 1998.

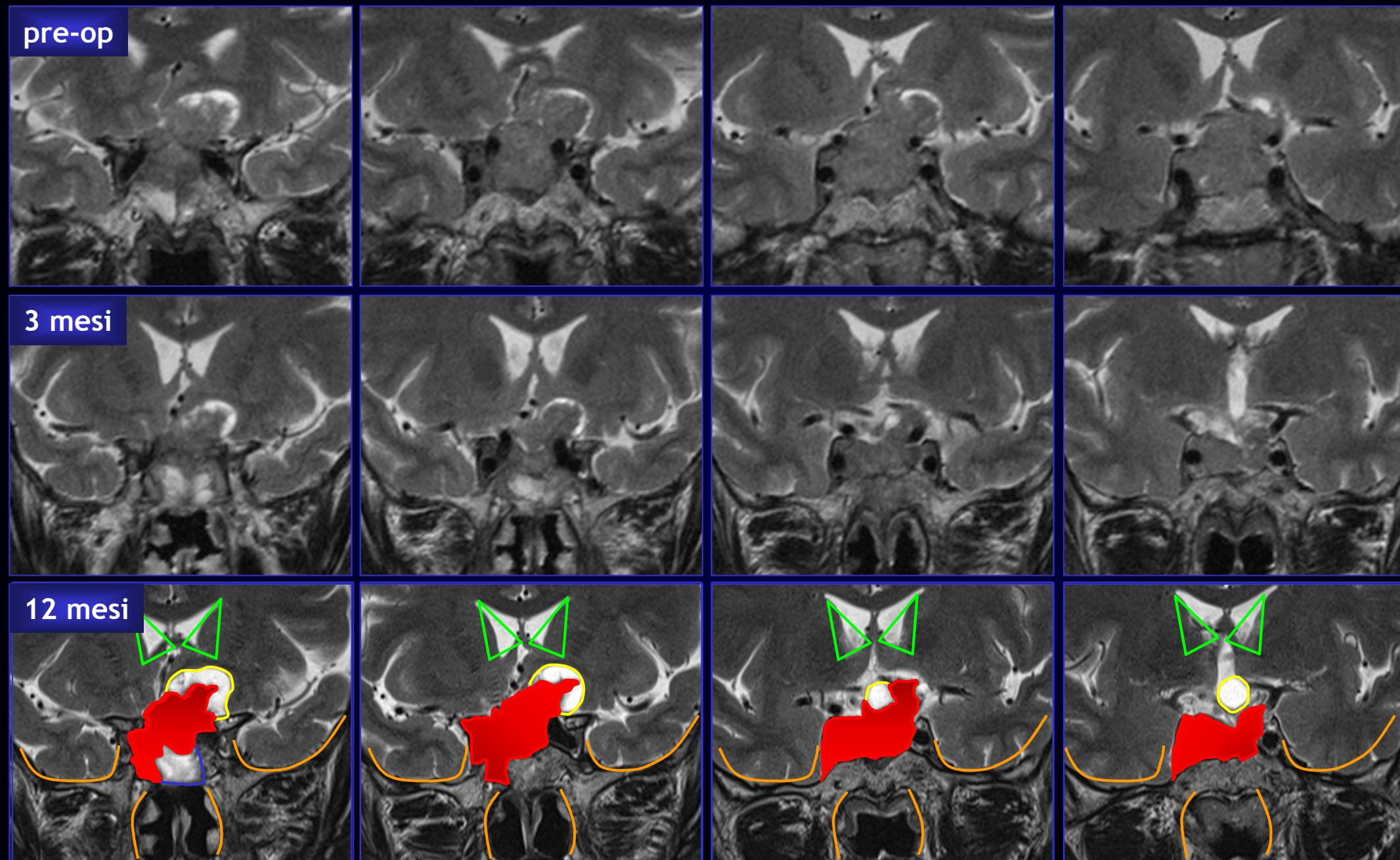


2) MACROADENOMA IPOFISARIO: definizione strutturale

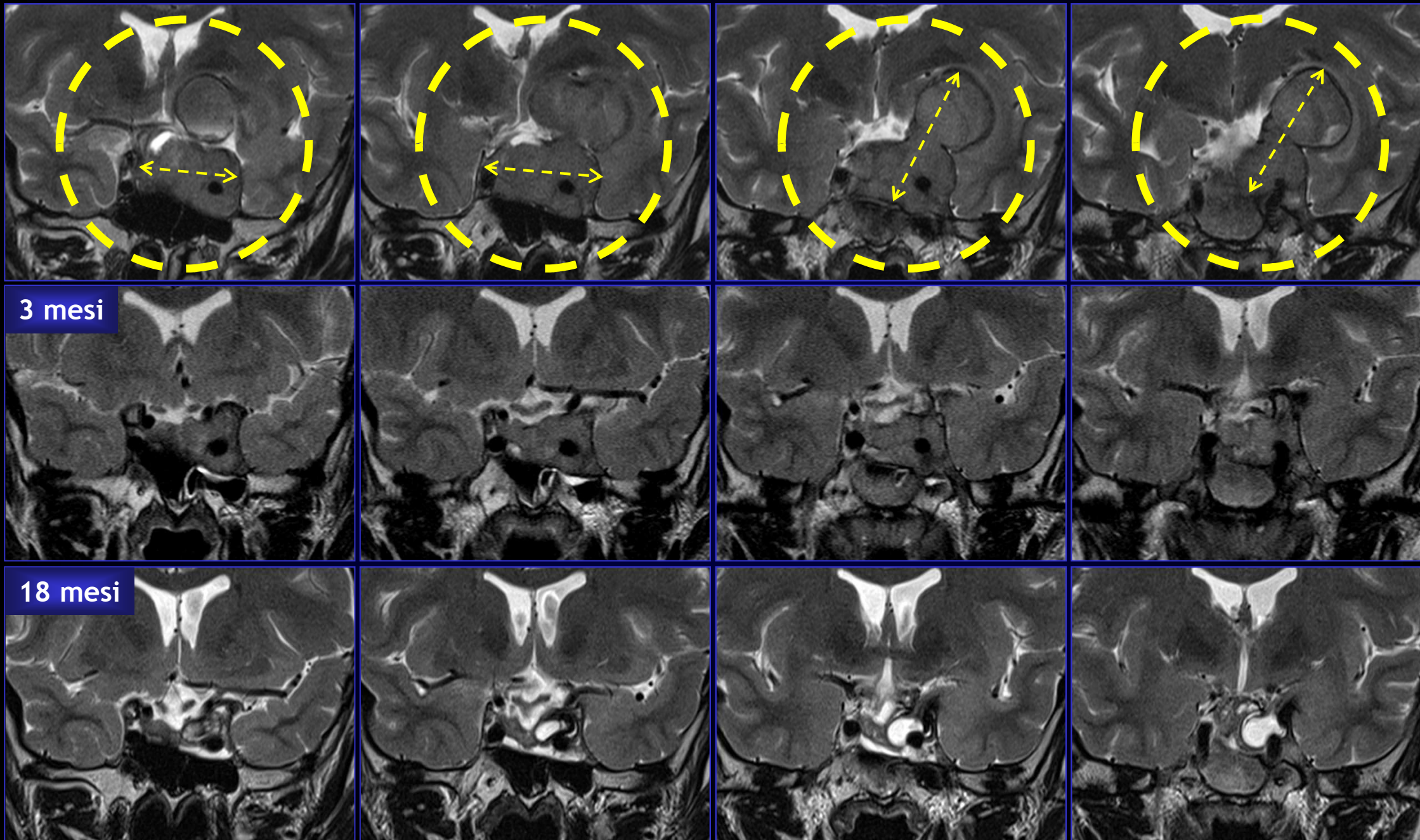
“... transsphenoidal hypophysectomy of tumors with restricted diffusion (ADC ratio < 1.1) is more likely to fail...”

Boxerman JL et al: *Preoperative MRI evaluation of pituitary macroadenoma: imaging features predictive of successful transsphenoidal surgery.* AJR 195: 720-728, 2010

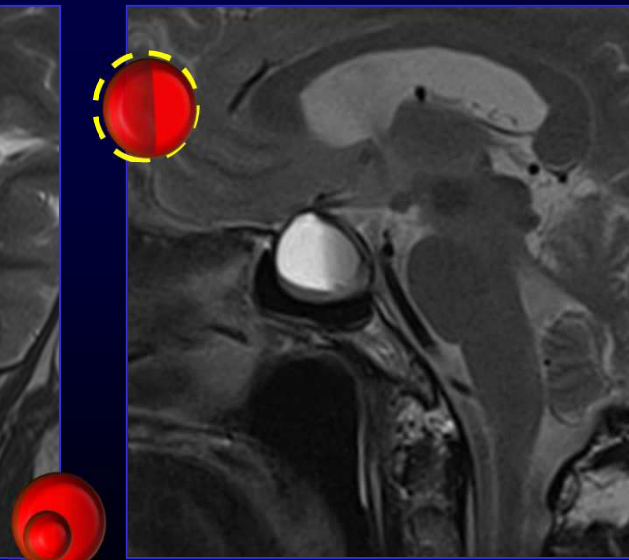
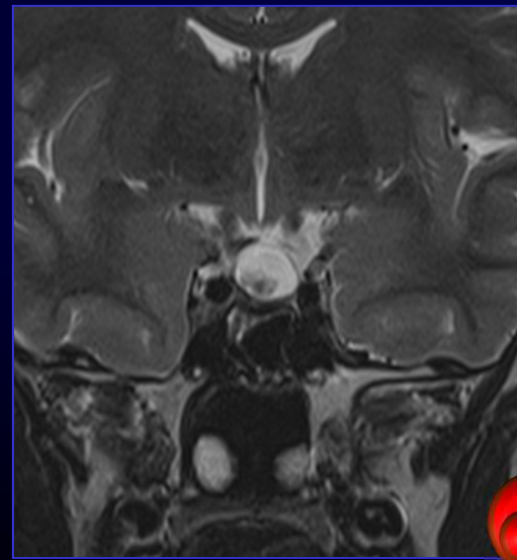
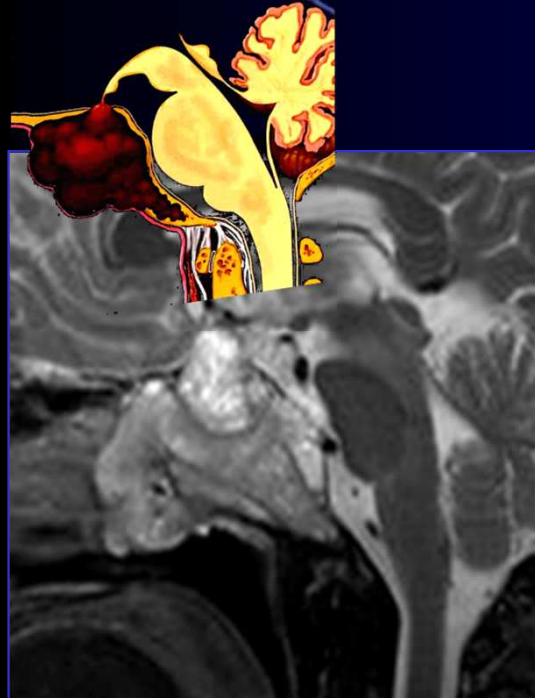
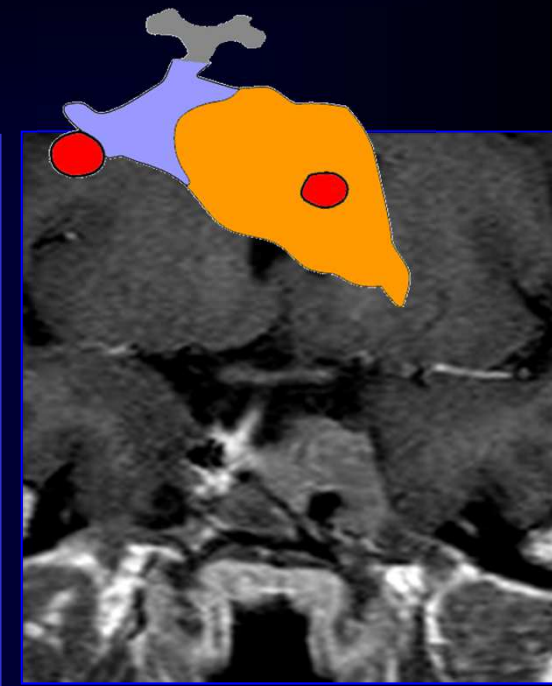
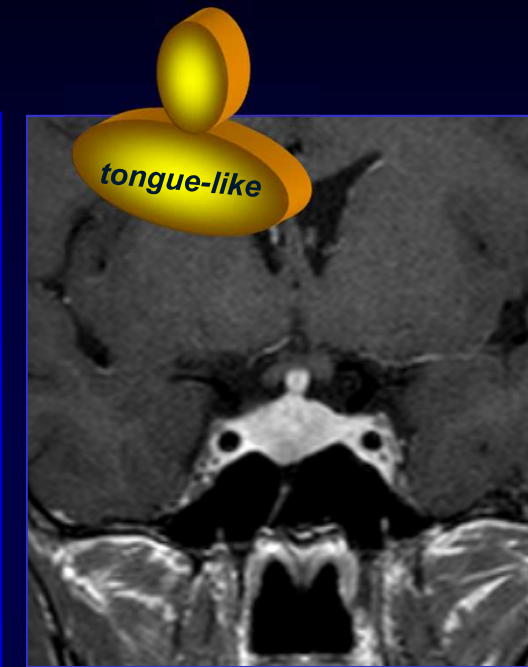
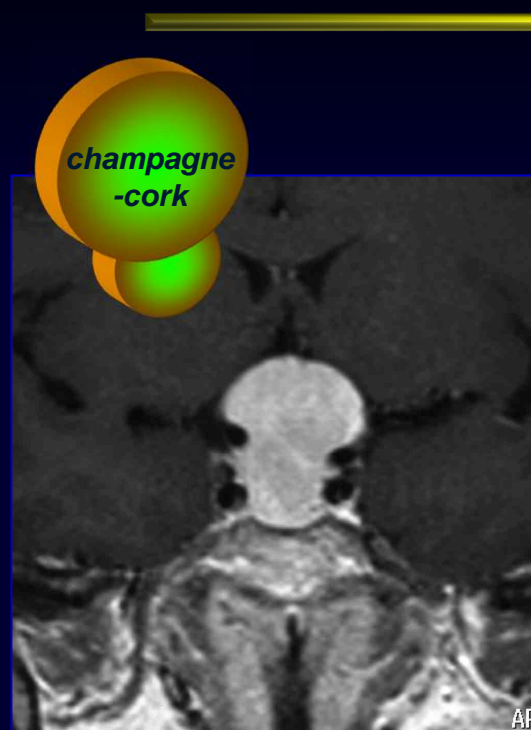
4) MACROADENOMA IPOFISARIO: controllo dopo terapia



4) MACROADENOMA IPOFISARIO: controllo dopo terapia



REGIONE SELLARE

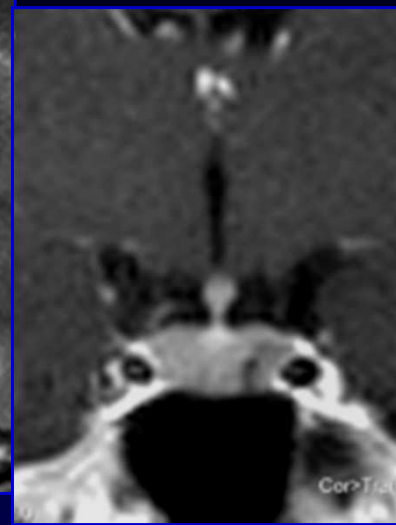
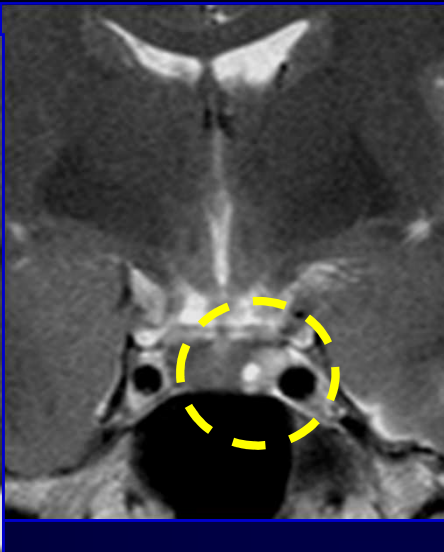
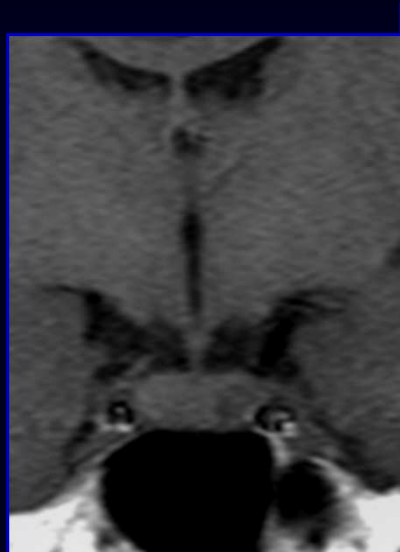


MORFOLOGIA

STRUTTURA

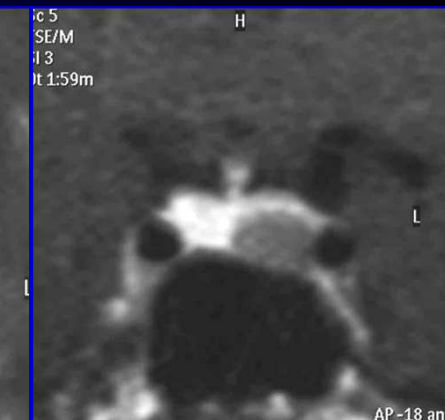
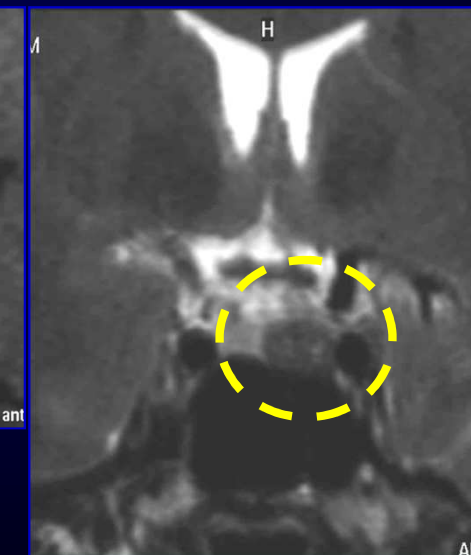
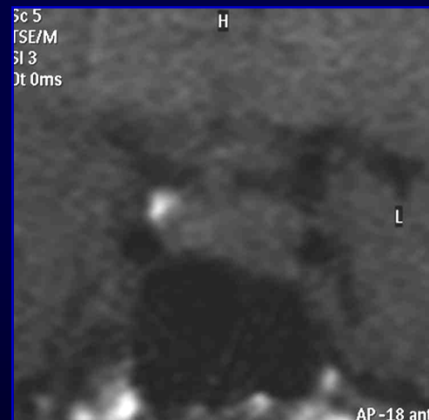
MICROADENOMA IPOFISARIO

T₂



PRL

GH



8/10 ADENOMI GH-SECERNENTI

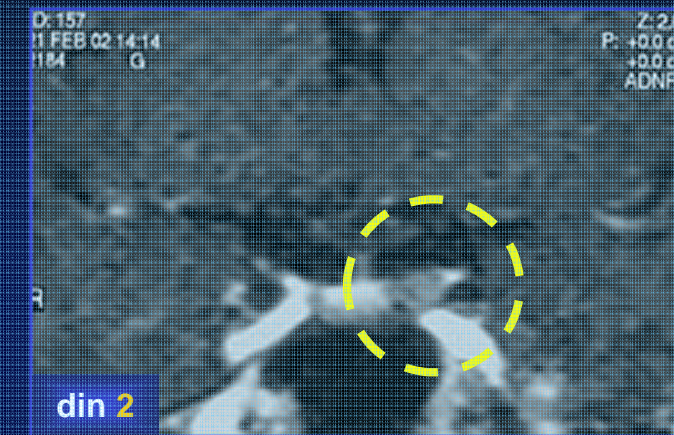
ipointensi in T2

Hagiwara A et Al: *Comparison of GH- and non GH-producing adenomas: imaging characteristics and pathologic correlation.* Radiology 228: 533-538, 2003.

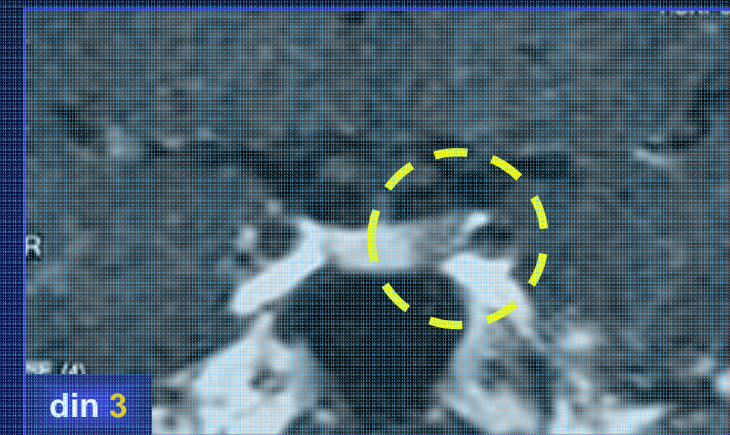
MICROADENOMA IPOFISARIO



din 1



din 2

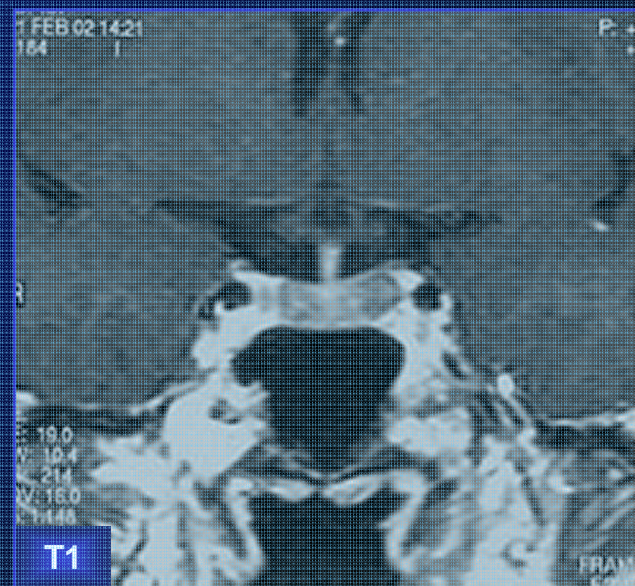


din 3

SENSIBILITA'

■ DINAMICA **88,9%**

■ NON DINAMICA **61,1%**



Gao R, et Al: Dynamic gadolinium-enhanced MR imaging of pituitary adenomas: usefulness of sequential sagittal and coronal plane images. *Eur J Radiol* 39 (3):139-146, 2001.